



This is a digital copy of a book that was preserved for generations on library shelves before it was carefully scanned by Google as part of a project to make the world's books discoverable online.

It has survived long enough for the copyright to expire and the book to enter the public domain. A public domain book is one that was never subject to copyright or whose legal copyright term has expired. Whether a book is in the public domain may vary country to country. Public domain books are our gateways to the past, representing a wealth of history, culture and knowledge that's often difficult to discover.

Marks, notations and other marginalia present in the original volume will appear in this file - a reminder of this book's long journey from the publisher to a library and finally to you.

Usage guidelines

Google is proud to partner with libraries to digitize public domain materials and make them widely accessible. Public domain books belong to the public and we are merely their custodians. Nevertheless, this work is expensive, so in order to keep providing this resource, we have taken steps to prevent abuse by commercial parties, including placing technical restrictions on automated querying.

We also ask that you:

- + *Make non-commercial use of the files* We designed Google Book Search for use by individuals, and we request that you use these files for personal, non-commercial purposes.
- + *Refrain from automated querying* Do not send automated queries of any sort to Google's system: If you are conducting research on machine translation, optical character recognition or other areas where access to a large amount of text is helpful, please contact us. We encourage the use of public domain materials for these purposes and may be able to help.
- + *Maintain attribution* The Google "watermark" you see on each file is essential for informing people about this project and helping them find additional materials through Google Book Search. Please do not remove it.
- + *Keep it legal* Whatever your use, remember that you are responsible for ensuring that what you are doing is legal. Do not assume that just because we believe a book is in the public domain for users in the United States, that the work is also in the public domain for users in other countries. Whether a book is still in copyright varies from country to country, and we can't offer guidance on whether any specific use of any specific book is allowed. Please do not assume that a book's appearance in Google Book Search means it can be used in any manner anywhere in the world. Copyright infringement liability can be quite severe.

About Google Book Search

Google's mission is to organize the world's information and to make it universally accessible and useful. Google Book Search helps readers discover the world's books while helping authors and publishers reach new audiences. You can search through the full text of this book on the web at <http://books.google.com/>



Это цифровая копия книги, хранящейся для потомков на библиотечных полках, прежде чем ее отсканировали сотрудники компании Google в рамках проекта, цель которого - сделать книги со всего мира доступными через Интернет.

Прошло достаточно много времени для того, чтобы срок действия авторских прав на эту книгу истек, и она перешла в свободный доступ. Книга переходит в свободный доступ, если на нее не были поданы авторские права или срок действия авторских прав истек. Переход книги в свободный доступ в разных странах осуществляется по-разному. Книги, перешедшие в свободный доступ, это наш ключ к прошлому, к богатствам истории и культуры, а также к знаниям, которые часто трудно найти.

В этом файле сохранятся все пометки, примечания и другие записи, существующие в оригинальном издании, как напоминание о том долгом пути, который книга прошла от издателя до библиотеки и в конечном итоге до Вас.

Правила использования

Компания Google гордится тем, что сотрудничает с библиотеками, чтобы перевести книги, перешедшие в свободный доступ, в цифровой формат и сделать их широкодоступными. Книги, перешедшие в свободный доступ, принадлежат обществу, а мы лишь хранители этого достояния. Тем не менее, эти книги достаточно дорого стоят, поэтому, чтобы и в дальнейшем предоставлять этот ресурс, мы предприняли некоторые действия, предотвращающие коммерческое использование книг, в том числе установив технические ограничения на автоматические запросы.

Мы также просим Вас о следующем.

- Не используйте файлы в коммерческих целях.
Мы разработали программу Поиск книг Google для всех пользователей, поэтому используйте эти файлы только в личных, некоммерческих целях.
- Не отправляйте автоматические запросы.
Не отправляйте в систему Google автоматические запросы любого вида. Если Вы занимаетесь изучением систем машинного перевода, оптического распознавания символов или других областей, где доступ к большому количеству текста может оказаться полезным, свяжитесь с нами. Для этих целей мы рекомендуем использовать материалы, перешедшие в свободный доступ.
- Не удаляйте атрибуты Google.
В каждом файле есть "водяной знак" Google. Он позволяет пользователям узнать об этом проекте и помогает им найти дополнительные материалы при помощи программы Поиск книг Google. Не удаляйте его.
- Делайте это законно.
Независимо от того, что Вы используете, не забудьте проверить законность своих действий, за которые Вы несете полную ответственность. Не думайте, что если книга перешла в свободный доступ в США, то ее на этом основании могут использовать читатели из других стран. Условия для перехода книги в свободный доступ в разных странах различны, поэтому нет единых правил, позволяющих определить, можно ли в определенном случае использовать определенную книгу. Не думайте, что если книга появилась в Поиске книг Google, то ее можно использовать как угодно и где угодно. Наказание за нарушение авторских прав может быть очень серьезным.

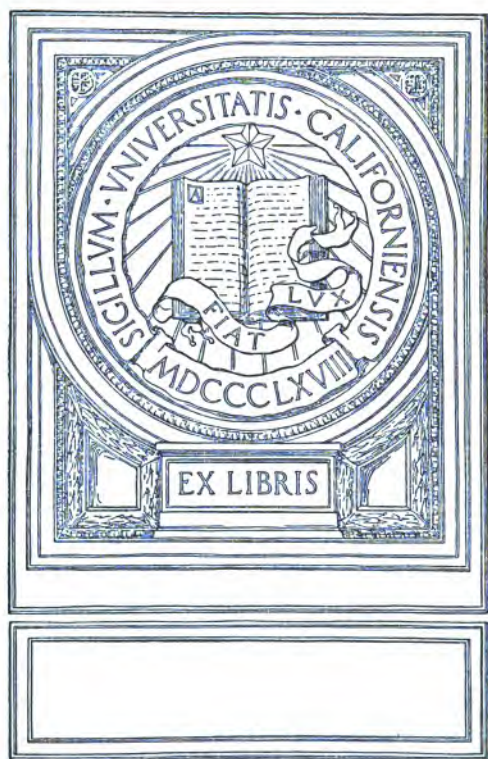
О программе Поиск книг Google

Миссия Google состоит в том, чтобы организовать мировую информацию и сделать ее всесторонне доступной и полезной. Программа Поиск книг Google помогает пользователям найти книги со всего мира, а авторам и издателям - новых читателей. Полнотекстовый поиск по этой книге можно выполнить на странице <http://books.google.com/>

UC-NRLF



\$B 79 399



2.75

Бирки Рати

ГРАФИЧЕСКІЙ РАЗСЧЕТЪ
ЦИЛИНДРИЧЕСКИХЪ СВОДОВЪ
НА ОСНОВАНІИ
ТЕОРІИ УПРУГОСТИ.

Инженера-капитана Н. Житковича,
штатнаго преподавателя Николаевской Инженерной Академіи и
Училища.

(Отдѣльный оттискъ изъ Инж. журн. № 1, 2—3, 4 и 5 1898 г.).

С.-ПЕТЕРБУРГЪ.
Типографія и Литографія В. А. Тиханова, Садовая, № 27.
1898.

Доволено цензурою, С.-Петербургъ 9 іюля 1898 г.

76270
25

ГРАФИЧЕСКІИ РАЗСЧЕТЪ ЦИЛИНДРИЧЕСКИХЪ СВОДОВЪ НА ОСНОВАНІИ ТЕОРИИ УПРУГОСТИ.

Цѣль предлагаемой статьи—указать по возможности простой и удобный для практики способъ расчета цилиндрическихъ сводовъ изъ разныхъ матеріаловъ.

Въ настоящее время для рѣшенія этого вопроса имѣется богатѣйшій матеріалъ, съ одной стороны, въ видѣ математическихъ изслѣдованій и сложныхъ аналитическихъ расчетовъ, основанныхъ на теоріи упругости, а съ другой—болѣе простые графическіе способы расчета, рассматривающіе матеріалы сводовъ какъ тѣла абсолютно твердыя.

Противоположность этихъ основныхъ положеній влечетъ за собою значительную разницу въ результатахъ расчетовъ.

Кромѣ того, графическіе способы расчета, основанные на законахъ статики, опредѣляютъ положеніе безчисленнаго множества кривыхъ давленій, удовлетворяющихъ условіямъ равновѣсія свода и, слѣдовательно, не даютъ полнаго представленія о тѣхъ внутреннихъ силахъ, которыя проявляются въ кладкѣ свода.

Естественно, что вопросъ о примѣненіи той или другой теоріи къ расчету сводовъ можетъ быть рѣшенъ удовлетворительно только на основаніи многочисленныхъ опытовъ, выясняющихъ сущность упругихъ свойствъ матеріаловъ.

Въ этомъ отношеніи изъ всѣхъ опытовъ наиболѣе цѣнными являются опыты, произведенные въ Австріи и опи-

(См. «Zeitschrift des Vereines Deutscher Ingenieure», 1895 г. № 17, 1896 г. № 48 и 1897 г. № 9).

Свои опыты Бахъ производилъ надъ цилиндрическими образцами діаметромъ 250 миллим. и высотой 1.000 миллим.

Г) 1 часть цемента, 2,5 ч. песку, 5 ч. гравия.

III) 1 ч. » 7 ч. песку, хряща и гравія въ той пропорціи, въ какой они были взяты изъ карьеръ.

IV) 1 ч. цемента, 3 ч. песку, 6 ч. гравія.

V) 1 ч. » 3 ч. » 6 ч. известкового щебня.

VI) 1 ч. » 9 ч. хряща.

Для каждого состава было сдѣлано по три образца на цементъ завода Blaubeuren, обозначенномъ для краткости буквою В, и по три образца изъ невыдержаннаго, свѣжаго цемента завода въ Lauffen'ѣ, обозначеннаго буквою L.

Впоследствии (см. Zeitschrift des Vereines Deutscher Ingenieure, 1896 г. № 48) были произведены опыты надъ 102 образцами слѣдующаго состава:

I) 2 образца изъ чистаго цемента.

II) 3 образца состава 1 ч. цемента, 1,5 ч. песку.

III) 6 » » 1 ч. цемента, 3 ч. песку.

IV) 6 » » 1 ч. цемента, 4,5 ч. песку.

V) 2 » » ИЗЪ ЧИСТАГО ЦЕМЕНТА

VI) 5 образцовъ состава.			1 ч. цемента.	
			2,5 ч. песку изъ Дуная.	
			5 ч. гравія.	
VII) {	3	»	»	1 ч. цемента.
				2,5 ч. песку изъ Egginger'a.
	3	»	»	5 ч. известковаго щебня.
				1 ч. цемента.
VIII) 6		»	»	2,5 ч. песку изъ Дуная.
				5 ч. известковаго щебня.
		»	»	1 ч. цемента.
				3 ч. песку изъ Дуная.
IX) {	3	»	»	6 ч. гравія.
				1 ч. цемента.
	3	»	»	3 ч. песку изъ Дуная.
				6 ч. известковаго щебня.
X) 6		»	»	1 ч. цемента.
				3 ч. песку изъ Дуная.
		»	»	6 ч. известковаго щебня.
				1 ч. цемента.
XI) 6		»	»	3 ч. песку изъ Egginger'a.
				6 ч. известковаго щебня.
		»	»	1 ч. цемента.
				3 ч. песку изъ Дуная.
XII) 6		»	»	6 ч. известковаго щебня.
				1 ч. цемента.
		»	»	3,5 ч. песку.
				7 ч. гравія.
XIII) {	3	»	»	1 ч. цемента.
				3,5 ч. песку.
	3	»	»	7 ч. известковаго щебня.
				1 ч. цемента.
XIV) 6		»	»	4 ч. песку.
				8 ч. гравія.
		»	»	1 ч. цемента.
				4 ч. песку изъ Дуная.
XV) {	3	»	»	8 ч. известковаго щебня.
				1 ч. цемента.
	3	»	»	4 ч. песку изъ Egginger a.
				8 ч. известковаго щебня.
XVI) 6		»	»	1 ч. цемента.
				4,5 ч. песку (Д).
		»	»	9 ч. гравія.

XV) 6 образцовъ состава.			1 ч. цемента.
			4,5 ч. песку (Е).
			9 ч. известкового щебня.
XVI) 6	»	»	1 ч. цемента.
			5 ч. песку (Д).
			10 ч. гравія.
XVII) 6	»	»	1 ч. цемента.
			5 ч. песку (Е).
			10 ч. известкового щебня.
XVIII) 3	»	»	1 ч. цемента.
			1,5 ч. песку (Е).
			3 ч. мелкаго щебня.
XIX) 3	»	»	1 ч. цемента.
			1,5 ч. песку (Е).
			3 ч. гравія.
XX) 3	»	»	1 ч. цемента.
			2 ч. песку (Е).
			4 ч. мелкаго щебня.
XXI) 3	»	»	1 ч. цемента.
			2 ч. песку (Е).
			4 ч. гравія.

Всего 102 образца.

Цементъ (В) далъ на ситѣ 900 отверстій на 1 кв. сантим. остатокъ 1,9%; цементъ (L)—3,3%.

Песокъ, щебень и гравій были тщательно промыты и просушены. Перемѣшиваніе смоченныхъ составныхъ частей производилось на платформахъ, послѣ чего заполняли слоями бетона деревянныя формы съ разъемными желѣзными обручами, утрамбовывая каждый слой до появленія воды. Торцы образцовъ покрывались слоемъ цементнаго раствора толщиною 1 сантим. Деревянныя формы снимались черезъ день; на бетонные цилиндры надѣвались мѣшки, которые въ теченіе 28 дней держались влажными. Къ испытаніямъ приступали черезъ 76—97 дней послѣ приготавленія образцовъ.

Исслѣдованія производились помощью машины, вкладыши которой представлены на черт. I, въ фиг. 1. Концы об-

разцовъ ограничивались параллельными плоскостями, къ которымъ прилежали зажимныя плиты, упирающіяся въ машину сферическими поверхностями, благодаря чему давленіе распредѣлялось равномерно по всему верхнему и нижнему основаніямъ испытуемыхъ цилиндровъ.

Для измѣренія деформаций служилъ приборъ, фиг. 1 и 2, состоящій изъ двухъ колецъ: верхняго *АА* и нижняго *ВВ*; кольца эти прикрѣплялись къ образцу 4-мя нажимными винтами; разстояніе *l* между кольцами принято 750 миллим.

Къ верхнему кольцу прикрѣплялись два измѣрительныхъ прибора, состоявшіе изъ дуги съ дѣленіями, фиг. 2, и стрѣлки *G*, соединенной зубчатою передачею съ рычагомъ *DEF*, вращающимся около точки *E*. Въ конецъ *D* рычага упирается вертикальный стержень *C*, установленный на нижнемъ кольцѣ. Поэтому при малѣйшемъ сжатіи образца конецъ *D* рычага поднимается и стрѣлка даетъ нѣкоторый отсчетъ по дугѣ.

Приборъ устроенъ такъ, что при укорачиваніи образца на 1 миллим. стрѣлка передвигается по дугѣ на 300 миллим.

Отсчетъ по дугѣ можно было сдѣлать съ точностью до 0,1 миллим., и поэтому деформация образца измѣрялась съ точностью до $\frac{1}{3000}$ миллим., такъ что, при первоначальномъ разстояніи между кольцами $l=750$ миллим., относительное укорачиваніе выражалось съ точностью

$$\frac{1}{3.000 \times 750} = \frac{1}{2.250.000}.$$

Измѣрительные приборы прикрѣплялись съ двухъ противоположныхъ сторонъ, какъ показано въ фиг. 1; слѣдовательно сжатіе опредѣлялось вдоль двухъ діаметрально противоположныхъ производящихъ цилиндра. Деформация опредѣлялась какъ средняя арифметическая отсчетовъ на двухъ приборахъ.

Нагрузки увеличивались постепенно отъ нуля до наибольшей величины въ теченіе 1,5 минутъ; разгрузка производилась также постепенно.

При каждомъ отдѣльномъ опытѣ послѣдовательныя на-

грузки и разгрузки производились до тѣхъ поръ, пока получалась постоянная деформация.

Результаты опытовъ выражены графически въ прилагаемыхъ диаграммахъ, черт. I и II, фиг. 3—55, въ которыхъ ордонаты представляютъ нагрузки, а абсциссы — соотвѣтственные сжатія: полныя, остающіяся и упругія.

Кромѣ того для образцовъ изъ цемента (В) состава: 1 ч. цемента, 2,5 ч. песку и 5 ч. гравія приведена таблица № 1.

Образцы эти испытывались черезъ 2,5 мѣсяца послѣ приготовления.

Средній діаметръ образца—25,4 сантим.

Поперечное сѣченіе $\frac{\pi}{4} \cdot 25,4^2 = 506,7$ кв. сантим.

Высота. 100,8 сантим.

Вѣсъ 120,6 килограм.

Удѣльный вѣсъ. . 2,33.

Температура при началѣ опытовъ 15° Ц., въ концѣ 15,7° Ц.

Таблица № 1.

1.	2.	3.	4.	5.	6.	7.	8.
Нагрузка въ вылогр.		Отсчетъ въ $\frac{1}{300}$ сант.		Сумма отсчетовъ.	Сжатіе въ $\frac{1}{600}$ сант.		
Пол- ная.	На 1 кв. сант.	Лѣвый.	Прав- ый.		Пол- ное.	Остаю- щееся.	Исче- заю- щее.
0		5,00	5,00	10,00			
4.000	7,9	5,64	5,65	11,29	1,29	0,16	0,13
0		5,08	5,08	10,16			
4.000		5,63	5,67	11,30	1,30	0,16	0,14
0		5,06	5,10	10,16			
4.000		5,63	5,70	10,33	1,33	0,17	0,16
0		5,07	5,10	10,17			
4.000		5,64	5,69	11,33	1,33	0,17	0,16
0		5,07	5,10	10,17			
8.000	15,8	6,32	6,46	12,78	2,78	0,31	2,47
0		5,16	5,15	10,31			
8.000		6,33	6,50	12,83	2,83	0,34	2,49
0		5,15	5,19	10,34			
8.000		6,35	6,52	12,87	2,87	0,35	2,52
0		5,16	5,19	10,35			
8.000		6,39	6,51	12,90	2,90	0,35	2,55
0		5,16	5,19	10,35			
8.000		6,39	6,51	12,90	2,90	0,35	2,55
0		5,16	5,19	10,35			
12.000	23,7	6,88	7,59	14,47	4,47	0,50	3,97
0		5,20	5,30	10,50			
12.000		6,94	7,68	14,62	4,62	0,53	4,09
0		5,21	5,32	10,53			
12.000		6,95	7,69	14,64	4,64	0,55	4,09
0		5,22	5,33	10,55			
12.000		6,96	7,71	14,67	4,67	0,55	4,12
0		5,22	5,33	10,55			
12.000		6,96	7,71	14,67	4,67	0,55	4,12
0		5,22	5,33	10,55			

5) При нагрузкахъ отъ 12.000 килогр. до 16.000 килогр. (23,7—31,6 килогр. на кв. сантим.)

$$\alpha = \frac{5,80-4,12}{600.75(31,6-23,7)} = \frac{1}{212.000}.$$

6) При нагрузкахъ отъ 16.000 килогр. до 20.000 килогр. (31,6—39,5 килогр. на кв. сантим.)

$$\alpha = \frac{7,63-5,80}{600.75(39,5-31,6)} = \frac{1}{194.000}.$$

Мѣрой упругости можетъ служить въ данномъ случаѣ коэффициентъ сжатія α или величина обратная: $\varepsilon = \frac{1}{\alpha}$, называемая коэффициентомъ упругости при сжатіи.

Приведенныя вычисленія показываютъ, что коэффициентъ сжатія непостояненъ и увеличивается съ увеличеніемъ нагрузки.

Результаты опытовъ надъ образцами изъ цемента (L) приведены на діаграммахъ фиг. 15, 16, 17, 19, 20, 22, 24—32.

Всѣ первоначальныя опыты надъ образцами бетона изъ цементовъ (B) и (L) показали:

1) При постепенныхъ нагрузкахъ и разгрузкахъ отъ 0 до 20.000 килогр., или 40 килогр. на 1 кв. сантим. поперечнаго сѣченія, число послѣдовательныхъ нагрузокъ и разгрузокъ, необходимыхъ для полученія постоянного сжатія, быстро увеличивается по мѣрѣ возрастанія нагрузокъ.

2) Величина полного сжатія зависитъ отъ времени дѣйствія нагрузки.

3) Для образцовъ изъ цемента (L), не выдержаннаго въ складахъ, требовалось значительно большее число послѣдовательныхъ нагрузокъ и разгрузокъ для полученія постоянного полного сжатія. Такъ на примѣръ, для образца состава: 1 ч. цемента (L), 2,5 ч. песку и 5 ч. гравія при нагрузкѣ отъ 0 до 16.000 килогр. (31,6 килогр. на кв. сантим.) потребовалось 11 послѣдовательныхъ нагрузокъ и разгрузокъ, тогда какъ для образца того же состава изъ цемента (B)— всего только 5 нагрузокъ и разгрузокъ.

При этомъ:

4) Во всѣхъ образцахъ изъ цемента (B) сжатія полное

и остающаеся значительно меньше чѣмъ для образцовъ изъ цемента (L) того же состава и при тѣхъ же нагрузкахъ, что ясно видно изъ сравненія диаграммъ фиг. 3—14 съ диаграммами фиг. 15—20 и 24—32.

Вообще опыты показали, что на упругія свойства бетона значительное вліяніе имѣютъ:

- 1) свойства цемента;
- 2) относительное количество прочихъ составныхъ частей, и
- 3) качества ихъ.

Ниже приведена таблица № 2 коэффициента сжатія α для образцовъ бетона различного состава изъ цемента (B) при нагрузкахъ отъ 0 до 4.000 килогр.

Таблица № 2.

№№	СОСТАВЪ ОБРАЗЦА.	Среднее значеніе α .
I	Чистый цементъ	0,00000474
II	1 ч. цемента, 1,5 ч. песку изъ Дуная (D) . . .	0,00000356
III	1 ч. " 3 ч. "	0,00000431
IV	1 ч. " 4,5 ч. "	0,00000628
V	Чистый цементъ другой партіи	0,00000525
VI	1 ч. цемента, 2,5 ч. песку (D), 5 ч. гравія . . .	0,00000452
VII	1 ч. " 2,5 ч. " (E), 5 ч. "	0,00000804
VIII	1 ч. " 3 ч. " (D), 6 ч. "	0,00000474
IX	1 ч. " 3 ч. " (D), 6 ч. известк. щебня . . .	0,00000369
X	1 ч. " 3,5 ч. " (D), 7 ч. гравія	0,00000571
XI	1 ч. " 3,5 ч. " (D), 7 ч. известк. щебня . . .	0,00000397
XII	1 ч. " 4 ч. " (D), 8 ч. гравія	0,00000618
XIII	1 ч. " 4 ч. " (D), 8 ч. известк. щебня . . .	0,00000429
XIV	1 ч. " 4,5 ч. " (D), 9 ч. гравія	0,00000601
XV	1 ч. " 4,5 ч. " (E), 9 ч. известк. щебня . . .	0,00000459
XVI	1 ч. " 5 ч. " (D), 10 ч. гравія	0,00000642
XVII	1 ч. " 5 ч. " (E), 10 ч. известк. щебня . . .	0,00000419

Результаты опытовъ приведены на діаграммахъ фиг. 32а—56.

Опытъ показалъ, что значительное вліяніе на упругость бетона имѣетъ количество песку. Такъ напримѣръ, коэффициентъ сжатія при начальныхъ нагрузкахъ опредѣленъ:

1) для образца изъ чистаго цемента:

$$\alpha = 0,00000474 = \frac{1}{211.000};$$

2) для образца изъ цементнаго раствора 1 ч. цемента, 1,5 ч. песку

$$\alpha = 0,00000356 = \frac{1}{281.000};$$

3) для раствора 1 ч. цемента, 3 ч. песку

$$\alpha = 0,00000431 = \frac{1}{232.000};$$

4) для раствора 1 ч. цемента, 4,5 ч. песку

$$\alpha = 0,00000668 = \frac{1}{159.000}.$$

На черт. III, въ фиг. 57, абсцисы кривой *ABC* выражаютъ относительное количество песку, а ординаты—соотвѣтственные коэффициенты сжатія α , такъ что абсциссѣ 0 (чистый цементъ) соотвѣт. ордината 0,00000476 и т. д.

Діаграмма показываетъ, что примѣсъ песка сперва уменьшаетъ коэффициентъ сжатія, при составѣ раствора около 1:1,5 коэффициентъ сжатія получаетъ наименьшее значеніе и меньше коэффициента сжатія для раствора изъ чистаго цемента на

$$100 \cdot \frac{474-356}{474} = 25\%.$$

Съ увеличеніемъ содержанія песку коэффициентъ α увеличивается и принимаетъ то же значеніе какъ и для чистаго цемента при относительномъ количествѣ песку 1:3; съ дальнѣйшимъ увеличеніемъ содержанія песку коэффициентъ сжатія увеличивается.

Въ фиг. 58 представлены кривыя, выражающія законъ измѣненія коэффициента сжатія раствора въ зависимости отъ количества песку и постепенно возрастающихъ нагрузокъ отъ:

0	до 4.000	килогр.
0	> 8.000	»
0	> 12.000	»
0	> 16.000	»
0	> 20.000	»

При томъ же относительномъ содержаніи песку (абсциссы) коэффициенты сжатія (ордонаты) увеличиваются по мѣрѣ возрастанія нагрузокъ.

Вліяніе относительнаго количества другихъ составныхъ частей—гравія и щебня—видно изъ діаграммъ, упомянутыхъ выше. Опытъ показываетъ, что при употребленіи гравія получаютъ бетоны болѣе упругіе, чѣмъ бетоны со щебнемъ. На упругость бетона вліяютъ также качества составныхъ частей, напримѣръ песка.

Такимъ образомъ, коэффициентъ сжатія бетона не постояненъ и зависитъ:

- 1) отъ состава бетона, т. е. относительнаго количества и качествъ его составныхъ частей;
- 2) отъ величины нагрузки, и
- 3) отъ продолжительности ея дѣйствія.

II. *Опыты надъ образцами изъ гранита.*

Въ Zeitschrift des Vereines Deutscher Ingenieure, 1897 г. № 9, приведены результаты опытовъ Баха надъ образцами изъ синяго мелкозернистаго гранита для опредѣленія коэффициента упругости при перерѣзываніи, раздробленіи, изгибѣ, сжатіи и растяженіи.

Для опредѣленія коэффициента сжатія производились опыты надъ двумя цилиндрическими образцами діаметромъ 21,5 сантим. и высотой 105,05 сантим.; надъ каждымъ образцомъ было произведено по три опыта.

Образецъ I.

Средній діаметръ	21,5	сантим.
Поперечное сѣченіе	363,1	кв. сантим.
Высота	105,05	сантим.
Вѣсъ	100,83	килогр.
Удѣльный вѣсъ	2,64.	

Первый опыт был произведенъ 13-го іюня 1896 г.

Длина цилиндра между кольцами измѣрительнаго прибора $l = 75$ сантим. Постепенныя нагрузки производились отъ 0 до $P = 5.000, 10.000, 15.000, 20.000, 25.000, 30.000, 35.000, 40.000, 50.000, 60.000$ килогр.

и повторялись до тѣхъ поръ, пока деформація дѣлалась постоянною.

При нагрузкѣ 5.000 килогр., для полученія постоянныхъ сжатій: полнаго, остающагося и исчезающаго, требовалось произвести три послѣдовательныя нагрузки и разгрузки.

При нагрузкѣ 10.000 килогр.	6
» » 25.000 »	9
» » 50.000 »	11

Въ прилагаемой таблицѣ приведены величины полнаго, остающагося и исчезающаго сжатій при различныхъ напряженіяхъ.

При возрастаніи напряженія отъ 0 до δ .	Сжатія цилиндра длиною 75 сантим., выраженныя въ $\frac{1}{600}$ сантим.		
	Полное.	Остающееся.	Исчезающее.
0 до 13,8 килогр.	3,98	0,48	3,50
0 " 27,5 "	9,17	1,41	7,76
0 " 41,3 "	14,40	2,31	12,09
0 " 55,1 "	19,62	3,16	16,46
0 " 68,9 "	25,02	4,21	20,81
0 " 82,6 "	29,89	4,98	24,91
0 " 110,2 "	39,74	6,88	32,86
0 " 137,7 "	48,39	8,36	40,03
0 " 165,2 "	57,12	10,03	47,09

Результаты опытовъ выражены графически на діаграммѣ фиг. 59, причемъ ордонаты представляютъ нагрузки, абсциссы—соотвѣтственные сжатія.

Второй и третій опытъ были произведены 16-го и 26-го июня 1896 года надъ тѣмъ же образцомъ.

Результаты 3-го опыта выражены графически на діаграммѣ фиг. 60.

Изъ разсмотрѣнія этихъ данныхъ видно, что первоначально сжатія возрастаютъ быстрѣе чѣмъ соотвѣтственные нагрузки, а послѣ нѣкоторой точки перелома абсциссы кривой, т. е. сжатія, увеличиваются меньше чѣмъ ордонаты.

Значительная разность между остающимися сжатіями третьяго опыта и тѣми же величинами при первомъ опытѣ можетъ быть объяснена тѣмъ обстоятельствомъ, что промежутокъ времени между опытами былъ различенъ: первый опытъ былъ произведенъ 13-го июня, а третій 26-го июня 1896 г.

Образецъ II.

Средній діаметръ.	20,7	сантим.
Среднее поперечное сѣченіе	336,5	кв. сантим.
Высота	105,00	сантим.
Вѣсъ.	93,9	килогр.
Удѣльный вѣсъ	2,66.	

Надъ образцомъ произведены 3 опыта и при первыхъ двухъ допущена наибольшая нагрузка 100.000 килогр. или

$$\delta = \frac{100.000}{336,5} = 297,2 \text{ килогр. на 1 кв. сантим.}$$

Разстояніе между кольцами измѣрительныхъ приборовъ, т. е. длина сжимаемаго цилиндра въ 1-мъ и 2-мъ опытахъ, принята 50 сантим., а въ третьемъ опытѣ—75 сантим.

Опыты производились 18-го, 19-го и 25-го июня 1896 г.

Результаты ихъ приведены въ діаграммахъ фиг. 61 и 62, выражающихъ зависимость между нагрузками и сжатіями: полнымъ, остающимся и исчезающимъ, при опытахъ № 1 и № 3.

Діаграммы эти показываютъ, что законъ измѣненія деформаций тотъ же какъ и при опытахъ съ образцомъ № I, т. е. при незначительныхъ нагрузкахъ деформациі возра-

стаютъ быстрѣе соотвѣтственныхъ нагрузокъ, а затѣмъ, выше нѣкоторой точки перелома, — медленнѣе. Значительному промежутку времени (6 дней) между вторымъ и третьимъ опытомъ соотвѣтствуютъ большія остающіяся деформации, подобно тому какъ и при опытахъ съ первымъ образцомъ.

Такимъ образомъ всѣ описанные опыты надъ образцами изъ бетона, гранита, раствора изъ чистаго цемента и съ примѣсами песку показываютъ, что деформации не пропорциональны напряжениямъ сжимающихъ силъ.

Въ теоріи сопротивленія матеріаловъ мѣрой упругости при сжатіи служитъ коэффициентъ сжатія α , опредѣляющій уменьшеніе длины цилиндра высотой 1 сантим. подъ дѣйствіемъ нагрузки въ 1 килогр., распределенной на 1 кв. сантим. площади поперечнаго сѣченія.

Такимъ образомъ, если цилиндръ длиною l сантим. укоротится подъ дѣйствіемъ данной сжимающей силы, напряжение которой равно δ , на λ сантим., то относительное сжатіе выразится

$$\varepsilon = \frac{\lambda}{l}, \text{ и}$$

коэффициентъ сжатія

$$\alpha = \frac{\varepsilon}{\delta}; \text{ отсюда слѣдуетъ,}$$

$$\text{что } \varepsilon = \alpha \cdot \delta, \text{ т. е.}$$

относительное укорачиваніе (сжатіе) равно коэффициенту сжатія, умноженному на напряжение сжимающей силы.

Величина E , обратная α ,

$$\text{т. е. } E = \frac{1}{\alpha} = \frac{\delta}{\varepsilon},$$

называется коэффициентомъ упругости при сжатіи (см. Бахъ, упругость и крѣпость матеріаловъ).

Послѣдніе опыты Hodgkinson'a, Bauschinger'a и Баха надъ чугуномъ, мѣдью, а также приведенные выше опыты надъ образцами изъ бетона, гранита и разныхъ растворовъ *) показываютъ, что для всѣхъ испытанныхъ матеріаловъ коэф-

*) Zeitschrift des Vereines Deutscher Ingenieure 1888, 1889, 1895, 1896 и 1897 гг.

коэффициент сжатия α не пропорционален напряжению δ и должен рассматриваться как некоторая более сложная функция напряжений.

Исключение составляют только сталь и железо в некоторых пределах для δ .

В 1895 г. были произведены обширные опыты инженером Schüle для определения зависимости между ϵ , δ и α .

Опыты эти показали, что уравнение

$$\epsilon = \alpha \cdot \delta_{\text{норм.}} \quad . \quad . \quad . \quad . \quad . \quad . \quad (1)$$

выражает искомую зависимость между относительным сжатием ϵ , коэффициентом сжатия α и соответствующим напряжением δ .

Ниже приведены опытные данные, показывающие, на сколько величины α , определенные из уравнения (1), совпадают с результатами опытов над чугуном, медью, гранитом, бетоном и растворами из чистого цемента и с примесью песка.

1) *Чугун*. Инженер Schüle на основании опытных данных определил для чугуна *)

$$\alpha = \frac{1}{1.381.700},$$

$$m = 1,0663,$$

и следовательно уравнение (1) выразится

$$\epsilon = \frac{1}{1.381.700} \delta^{1.0663} \quad . \quad . \quad . \quad . \quad . \quad . \quad (2).$$

Для сравнения деформаций упругих и исчезающих, определенных из уравнения (2) и полученных на опытах при сжатии чугунных цилиндров длиной 75 сантим., может служить следующая таблица:

*) Zeitschrift des Vereines Deutscher Ingenieure, 1897 г. № 9.

Напряжения δ:	Упругія деформаціи:	
	Опытныя.	Изъ уравненія (2).
166 килогр. на кв. сант.	7,60	7,59
333 » » »	15,88	15,94
499 » » »	24,60	24,54
666 » » »	33,42	33,38
832 » » »	42,34	42,32
998 » » »	51,31	51,38

Разность между данными двухъ послѣднихъ столбцовъ ничтожна, такъ какъ за единицу принята $\frac{1}{600}$ сантим.

2) *Мѣдь*. Для мѣди уравненіе (1) выразится

$$\varepsilon = \frac{1}{2084.000} \delta^{1.093} \dots \dots \dots (3)$$

Напряженіе силъ сжимающихъ: δ килогр. на 1 кв. сантим.	Упругія деформаціи:	
	Опытныя.	По уравненію (3).
отъ 160,75 до 321,5	1,40	1,40
» — » 482,25	2,89	2,87
» — » 642	4,39	4,39
» — » 803,7	5,95	5,94
» — » 964,6	7,53	7,53

Совпаденіе данныхъ двухъ послѣднихъ столбцовъ почти полное.

3) *Гранитъ*. На основаніи опытныхъ данныхъ, приведенныхъ выше, пользуясь методомъ наименьшихъ квадратовъ, опредѣлены слѣдующія величины α и m для двухъ образцовъ:

Образецъ I:

$$\varepsilon = \frac{1}{249.540} \delta^{1.18207} \dots \dots \dots (4)$$

Для повѣрки точности этого уравненія можетъ служить слѣдующая таблица:

Напряженія δ:	Упругія деформаціи:	
	Опытныя.	Изъ уравненія (4).
отъ 0 до 13,8 килогр.	3,5	3,5
« 0 » 27,75 «	7,76	7,76
« 0 « 41,3 «	12,09	12,17

Образец II.

$$\epsilon = \frac{1}{339.750} \delta^{1.1089} \quad . \quad . \quad . \quad . \quad . \quad (5)$$

Напряженія δ:	Упругія деформаци.	
	Опытныя.	Изъ уравненія (5).
отъ 0 до 14,9 килогр.	1,77	1,77
« 0 « 29,7 «	3,85	3,79
« 0 « 44,6 «	5,97	5,96

4) Образцы изъ чистаго цемента.

Приведенныя ниже данныя относятся къ образцамъ изъ чистаго цемента, результаты испытаній которыхъ описаны въ Zeitschrift des Vereines Deutscher Ingenieure, 1896 г. стр. 1381 (образцы Ia, Ib, Va и Vb).

Для образца (Ia):

$$\epsilon = \frac{1}{254.841} \delta^{1.0903} \quad . \quad . \quad . \quad . \quad . \quad (6)$$

Для образца (Ib):

$$\epsilon = \frac{1}{259.131} \delta^{1.0950} \quad . \quad . \quad . \quad . \quad . \quad (7)$$

Для образцовъ Va и Vb:

$$\epsilon = \frac{1}{231.416} \delta^{1.0928} \quad . \quad . \quad . \quad . \quad . \quad (8)$$

Для сравненія упругихъ и исчезающихъ деформаций, полученныхъ при опытахъ и вычисленныхъ по предыдущимъ уравненіямъ, можетъ служить слѣдующая таблица:

видно, что, по мѣрѣ увеличенія относительнаго количества песку въ растворѣ отъ 0 до 4,5, показатель m постепенно возрастаетъ:

$$m = 1,09, 1,11, 1,15, 1,17;$$

въ то же время коэффициентъ α измѣняется въ слѣдующемъ порядкѣ:

Содержаніе песку:	0	1,5	3	4,5
$\alpha =$	$\frac{1}{250.000}$	$\frac{1}{356.000}$	$\frac{1}{315.000}$	$\frac{1}{230.000}$

т. е. сперва коэффициентъ сжатія при увеличеніи относительнаго количества песку уменьшается, достигаетъ наименьшей величины при содержаніи песку около 1,5, а затѣмъ снова быстро увеличивается, что вполне согласно съ приведенными выше результатами опытовъ.

6) Образцы изъ бетона.

При составѣ бетона:

1 ч. цем., 2,5 ч. песку (Д), 5 ч. гравія	$\epsilon = \frac{1}{297.820}$	$\delta^{1,14478}$
1 ч. цем., 2,5 ч. песку (Е), 5 ч. щебня	$\epsilon = \frac{1}{456.910}$	$\delta^{1,15740}$
1 ч. цем., 5 ч. песку (Д), 6 ч. гравія	$\epsilon = \frac{1}{279.981}$	$\delta^{1,13713}$
1 ч. цем., 3 ч. песку (Д), 6 ч. изв. щебня	$\epsilon = \frac{1}{308.233}$	$\delta^{1,16075}$
1 ч. цем., 5 ч. песку (Д), 10 ч. гравія	$\epsilon = \frac{1}{217.260}$	$\delta^{1,15662}$
1 ч. цем., 5 ч. песку (Е), 10 ч. изв. щебня	$\epsilon = \frac{1}{367.018}$	$\delta^{1,20677}$

Какъ видно изъ таблицы, значительное вліяніе на величины α и m оказываетъ замѣна гравія щебнемъ.

Для сравненія исчезающихъ деформаций, полученныхъ вычисленіемъ изъ опыта, приведена слѣдующая таблица:

1 ч. цем., 5 песку (Д) и 10 гравія.		1 ч. цем., 5 песку (Е) и 10 ч. изв. щебня.	
Упругія деформаци.		Упругія деформаци.	
Опытныя.	Изъ уравненій.	Опытныя.	Изъ уравненій.
2,287	2,263	1,487	1,497
5,017	5,045	3,400	3,414
8,013	8,066	5,523	5,570
11,193	11,250	7,867	7,881
14,680	14,536	10,410	10,317

Незначительная разность между опытными и теоретическими данными позволяет признать приведенные выше уравнения практически точными.

Такимъ образомъ, опыты показываютъ, что деформаци тѣлъ при сжатіи не пропорціональны напряженіямъ сжимающихъ силъ.

Зависимость между коэффициентомъ сжатія α и напряженіемъ δ выражается уравненіемъ

$$\varepsilon = \alpha \cdot \delta^m, \dots (A)$$

гдѣ ε —упругое относительное сжатіе.

Уравненіе (A) выражаетъ нѣкоторую кривую, ординаты которой равны относительнымъ сжатіямъ ε , а абсциссы— δ^m . Дифференцируя уравненіе (A), получимъ

$$\frac{d\varepsilon}{d\delta} = m \cdot \alpha \cdot \delta^{m-1} \dots (B)$$

При $m = 1$ уравненіе A приметъ видъ

$$\varepsilon = \alpha \delta,$$

или

$$\frac{d\varepsilon}{d\delta} \alpha = \text{Const.};$$

значить, кривая обратится въ прямую линію, выражающую

пропорціональность между деформациями и соответствующими напряжениями. Подобная зависимость существует до нѣкотораго предѣла для желѣза и стали.

Если показатель m въ уравненіи (A) больше единицы, то подобной пропорціональности не существуетъ, и разность

$$(m - 1)$$

опредѣляетъ собою степень отступленія отъ идеально упругаго тѣла.

Изъ уравненія (A) видно, что чѣмъ больше разность

$$(m - 1),$$

тѣмъ быстрее возрастаютъ относительныя сжатія сравнительно съ напряжениями, и кривая (A) тѣмъ ближе расположится къ оси (ϵ).

Такимъ образомъ, строго говоря, законъ пропорціональности между деформациями и напряжениями не существуетъ для большинства матеріаловъ.

Расположивъ образцы матеріаловъ по возрастающимъ степенямъ показателя m , получимъ слѣдующую таблицу:

О Б Р А З Ц Ы	m.
1) Чугунъ.	1,0663
2) Растворъ изъ чистаго цемента.	1,0900
3) Мѣдь.	1,0930
4) Растворъ состава: 1 ч. цем., 1,5 песку.	1,1098
5) Гранитъ.	1,1204
6) Бетонъ изъ 1 ч. цем., 2,5 песку, 5 ч. гравія.	1,1448
7) Цементный растворъ: 1 ч. цем., 3 ч. песку.	1,1473
8) Бетонъ: 1 ч. цем., 5 ч. песку, 10 ч. гравія.	1,1566
9) Бетонъ: 1 ч. цем., 2,5 ч. песку, 5 ч. изв. щебня.	1,1575
10) Бетонъ: 1 ч. цем., 3 ч. песку, 6 ч. щебня.	1,1607
11) Растворъ состава: 1 ч. цем., 4,5 ч. песку.	1,1687
12) Бетонъ: 1 ч. цем., 5 ч. песку, 10 ч. щебня.	1,2068

Изъ этой таблицы видно, что для бетона наиболѣе выгоднымъ матеріаломъ является гравій, такъ какъ, напримѣръ, бетонъ состава: 1 ч. цем., 5 ч. песку и 10 ч. гравія, т. е. при содержаніи цемента $\frac{1}{15}$, обладаетъ почти такую же упругостью, какъ бетонъ состава 1 ч. цем., 2,5 ч. песку и 5 щебня, т. е. съ относительнымъ содержаніемъ цемента $\frac{1}{7,5}$.

На практикѣ для бетона среднихъ качествъ: 1 ч. цемента, 3 ч. песку, 6 ч. щебня ($m = 1,16075$), по даннымъ строительной инспекціи въ Берлинѣ (1887 г.) и строительнаго отдѣла министерства публичныхъ работъ (1890 г.), допускается въ постройкахъ напряженіе 10 килогр. на 1 кв. сантим.

На діаграммѣ фиг. 63 выражена графически зависимость между упругими относительными сжатіями ϵ и соответствующими напряженіями черезъ каждые 2 килогр.

Вычисленія сдѣланы по основной формулѣ

$$\epsilon = \frac{1}{380.283} \delta^{1,16075}$$

При $\delta = 0$

$$\epsilon = 0$$

$$\begin{aligned} > \delta_1 = 2 \text{ кил. на кв. сант. } \epsilon = \frac{1}{380.283} \cdot 2^{1,16075} = 0,0000059 \\ > \delta_2 = 4 \quad \rangle \quad \rangle \quad \epsilon = \frac{4^{1,16075}}{380.283} = 0,0000131 \\ > \delta_3 = 6 \quad \rangle \quad \rangle \quad \epsilon = \frac{6^{1,16075}}{380.283} = 0,0000211 \\ > \delta_4 = 8 \quad \rangle \quad \rangle \quad \epsilon = \frac{8^{1,16075}}{380.283} = 0,0000294 \\ > \delta_5 = 10 \quad \rangle \quad \rangle \quad \epsilon = \frac{10^{1,16075}}{380.283} = 0,0000381 \end{aligned}$$

Какъ видно изъ діаграммы, кривая *oabcde* мало отличается отъ прямой *oe*, и потому для напряженій, допускаемыхъ на практикѣ, можно принять, что упругія деформации пропорціональны напряженіямъ для бетона взятаго состава. Для бетона болѣе жирнаго, раствора и гранита, показатель m меньше только-что рассмотрѣннаго, и слѣдовательно кривая *oabcde* еще меньше будетъ отличаться отъ прямой *oe*, такъ что вообще бетонъ, гранитъ и цементный растворъ можно считать тѣлами упругими для напряженій, допускаемыхъ на практикѣ.

Опыты надъ сводами, произведенные въ Австріи, привели комиссію къ тому же заключенію.

Кромѣ механическихъ испытаній матеріаловъ особенно тщательно изучалась деформація сводовъ кирпичныхъ, бутовыхъ, бетонныхъ и желѣзно-бетонныхъ, такъ что явилась возможность сравнить упругія свойства разныхъ матеріаловъ при условіяхъ, встрѣчающихся на практикѣ, и рѣшить вопросъ, какой изъ матеріаловъ наиболѣе выгоденъ для возведенія сводовъ.

Подробное описаніе этихъ опытовъ приведено въ Zeitschrift des Oester. Ingenieur-und Architekten-Vereines, 1895 г. №№ 20—34.

Краткое описаніе этихъ опытовъ и главнѣйшіе результаты ихъ изложены ниже.

1) *Сводъ изъ естественнаго (бутоваго) камня.*

Продольная и поперечная профили свода представлены въ фиг. 64 и 65; внутренняя производящая его—дуга круга, при пролетѣ 23 метра и стрѣлѣ подъема 4,6 метра; ширина свода 2 метра, толщина въ пятахъ 1,10 метра, а въ замкѣ—0,60 метра.

Кладка свода изъ песчаника средней твердости на цементномъ растворѣ изъ 1 ч. цемента и 2,6 ч. песку; песокъ чистый, тщательно промытый.

Камни отесывались грубо лишь на столько, чтобы получить швы надлежащей толщины.

2) *Кирпичный сводъ.*

Размѣры кирпичнаго свода тѣ же какъ и описаннаго бутоваго свода; продольная и поперечная профиль его представлены въ фиг. 66 и 67.

Кладка возведена изъ машиннаго кирпича на цементномъ растворѣ, того же состава какъ и для бутоваго свода. Кирпичъ укладывался въ перевязку по шаблонамъ, придавая швамъ клинообразную форму при средней толщинѣ ихъ около 8 миллим. Кружала, какъ и при возведеніи бутоваго свода, были предварительно нагружены по всей длинѣ соответственно вѣсу возводимаго свода. Своды раскружались спустя 6 недѣль послѣ возведенія. Для наблюденія за появ-

леніемъ трещинъ боковыя поверхности свода были покрыты тонкимъ слоемъ штукатурки.

3) Бетонный сводъ.

Поперечная и продольная профили представлены въ фиг. 68 и 69.

Пролетъ 23 милиметра; стрѣла 4,6 милим., ширина 2 милиметра; толщина 0,70 милим.

Сводъ состоялъ изъ бетона разнаго состава, въ зависимости отъ тѣхъ напряженій, которыя могли появиться въ разныхъ точкахъ свода при погрузкѣ.

Внутренняя масса кладки состояла изъ бетона состава: 1: 8; у наружной и внутренней поверхностей—изъ бетона состава: 1: 2 и 1: 5.

Въ пятахъ были положены асфальтовые прокладки, которыя по своей упругости допускали нѣкоторое вращеніе въ пятахъ и замѣняли шарниры, допускаемые въ опорахъ при теоретическомъ изслѣдованіи.

Щебень полученъ изъ песчаника средней твердости; размѣры щебеноекъ около 3 сантим.

Щебень, гравій и песокъ, взятые въ составъ бетона, были тщательно промыты.

Пропорція этихъ матеріаловъ въ бетонѣ была слѣдующая:

1) Бетонъ состава 1: 2.

1 часть (по объему) портланд. цемента,
 $\frac{1}{2}$ части гравія,
 $\frac{1}{2}$ » щебня,
 1 часть песку.

2) Бетонъ состава 1: 5,

1 часть портланд. цемента,
 1,5 » гравія,
 1,5 » щебня,
 2 части песку.

3) Бетонъ состава 1: 8,

1 часть портланд. цемента,
 3 части гравія,
 2 » щебня,
 3 » песку.

ордонаты, а соответственные нагрузки какъ абсциссы разсматриваемыхъ точекъ.

Углы вращенія въ разныхъ точкахъ, въ зависимости отъ нагрузокъ, приведены въ прилагаемой таблицѣ № 1.

Таблица № 1.

Нагрузка.		Углы вращенія въ точкахъ:							
На 1 пог. метръ.	Общая.								
Тонны.		1	2	3	4	5			
1,778	20,447	мин. сек. 0 0	мин. сек. 0 0	мин. сек. 0 0	мин. сек. 0 0	мин. сек. 0 0	мин. сек. 0 0		
3,050	35,075	+ 0 32	+ 0 15	— 1 30	— 0 25	+ 0 15			
4,914	56 511	+ 2 5	— 0 30	— 7 55	— 0 35	+ 1 20			
4,914	56,511	+ 2 20	— 0 10	— 8 45	— 1 0	+ 1 35			
6,437	74,022	+32 2	+33 59	1° 0 17	—26 12	+7 32			

Знакомъ + обозначено вращеніе въ сторону обратную движенію часовой стрѣлки.

Первыя трещины на щекъ свода появились при нагрузкѣ 4,914 тон. на 1 пог. метръ, и при этомъ наибольшими вертикальнымъ и горизонтальнымъ перемѣщеніями были 8,45 милл. и 7,6 милл.

Эта нагрузка дѣйствовала на сводъ въ теченіе ночи и вызвала только нѣкоторое увеличеніе трещинъ. Съ увеличеніемъ нагрузки трещины увеличились, а на другой щекъ свода появились новыя, и стали распространяться по всей ширинѣ свода съ наружной и внутренней поверхности. Соответственно этому и деформация свода постепенно увеличивалась по мѣрѣ увеличенія нагрузки. При общей односторонней нагрузкѣ 74,022 тон. сводъ обрушился вслѣдъ за появленіемъ трещинъ у ненагруженной опоры.

2) *Кирпичный сводъ*. Вертикальныя и горизонтальныя перемѣщенія точекъ выражены графически на діаграммахъ

фиг. 77, 78, 79 и 80, углы же вращения при тѣхъ же нагрузкахъ приведены въ слѣдующей таблицѣ № 2:

Таблица № 2.

Нагрузка.		Углы вращения въ точкахъ:				
На 1 пог. метръ.	Общая.					
Тонны.		1	2	3	4	5
		мин. сек.	мин. сек.	мин. сек.	мин. сек.	мин. сек.
1,778	20,447	0 0	0 0	0 0	0 0	0 0
3,050	35,075	+ 0 36	+ 0 33	— 2 22	+ 1 12	0 0
3,991	45,885	+ 1 45	+ 2 30	— 7 37	+ 3 20	0 0
4,930	56,695	+ 4 10	+ 6 5	—16 2	+ 6 00	0 0
4,930	56,695	+ 4 55	+ 7 15	—18 30	+ 6 42	0 0
Разгруженъ.						
1,778	20,447	+ 1 50	+ 3 2	— 8 17	+ 3 45	0 0
3,050	35,075	+ 2 32	+ 3 57	—11 30	+ 5 2	0 0
3,050	35,075	+ 2 32	+ 4 0	—12 0	+ 5 30	0 0
4,930	56,695	+ 5 10	+ 7 10	—19 10	+ 7 50	0 0
5,874	67,548	+14 40	+17 30	—41 45	+14 0	0 0
5,874	67,548	+53 50	+56 30		+27 0	0 0

Первыя трещины появились одновременно на обѣихъ щекахъ свода при односторонней нагрузкѣ 42,2 тон. или 3,67 тон. на 1 пог. метръ. При дальѣйшемъ увеличеніи нагрузки до 56,695 тон. число и величина трещинъ увеличивались. При послѣдовавшей затѣмъ нагрузкѣ всѣ трещины почти закрылись, но сводъ не принялъ первоначальнаго вида. Оставшіяся наибольшія вертикальныя и горизонтальныя перемѣщенія были 5 милим. и 2,5 милим. Вторичная нагрузка вызвала очень быстро новую деформацию свода, причемъ, кромѣ прежнихъ увеличившихся трещинъ, появились и новыя. При нагрузкѣ 5,874 тон. на пог. метръ сводъ постепенно разрушился; наибольшимъ перемѣщеніемъ

вертикальнымъ было 29,8 миллим., горизонтальнымъ 20,4 миллим.

Характерною особенностью можно считать, что всѣ трещины, появившіяся вслѣдствіе растяженія кладки, совпадали съ направлениемъ швовъ, т. е. представляли раскрытіе швовъ.

3) *Бетонный сводъ*. Результаты опытовъ выражены графически диаграммами фиг. 81, 82, 83 и 84 и приведены въ прилагаемой таблицѣ № 3, представляющей углы вращенія линій, начерченныхъ на щекахъ свода.

Таблица № 3.

Нагрузка.		Углы вращенія въ точкахъ:				
На 1 пог. метръ.	Полная.					
Тон	ны.	1	2	3	4	5
1,778	20,447	мин. сек. .0 00	мин. сек. 0 0	мин. сек. 0 0	мин. сек. 0 0	мин. сек. 0 0
3,050	35,075	+0 31	—0 10	—1 40	+0 20	+0 20
4,008	46,098	+1 10	+0 35	—1 40	+0 30	+0 42
4,008	46,098	+1 10	+0 35	—2 10	+0 30	+0 42
4,948	56,907	+2 5	+0 20	—4 50	+1 0	+0 52
5,907	67,930	+6 50	+0 28	—0 10	+3 5	+2 7
Разгруженъ. 1,778	20,447	+4 50	+0 45	—0 55	+1 5	+0 57
3,050	35,075	+5 5	+0 38	—2 45	+1 50	+1 7
4,948	56,907	+6 0	+0 38	—2 45	+3 10	+1 7
6,847	78,735	— 6 5	+0 35	+5 30	+3 40	+3 17

Первыя трещины появились при нагрузкѣ 3,5 тон. на погонный метръ.

При увеличеніи нагрузки до 5,907 тон. на погон. метръ появились незначительныя трещины въ пятахъ и въ ненагруженной части свода.

Затѣмъ сводъ былъ разгруженъ и постепенно принялъ

почти первоначальный видъ, причемъ наибольшая остающаяся деформация выразилась перемѣщеніемъ нѣкоторыхъ точекъ на 3 милим. и всѣ трещины исчезли. При новой нагрузкѣ трещины появились снова.

Когда нагрузка достигла 7,239 тон. на погон. метръ, то сводъ внезапно обрушился, причемъ наибольшее перемѣщеніе точекъ оказалось въ 9 милим. и въ 5 милим.

Какъ указано выше, сводъ былъ возведенъ изъ бетона трехъ составовъ, распредѣленныхъ въ кладкѣ сообразно тѣмъ наибольшимъ напряженіямъ, которыя могли проявиться въ разныхъ точкахъ свода. Опытъ выяснилъ прежде всего, что при сильныхъ ударахъ бетонъ распадался на плитки, причемъ плоскости откола совпадали съ плоскостями соприкосновенія бетоновъ различныхъ составовъ, и даже отдѣльных слоевъ бетона, не смотря на то, что при кладкѣ было обращено особое вниманіе на достиженіе возможно совершенной связи между отдѣльными слоями. Хотя съ теоретической точки зрѣнія и выгодно распредѣленіе нѣсколькихъ составовъ бетона въ зависимости отъ внутреннихъ напряженій въ кладкѣ свода, но на основаніи этого опыта слѣдуетъ избѣгать употребленія бетоновъ различныхъ составовъ, такъ какъ этимъ нарушается однородность всей кладки, имѣющая вліяніе на распредѣленіе внутреннихъ силъ.

Кромѣ того выяснилось, что, не смотря на тщательность работы и всѣ мѣры, принятыя въ теченіе 3 мѣсяцевъ для равномернаго твердѣнія всей массы бетона, въ нѣкоторыхъ мѣстахъ степень твердости и вообще крѣпости бетона была различна.

4) *Сводъ системы Монье.* Результаты опытовъ выражены графически въ фиг. 85, 86, 87 и въ прилагаемой таблицѣ № 4:

Таблица № 4.

Нагрузка.		Углы вращения въ точкахъ:				
На 1 пог. метръ.	Полная.					
Т о н н ы.		1	2	3	4	5
		мм. сек.	мм. сек.	мм. сек.	мм. сек.	мм. сек.
1,778	20,477	0 0	0 0	0 0	0 0	0 0
3,050	35,075	+ 0 39	+ 0 13	— 1 58	+ 0 26	0 0
3,990	45,884	+ 2 0	+ 0 20	— 4 22	+ 1 8	0 0
4,929	56,693	+ 3 39	+ 0 40	— 4 15	+ 2 0	0 0
4,929	56,693	+ 3 42	+ 0 54	— 4 17	+ 2 1	0 0
5,879	67,609	+ 4 28	+ 1 45	— 5 50	+ 3 20	+ 0 50
6,828	78,525	+ 5 51	+ 4 10	— 9 16	+ 5 10	+ 0 50
7,779	89,460	+ 6 57	+ 6 34	— 17 3	+ 7 52	+ 1 10
8,675	99,561	+ 10 50	+ 8 40	— 30 30	+ 9 40	+ 1 10
Разгрузка.						
1,778	20,477	+ 3 35	+ 3 30	— 10 0	+ 3 42	0 00
5,879	67,609	+ 8 26	+ 6 17	— 20 34	+ 8 18	+ 1 40
8,675	99,561	+ 13 42	+ 8 20	— 30 25	+ 12 24	+ 1 40
10,284	118,272	+ 22 22	+ 11 0	— 44 40	+ 16 57	+ 6 20
11,095	127,591	+ 28 30	+ 11 20	— 53 30	+ 20 0	+ 8 30
11,900	136,855	+ 38 0	+ 15 50	— 55 30	+ 25 40	+ 13 32

Первые трещины появились при односторонней нагрузкѣ 6,828 тон. на 1 погон. метръ, причемъ наибольшее перемѣщеніе точекъ по щекамъ свода было 12,4 миллим. въ вертикальномъ направленіи и 6,7 миллим. въ горизонтальномъ.

При дальнѣйшей нагрузкѣ 7,779 тон. и 8,675 тон. на пог. метръ появились новыя трещины. При полной разгрузкѣ всѣ трещины исчезли, но при вторичной нагрузкѣ, не достигшей прежней величины, появились новыя трещины по всей ширинѣ свода; у ненагруженной опоры ширина трещинъ достигла 1 миллим.

Съ дальнѣйшимъ увеличеніемъ нагрузки число и размеры трещинъ возрастали, и при нагрузкѣ 12,706 тон. на погонный метръ сводъ обрушился.

При нагрузкѣ 11,9 тон. на погон. метръ наблюдалась наибольшая деформация, выразившаяся горизонтальнымъ перемѣщеніемъ точки свода въ 36 миллим. и вертикальнымъ въ 60 миллим.

Обрушеніе отличалось постепенностью и плавностью опусканія всего свода. Характерною особенностью надо считать появленіе мѣстнаго раздробленія или отколовъ бетона, совпадавшихъ съ обрушеніемъ свода.

Верхняя и нижняя сѣтки были сильно изогнуты при обрушеніи, но не повреждены.

Главнѣйшіе выводы изъ сравненія опытныхъ данныхъ слѣдующіе:

При раскружаливаніи деформация описанныхъ сводовъ оказалась ничтожною.

Пониженіе въ замкѣ было слѣдующее:

Для свода бутоваго	0,5 миллим.
» » кирпичнаго	5,25 »
» » бетоннаго	0,60 »
» » Монье	1,25 »

Опоры оказались почти незыблемыми, такъ какъ наибольшее перемѣщеніи ихъ въ горизонтальномъ и вертикальномъ направленіи было:

для свода кирпичнаго	0,5 миллим.
» « » Монье	0,8 »

Изъ сравненія угловъ вращенія прямыхъ линій, взятыхъ на щекахъ сводовъ (см. табл. 1, 2, 3 и 4) вблизи опоръ, можно заключить, что своды Монье и кирпичный были какъ бы закрѣплены у нагруженныхъ опоръ, такъ какъ уголъ вращенія равенъ нулю. Углы же вращенія прямыхъ у не

нагруженной опоры (точки 1) въ моментъ появленія первой трещины были:

для свода кирпичнаго.	1'45"
» » Монье	5'51"

Въ пятахъ бетоннаго свода положены были асфальтовые прослойки, которыя по своей упругости играли почти ту же роль какъ шарнирныя опоры; поэтому и углы вращенія сѣченій, взятыхъ у опоръ, представляютъ нѣчто среднее между данными для упругой арки съ шарнирами въ опорахъ и закрѣпленной неподвижно въ пятахъ.

Введеніе этихъ асфальтовыхъ прослоекъ имѣло цѣлью поставить по возможности сводъ въ тѣ условія, которыя были приняты при теоретическомъ изслѣдованіи вопроса. Но, съ другой стороны, прослойки эти нарушили монолитность свода съ опорами, и слѣдовательно совершенно измѣнили тѣ условія, въ которыхъ въ дѣйствительности находятся бетонные своды. Такимъ образомъ, стремясь подогнать условія опыта къ предвзятому взгляду на своды вообще, какъ на упругія арки съ шарнирами въ опорахъ, коммисія лишилась возможности получить данныя о деформациі бетонныхъ сводовъ у опоръ. Опыты надъ кирпичными сводами и сводами Монье, какъ сказано выше, доказываютъ полную неподвижность свода у нагруженной опоры. Поэтому основное предположеніе шарнировъ въ опорахъ слѣдуетъ считать неосновательнымъ. Въ дѣйствительности, опорами для сводовъ служатъ плоскости пята, и, какъ показываетъ опытъ, на практикѣ ближе всего можно разсматривать своды какъ упругія арки съ закрѣпленными концами. Это допущеніе принято въ основу предполагаемаго графическаго способа расчета цилиндрическихъ сводовъ.

Для дальнѣйшихъ выводовъ и опредѣленія степени упругости сводовъ изъ разныхъ матеріаловъ могутъ служить приведенныя выше діаграммы, выражающія зависимость между горизонтальными и вертикальными перемѣщеніями точекъ свода и соотвѣтствующими нагрузками.

Изъ разсмотрѣнія этихъ діаграммъ можно сдѣлать слѣдующія заключенія:

1) Зависимость между горизонтальными и вертикальными перемѣщеніями и незначительными нагрузками выражается линіей, близко подходящей къ прямой.

2) При дальнѣйшемъ увеличеніи нагрузокъ кривая эта напоминаетъ соотвѣтствующую діаграмму для математическихъ конструкцій.

3) Существенное вліяніе на деформацію имѣетъ продолжительность дѣйствія нагрузки; постоянная нагрузка, дѣйствующая на сводъ значительное время, вызываетъ остающуюся, неупругую деформацію, вслѣдствіе чего въ діаграммахъ являются разрывы, хотя общій видъ кривой остается тотъ же и при дальнѣйшей нагрузкѣ.

4) На каждой діаграммѣ легко опредѣлить точку, въ которой кривая рѣзко измѣняетъ первоначальное направленіе.

Для большей наглядности, въ фиг. 88, 89, 90 и 91 приведены діаграммы, выражающія зависимость между нагрузками и вертикальными перемѣщеніями точекъ 4 и 7, 2 и 9, взятыхъ на щекахъ испытанныхъ сводовъ (черт. III, фиг. 72).

Въ этихъ діаграммахъ ординаты выражаютъ общія одностороннія нагрузки на половину свода, а абсциссы—соотвѣтствующія вертикальныя перемѣщенія. Начальныя точки діаграммъ соотвѣтствуютъ тому моменту, когда своды были раскружалены и подвергались дѣйствию собственнаго вѣса. На каждой діаграммѣ точки замѣтнаго перегиба кривой обозначены буквой *P*; ордината *P* опредѣляетъ тотъ наибольшій грузъ, до котораго можно допустить пропорціональность между вертикальными перемѣщеніями точекъ и соотвѣтствующими нагрузками. Разсматривая такимъ образомъ часть кривой *OP* какъ прямую линію, можно опредѣлить съ достаточною точностью уравненіе этой прямой, пользуясь методомъ наименьшихъ квадратовъ.

Общій видъ уравненія этой прямой будетъ

$$u = a + k.Q,$$

гдѣ Q —нагрузка, u —соотвѣтствующее вертикальное перемѣщеніе наблюдаемой точки, a и k —постоянныя величины для даннаго свода.

Если обозначимъ число наблюденій чрезъ n , а полученные вертикальныя перемѣщенія—чрезъ δ , то постоянныя величины a и k опредѣлятся изъ слѣдующихъ уравненій:

$$a = \frac{\Sigma(Q)^2 \cdot \Sigma \delta - \Sigma(Q) \cdot Q \delta}{n \cdot \Sigma(Q)^2 - (\Sigma Q)^2}$$

$$k = \frac{n \cdot \Sigma(Q \delta) - \Sigma(Q) \cdot \Sigma(\delta)}{n \cdot \Sigma(Q)^2 - (\Sigma Q)^2}.$$

По этимъ формуламъ вычислены въ прилагаемыхъ таблицахъ значенія вертикальныхъ перемѣщеній u для точекъ 4 и 7, а также и разность $u - \delta$ между этими теоретическими и опытными вертикальными перемѣщеніями.

Значенія средней разности $\frac{\Sigma(u - \delta)}{n}$ приведены въ послѣднихъ графахъ и составляютъ:

для свода	бутоваго . . .	+ 0,003	мм.
»	» кирпичнаго . . .	— 0,01	»
»	» бетоннаго . . .	— 0,12	»
»	» Монье. . . .	— 0,006	»

Такая ничтожная разность между дѣйствительными вертикальными перемѣщеніями и теоретическими, вычисленными на основаніи предполагаемой пропорціональности въ указанныхъ предѣлахъ, доказываетъ, что это предположеніе въ практическомъ отношеніи можно считать вѣрнымъ.

1) Для буттового свода.

Q въ тоннахъ.	δ въ милл.	Q. δ .	Q ² .	u въ милл.	(u - δ) въ милл.	$\frac{\Sigma(u - \delta)}{n}$ въ милл.
0		0	0	0,21	+ 0,11	
20,447	0,10	50,095	418,08	2,19	- 0,26	
35,075	2,45	121,009	1230,26	3,16	+ 0,16	
$\Sigma Q = 55,522$	$\Sigma \delta = 6,00$	$\Sigma (Q \delta) = 171,104$	$\Sigma (Q^2) = 1648,3$		$\Sigma (u - \delta) = + 0,01$	+ 0,003

$$u = 0,21 \text{ милл.} + 0,097 Q.$$

2) Для кирпичного свода.

Q въ тоннахъ.	δ въ милл.	Q. δ .	Q ² .	u въ милл.	(u - δ) въ милл.	$\frac{\Sigma(u - \delta)}{n}$ въ милл.
0		0	0	2,58	+ 0,23	
20,447	2,35	143,13	418,08	6,42	- 0,58	
35,075	7,00	310,41	1230,26	9,17	+ 0,32	
$\Sigma Q = 55,525$	$\Sigma \delta = 18,20$	$\Sigma Q \delta = 453,54$	$\Sigma (Q^2) = 1648,34$		- 0,03	+ 0,01

$$u = 2,58 \text{ милл.} + 0,188 Q.$$

3) Для бетонного свода.

Q ВЪ ТОВАРИЩЪ.	δ ВЪ МИЛЛИМ.	$Q \delta$.	Q^2 .	u ВЪ МИЛЛИМ.	$(u - \delta)$ ВЪ МИЛЛИМ.	$\frac{\Sigma(u - \delta)}{n}$ ВЪ МИЛЛИМ.
0	0,25	0	0	0,32	+ 0,07	— 0,12
20,447	2,78	56,84	418,08	2,46	— 0,32	
35,075	3,70	129,78	1230,25	4,00	— 0,30	
46,098	5,08	284,18	2125,02	5,16	+ 0,08	
56,907	6,45	367,05	3238,40	6,29	— 0,16	
$\Sigma Q = 158,527$	$\Sigma(\delta) = 18,26$	$\Sigma(Q\delta) = 787,85$	$\Sigma(Q^2) = 7011,77$		$\Sigma(u - \delta) = -0,63$	

4) Сводъ системы Монье.

Q ВЪ ТОННАХЪ.	δ ВЪ МИЛЛ.	$Q \delta$	Q^2	u ВЪ МИЛЛ.	$(u - \delta)$ ВЪ МИЛЛ.	$\frac{\Sigma(u - \delta)}{n}$ ВЪ МИЛЛ.
0	140	0	0	1,12	— 0,28	— 0,006
20,477	2,95	60,407	419,308	3,06	+ 0,11	
35,075	4,00	140,3	1230,256	4,45	+ 0,45	
45,884	5,35	245,479	2105,341	5,48	+ 0,18	
56,693	6,95	394,016	3214,086	6,51	— 0,44	
$\Sigma Q = 158,129$	$\Sigma(\delta) = 20,65$	$\Sigma(Q\delta) = 840,202$	$\Sigma(Q^2) = 6969,001$		$\Sigma(u - \delta) = - 0,03$	

Изъ диаграммъ фиг. 88, 89, 90 и 91 видно, что наибольшими грузами, въ предѣлахъ которыхъ можно допустить пропорціональность между деформациями и соответствующими нагрузками, были слѣдующіе:

для свода бутового	. . .	35,075 тон.
» » кирпичнаго	. . .	35,075 »
» » бетоннаго	. . .	56,907 »
» » Монье	. . .	56,693 »

Величины этихъ предѣльныхъ нагрузокъ для сводовъ изъ разныхъ матеріаловъ опредѣляютъ отчасти ихъ упругія свойства, т. е. болшую или меньшую степень приближенія къ идеально упругому тѣлу. Чѣмъ выше этотъ предѣлъ, тѣмъ выгоднѣе матеріалъ въ строительномъ отношеніи.

Приведенные предѣлы пропорціональности показываютъ, что наиболѣе выгоднымъ матеріаломъ для сводовъ является бетонъ, такъ какъ средняя нагрузка, соответствующая предѣламъ пропорціональности для бетонныхъ сводовъ, равна

$$P_1 = \frac{56,907 + 56,693}{2} = 56,8 \text{ тон.}, \text{ а}$$

для сводовъ кирпичныхъ и бутовыхъ

$$P_2 = 35,075 \text{ тон.}, \text{ что составляетъ}$$

$$100 \frac{35,075}{56,8} = 62\% \text{ нагрузки } P_1.$$

Сравнивая обыкновенный бетонный сводъ со сводомъ системы Монье, можно сдѣлать слѣдующее заключеніе:

Нагрузки, соответствующія предѣламъ пропорціональности, для обоихъ сводовъ почти равны; первыя трещины и окончательное обрушеніе явились при нагрузкахъ:

для бетоннаго свода.	. . .	67,93 тон. и 83,275 тон.
» свода Монье.	. . .	78,575 » » 136,85 тон.

На практикѣ напряженія, допускаемыя въ матеріалахъ, не превосходятъ предѣла пропорціональности; поэтому, съ

этой точки зрѣнія, преимущества обоихъ сводовъ надъ кирпичными и бутовыми одинаковы. Сводъ системы Монье, благодаря желѣзнымъ сѣткамъ, обладаетъ большею прочностью за тѣмъ предѣломъ, на которой на практикѣ не рассчитывается. Поэтому на примѣненіе желѣза къ бетоннымъ конструкціямъ можно смотрѣть какъ на результатъ нѣкотораго недоувѣрія къ механическимъ свойствамъ бетона и допускать употребленіе желѣза въ тѣхъ случаяхъ, когда сводъ находится въ особыхъ условіяхъ: напримѣръ, подверженъ ударамъ, сотрясеніямъ или когда требуется ограничиться незначительною толщиной свода.

Дальнѣйшіе выводы изъ сравненія опытныхъ данныхъ слѣдующіе:

При переходѣ нагрузки за указанные предѣлы пропорциональности, въ нѣкоторыхъ мѣстахъ сводовъ наблюдались незначительныя трещины безъ появленія внезапныхъ или рѣзкихъ деформаций сводовъ.

Кривыя діаграммы для перемѣщеній точекъ сохраняли общій видъ и направленіе до и послѣ появленія трещинъ.

Въ сводахъ кирпичномъ и бутовомъ трещины распространялись по швамъ и образовали переломы во всю ширину сводовъ; въ сводахъ бетонномъ и системы Монье видъ и расположеніе трещинъ были неправильны.

При разгрузкѣ сводовъ всѣ трещины почти исчезали. При возобновленіи нагрузки онѣ появлялись снова и увеличивались по числу и величинѣ.

Съ появленіемъ первой трещины свода могли оказывать еще значительное сопротивленіе дальнѣйшимъ нагрузкамъ. При этомъ трещины появлялись въ тѣхъ сѣченіяхъ свода, гдѣ внутреннія растягивающія силы превосходили предѣлъ временнаго сопротивленія матеріала разрыву; въ точкахъ, расположенныхъ по другую сторону средней линіи свода, въ которыхъ не происходило такого раскрытія швовъ или трещинъ, наблюдались сжатія.

По мѣрѣ увеличенія нагрузки, деформация увеличивалась и кривая давленій приближалась къ наружной поверхности свода, подверженной сжатію, вслѣдствіе чего внутрен-

нія сжимающія силы увеличивались до тѣхъ поръ, пока не являлось раздробленіе матеріала, вызывавшее обрушеніе всего свода.

Въ прилагаемой таблицѣ № 5 приведены для каждого свода нагрузки, соотвѣтствующія:

- 1) предѣлу пропорціональности;
- 2) моменту появленія первой трещины, и
- 3) полному обрушенію свода.

Таблица № 5.

С В О Д Ы.	Нагрузки, соотвѣтствующія:		
	1) Предѣлу пропорціональности.	2) Появленію трещины.	Обрушенію.
Бутовый	35,075 тоннъ или	56,51 тоннъ	74,022 тонны
	1,53 т. на кв. м.	2,457 т. на кв. м.	3,218 т. на кв. м.
Кирпичный . .	35,075 тоннъ или	42,2 тоннъ	67,548 тоннъ.
	1,53 т. на кв. м.	1,83 т. на кв. м.	2,937 т. на кв. м.
Бетонный . . .	56,907 тоннъ или	63,25 тоннъ	83,275 тоннъ
	2,474 т. на кв. м.	2,75 т. на кв. м.	3,619 т. на кв. м.
Системы Монье.	56,693 тоннъ или	78,53 тоннъ	146,12 тоннъ
	2,465 т. на кв. м.	3,414 т. на кв. м.	6,353 т. на кв. м.

Изъ этой таблицы видно, что наибольшій временный грузъ, вызывающій обрушеніе свода, превышаетъ нагрузку, соотвѣтствующую первой трещинѣ:

для бутоваго свода на . .	30%
» кирпичнаго » » . .	59%
» бетоннаго » » . .	31%
» свода системы Монье на .	86%.

Слѣдовательно, въ бетонномъ и бутовомъ сводахъ разность между наибольшею временною нагрузкой и грузомъ, вызывающимъ первую трещину, меньше той же разности

для сводовъ кирпичныхъ и Монье. Кромѣ того, обрушенія бетонныхъ и бутовыхъ сводовъ отличались внезапностью.

Въ таблицѣ № 6 приведена стоимость 4-хъ испытывавшихся сводовъ по раздѣнкѣ для Петербурга.

Изъ этой таблицы видно, что самымъ дешевымъ сводомъ является кирпичный, а затѣмъ бетонный, но данныя послѣдней графы показываютъ, что наиболѣе выгоднымъ матеріаломъ какъ въ экономическомъ, такъ и въ строительномъ отношеніи надо считать бетонъ, обладающій наибольшимъ полезнымъ сопротивленіемъ.

Таблица № 6.

С В О Д Ы.	Односторонняя нагрузка, вызвавшая первая трещина, въ кв. на кв. м.	Стоимость въ рубляхъ.			Стоимость въ рубляхъ на каждое 100 кв. односторонней нагрузки.
		Кружала.	Кладка свода.	Общая сумма.	
Бутовый. . . .	2.457	90	560	650	26,42
Кирпичный . .	1 830	90	380	470	25,68
Бетонный . . .	2.750	100	470	570	20,73
Системы Монье.	3.414	100	700	800	23,46

Изъ всего изложеннаго выше можно сдѣлать слѣдующее заключеніе.

Съ одной стороны, обширные опыты Баха показали, что растворъ, бетонъ и гранитъ можно разсматривать какъ тѣла упругія при напряженіяхъ, допускаемыхъ на практикѣ; съ другой,—австрійскіе опыты надъ сводами большихъ пролетовъ (23 метра) вполне подтвердили на практикѣ эти лабораторные выводы. Поэтому слѣдуетъ признать, что рациональные способы расчета сводовъ должны быть основаны на теоріи упругости. Вмѣстѣ съ тѣмъ, тѣ же опыты доказали, что въ сводахъ кирпичныхъ и Монье у нагруженныхъ опоръ не наблюдалось вращенія при деформаци.

Поэтому предлагаемый графический способ расчета сводов основанъ на двухъ положеніяхъ:

- 1) своды разсматриваются какъ упругія арки, и
- 2) опоры, пята ихъ, считаются неподвижными и не допускающими вращенія. Слѣдовательно, условія равновѣсія сводовъ сводятся къ условіямъ равновѣсія упругихъ арокъ съ закрѣпленными концами, т. е. безъ шарнировъ въ опорахъ.

Австрійскіе опыты показали, что первыя трещины всегда являлись вслѣдствіе нарушенія частичной связи въ растворѣ или бетонѣ, и слѣдовательно вызывались такими внутренними растягивающими силами, которыя превосходили временное сопротивленіе разрыву раствора или бетона. И вообще, можно сказать, что отличительною чертой всѣхъ сводчатыхъ построекъ является слабое сопротивленіе растягивающимъ усиліямъ.

Но, съ другой стороны, устойчивость и прочность сводовъ обезпечивается значительнымъ сопротивленіемъ матеріала сводовъ раздробленію. Опыты показываютъ, что сопротивленіе разрыву составляетъ для растворовъ $\frac{1}{12} - \frac{1}{30}$ сопротивленія раздробленію; для бетона $\frac{1}{10} - \frac{1}{11}$; для гранита $\frac{1}{22}$.

На этомъ основаніи при расчетѣ сводовъ обыкновенно не принимается во вниманіе сопротивленіе разрыву раствора.

Бетонъ можетъ оказать нѣкоторое сопротивленіе разрыву, величина котораго зависитъ отъ качества и количества составныхъ его частей, и потому въ каждомъ частномъ случаѣ должна опредѣляться механическимъ испытаніемъ нѣсколькихъ образцовъ.

Въ сводахъ же Монье значительное сопротивленіе разрыву достигается введеніемъ въ кладку желѣза.

Кромѣ того, практика показываетъ, что даже при самой тщательной работѣ въ бетонныхъ сооруженіяхъ трудно избѣжать появленія незначительныхъ трещинъ. Такія трещины могутъ быть вызваны внутренними напряженіями, явившимися вслѣдствіе измѣненій температуры, неравномѣрности твердѣнія и другихъ процессовъ, происходящихъ внутри бетонной кладки.

Незамѣтные трещины могутъ быть вызваны въ бетонномъ сводѣ слѣдующими причинами:

Своды обыкновенно раскружались спустя нѣкоторый промежутокъ времени, необходимый для твердѣнія бетона. При этомъ непременно происходитъ нѣкоторое измѣненіе въ объемѣ кладки, хотя бы отъ одного испаренія воды; между тѣмъ такому измѣненію противодѣйствуютъ кружала, вслѣдствіе чего въ кладкѣ значительнаго объема получаютъ внутреннія напряженія, вызывающія трещины.

Вліяніе кружалъ въ этомъ отношеніи на столько велико, что нѣкоторые англійскіе строители (Deason, Kinipple) предлагаютъ раскруживать бетонные своды возможно скорѣе (черезъ 2—5 дней), чтобы дать возможность бетону твердѣть вполне свободно.

На основаніи всего изложеннаго можно заключить, что въ сводахъ бутовыхъ, кирпичныхъ и бетонныхъ слѣдуетъ избѣгать растягивающихъ усилій и, слѣдовательно, допускать одни сжимающія усилія.

Графическій способъ разчета цилиндрическихъ сводовъ.

Предлагаемый графическій способъ разчета основанъ на построеніи уравненій, выражающихъ условія равновѣсія упругихъ арокъ съ закрѣпленными точками опоры.

Элементарный выводъ этихъ уравненій основанъ на слѣдующихъ соображеніяхъ.

Допустимъ, что изъ даннаго свода двумя плоскостями, перпендикулярными къ его оси, выдѣлентъ элементарный сводъ, длина котораго равна единицѣ, черт. V, фиг. 92.

Пусть при данной нагрузкѣ нейтральный слой свода выразится кривой *mn*. Опредѣлимъ условія равновѣсія какой-либо части элементарнаго свода, выдѣленной двумя плоскостями, нормальными къ нейтральной линіи *mn*, фиг. 92 и 93.

Допустимъ, что разстояніе между этими плоскостями, считая по нейтральной линіи, равно *S*, а уголъ между ними до деформаціи равенъ *a*, послѣ деформаціи—*a*¹, фиг. 93.

Взаимодѣйствіе между выдѣленною частью и прилегаю-

щими частями свода выразится нѣкоторыми внутренними силами, распределенными по сѣкущимъ плоскостямъ bc и de . При незначительной длинѣ рассматриваемой дуги S можно принять, что равнодѣйствующая R всѣхъ этихъ внутреннихъ силъ приложена въ нѣкоторой точкѣ сѣченія mn , фиг. 93, проходящаго чрезъ средину дуги S . Такимъ образомъ сила R выражаетъ вліяніе прилегающихъ частей свода на рассматриваемую элементарную часть $bced$ и является относительно нея внѣшнею силой.

Равнодѣйствующую R можно разложить на двѣ составляющія: T —касательную къ дугѣ свода, и N —нормальную къ ней.

Если сила R будетъ приложена въ центрѣ сѣченія mn , фиг. 94, то давленіе ея составляющей T распределится равномѣрно по всему сѣченію и выразится площадью прямоугольника

$$tabn,$$

такъ что

$$T = mn \cdot am = mn \cdot p, \quad . \quad . \quad . \quad . \quad (1)$$

гдѣ p —напряженіе нормальной къ сѣченію силы T .

При этомъ деформация выразится равномѣрнымъ сжатіемъ всѣхъ частицъ рассматриваемаго сѣченія mn .

Если же сила R будетъ приложена внѣ центра сѣченія mn , то законъ распределенія давленія составляющей T выразится графически нѣкоторою трапеціей $mndc$, фиг. 94, площадь которой равна силѣ T , т. е.

$$\frac{mc + nd}{2} \cdot mn = T \quad . \quad . \quad . \quad . \quad (2)$$

Изъ уравненій (1) и (2) получимъ

$$\frac{mc + nd}{2} = am = p \quad . \quad . \quad . \quad . \quad (3)$$

Кромѣ того

$$mc = am + ac$$

$$nd = am - db;$$

поэтому изъ уравненія (3) получимъ

$$am + ac + am - db = 2 am,$$

$$\text{или } ac = db.$$

Вслѣдствіе этого прямоугольные треугольники oac и oba равны между собой, и трапецію $mnda$ можно получить изъ прямоугольника $mnba$, отнявъ треугольникъ odb и прибавивъ равный ему треугольникъ oac .

Площадь треугольника odb выразить нѣкоторую растягивающую силу, площадь же треугольника oac — равную ей, но противоположную силу. Совокупность этихъ двухъ равныхъ противоположныхъ силъ составитъ нѣкоторую пару силъ, стремящуюся произвести вращеніе рассматриваемаго сѣченія mn .

Если бы рассматривать матеріалъ свода какъ абсолютно твердое, неизмѣняемое тѣло, то не нарушая условий равновѣсія выдѣленной части свода, тотъ же выводъ можно получить, вообразивъ въ центрѣ сѣченія двѣ противоположныя силы $(+T)$ и $(-T)$, равныя данной силѣ T ; тогда получимъ пару силъ $T.T$, стремящуюся произвести изгибъ, и силу T , приложенную въ центрѣ сѣченія mn , фиг. 94а; величина ея выразится площадью прямоугольника $mnba$.

Такимъ образомъ, дѣйствіе силы R , приложенной внѣ центра рассматриваемаго сѣченія, всегда можно замѣнить совокупнымъ дѣйствіемъ:

1) силы T , касательной къ средней дугѣ свода, приложенной въ центрѣ сѣченія и производящей равномерное сжатіе всѣхъ частицъ этого сѣченія;

2) силы N , нормальной къ той же дугѣ и производящей перерѣзываніе, и

3) нѣкоторой пары силъ, вызывающей измѣненіе кривизны дуги S и являющейся вслѣдствіе эксцентричнаго положенія силы R .

Выдѣлимъ какую-либо частицу въ разстояніи v отъ нейтральной линіи nn , фиг. 93 и 94; длина ея до деформаціи выразится чрезъ

$$s + v \cdot a,$$

а послѣ деформаціи

$$s + v \cdot a^1.$$

Если обозначимъ коэффициентъ упругости матеріала свода чрезъ E , а площадь поперечнаго сѣченія частицы— A , то внутренняя сила f , проявляющаяся въ частицѣ при деформации, выразится такъ:

$$f = EA \frac{s + v \cdot a^1 - (s + v \cdot a)}{s + v \cdot a} = EA \frac{v(a^1 - a)}{s + va} \quad . \quad . \quad (1)$$

или, полагая $a^1 - a = \Delta a$,

$$\text{получимъ } f = EA \frac{v \cdot \Delta a}{s + v \cdot a} \quad . \quad . \quad . \quad . \quad . \quad . \quad (2)$$

Сумма моментовъ всѣхъ элементарныхъ внутреннихъ силъ f , проявившихся во всѣхъ частицахъ поперечнаго сѣченія mn , фиг. 93 и 94, выше и ниже нейтральной оси, должна равняться моменту вѣшнихъ силъ M , т. е.

$M = \Sigma (f \cdot v)$ или принимая во вниманіе уравненіе (2), получимъ

$$M = \Sigma \frac{v^2 \cdot \Delta a}{s + v \cdot a} EA.$$

Если обозначимъ чрезъ r —радіусъ кривизны нейтральной дуги, то

$$s = ra,$$

и предыдущее уравненіе выразится такъ:

$$M = \Sigma \frac{v^2 \cdot \Delta a}{(r + v)a} E \cdot A.$$

Если рассматриваемое поперечное сѣченіе mn , фиг. 94, симметрично относительно нейтральной оси nn , то сумма моментовъ внутреннихъ силъ для двухъ частицъ, удаленныхъ отъ nn на разстоянія $(+v)$ и $(-v)$, выразится:

$$\frac{EAv^2\Delta a}{(r+v)a} + \frac{E \cdot A \cdot v^2 \cdot \Delta a}{(r-v)a} = \frac{2 EAv^2 \cdot \Delta a \cdot r}{(r^2 - v^2)a} = \frac{2}{ra} \cdot \frac{E \cdot A \cdot v^2 \cdot \Delta a}{1 - \frac{v^2}{r^2}}.$$

Отношеніе $\frac{v^2}{r^2}$ въ дѣйствительности очень мало, такъ что имъ можно пренебречь. Поэтому, считая E и r постоянными на всемъ протяженіи s , получимъ

$$M = \Sigma \frac{E \cdot Av \cdot v^2 \Delta a}{r \cdot a}.$$

Но $ra = s$,

$\Sigma Av^2 = I$ — моменту инерции поперечнаго сѣченія mn относительно нейтральной оси nn , то слѣдовательно

$$M = \frac{\Delta a \cdot EI}{s}, \quad \dots \dots \dots (3)$$

откуда
$$\Delta a = \frac{Ms}{EI} \dots \dots \dots (4)$$

Изъ уравненія (2) слѣдуетъ, что напряженіе f_1 (на единицу поперечнаго сѣченія A) выразится:

$$f_1 = \frac{f}{A} = \frac{E \cdot v \cdot \Delta a}{s + av}.$$

Допустимъ, что наибольшее напряженіе на единицу поперечнаго сѣченія для частицъ наиболѣе удаленныхъ отъ нейтральной оси, фиг. 93, равно

$$f^1, \text{ т. е.}$$

$$f_{(max)} = f^1,$$

тогда
$$f^1 = \frac{E \cdot v^1 \cdot \Delta a}{s + av} = \frac{E \cdot v^1 \cdot \Delta a}{(r + v)a}.$$

Или, пренебрегая v сравнительно съ r , получимъ

$$f = \frac{E \cdot v^1 \cdot \Delta a}{ar} = \frac{E \cdot v^1 \cdot \Delta a}{s}.$$

Подставляя изъ уравненія (4) вмѣсто Δa ему равное $\frac{Ms}{EI}$, получимъ

$$f^1 = \frac{E \cdot v^1 \cdot Ms}{E \cdot I \cdot s} = \frac{Mv^1}{I}.$$

Послѣ этого уравненіе (3)

$$M = \frac{\Delta a \cdot E \cdot I}{s}$$

можно выразить:

$$M = \frac{f^1}{v^1} \cdot I \dots \dots \dots (5)$$

Въ поперечномъ сѣченіи mn , фиг. 93, кромѣ пары $T.T.$, вызывающей изгибъ, будутъ дѣйствовать силы: нормальная N и касательная T , приложенныя въ средней точкѣ нейтральной дуги s . Если допустить, что нейтральная ось проходить чрезъ графическій центръ поперечнаго сѣченія

mn, то сила T произведетъ сжатіе, распределенное равномерно по всему поперечному сѣченію *mn*. Поэтому полное напряженіе въ крайней, наиболѣе удаленной частицѣ выразится:

$$f = \frac{T}{A} + \frac{Mv^1}{I}.$$

Называя толщину свода чрезъ d , получимъ

$$A = 1.d$$

$$I = \frac{1.d^3}{12}, v^1 = \frac{d}{2}; \text{ поэтому}$$

$$f = \frac{T}{d} + \frac{M.d.12}{2.d^3} = \frac{1}{d} \left(T + \frac{6M}{d} \right) \dots \dots \dots (F)$$

Вообще вычисления показываютъ, что деформація свода, вызванная дѣйствіемъ одной сжимающей силы T , очень мала сравнительно съ деформацией, являющейся вслѣдствіе изгиба.

Вліяніе силы T будетъ рассмотрѣно ниже въ главѣ: «Вліяніе измѣненій температуры», такъ какъ дѣйствіе этой силы аналогично тому сжатію, которое появляется въ сводѣ при повышеніи температуры.

Сила N , стремящаяся произвести перерѣзываніе свода, сравнительно мала и обыкновенно не принимается въ расчетъ.

Вообще, какъ пояснено выше, фиг. 93, величины силъ T и N зависятъ отъ направленія и величины R —равнодѣйствующей всѣхъ внѣшнихъ силъ, приложенныхъ къ рассматриваемому сѣченію.

Положеніе этой равнодѣйствующей R можно опредѣлить на основаніи слѣдующихъ соображеній.

Уголъ $\Delta a = (a' - a)$ выражаетъ, фиг. 93, измѣненіе угла наклоненія касательныхъ K и K_1 , проведенныхъ въ крайнихъ точкахъ элементарной дуги s , принимающей новое положеніе при деформации свода.

Допустимъ, фиг. 95, что кривая abc представляетъ нейтральную линію *mn* свода, изображеннаго въ фиг. 92.

Выдѣливъ элементарную дугу s , обозначимъ координаты

ея средней точки b чрезъ x и y , принимая за начало координатъ точку c .

Допустимъ, что для взятой дуги s уголъ Δa при ея деформаци равенъ углу cbe . Если изъ точки c возставимъ перпендикуляръ къ прямой cb до пересѣченія съ eb въ точкѣ e , и изъ нея опустимъ перпендикуляръ ed на прямую ca , то изъ подобія треугольниковъ cde и bfc получимъ:

$$1) \frac{cd}{ce} = \frac{y}{bc}, \text{ или } cd = \frac{ce}{bc} \cdot y$$

$$2) \frac{de}{ce} = \frac{x}{bc}, \text{ или } de = \frac{ce}{bc} \cdot x.$$

Отношеніе $\frac{ce}{bc} = tg \Delta a$. Но такъ какъ въ дѣйствительности уголъ Δa очень малъ, то можно принять, что

$$\frac{ce}{bc} = tg \Delta a = \Delta a.$$

Тогда предъидущія равенства выразятся:

$$1) cd = y \cdot \Delta a$$

$$2) de = x \Delta a.$$

Полученныя уравненія (1) и (2) выражаютъ приближенно горизонтальное и вертикальное перемѣщенія крайней точки нейтральной линіи свода, вызванныя деформацией въ точкѣ b .

Полное перемѣщеніе крайней точки c при деформаци всей дуги abc получится какъ сумма перемѣщеній, вызванныхъ деформацией всѣхъ элементарныхъ дугъ s ; это выраженіе будетъ тѣмъ точнѣе, чѣмъ короче взятыя дуги s .

И такъ, если обозначимъ чрезъ h и v полныя перемѣщенія точки c по горизонтальному и вертикальному направленіямъ, то

$$h = \sum_a^c (y \cdot \Delta a) \quad . \quad . \quad . \quad . \quad . \quad . \quad (6)$$

$$v = \sum_a^c (x \cdot \Delta a) \quad . \quad . \quad . \quad . \quad . \quad . \quad (7)$$

Въ приведенномъ выше уравненіи (4)

$$\Delta a = \frac{M \cdot s}{E \cdot I}$$

Δa выражаетъ измѣненіе угла между касательными, проведенными въ крайнихъ точкахъ элементарной дуги s ; поэтому уравненіе

$$\sum_a^c \Delta a = \sum_a^c \frac{M.s}{E.I}. \quad (8)$$

опредѣлить измѣненіе угла между касательными, проведенными въ опорныхъ точкахъ a и c .

И такъ, подставивъ значеніе

$$\Delta a = \frac{M.s}{E.I} \text{ въ уравненія (6) и (7),}$$

$$\text{получимъ } h = \sum_a^c \frac{M.y.s}{E.I}. \quad (9)$$

$$v = \sum_a^c \frac{M.x.s}{E.I}. \quad (10)$$

Пользуясь уравненіями (8), (9) и (10), можно вывести условія, опредѣляющія въ каждомъ поперечномъ сѣченіи свода точку приложенія равнодѣйствующей всѣхъ внѣшнихъ силъ, или такъ называемую кривую давленій.

На основаніи приведенныхъ выше опытовъ надъ упругостью матеріаловъ, можно разсматривать сводъ какъ упругую арку съ закрѣпленными точками опоры, т. е. допустить, что:

1) углы наклона касательныхъ въ крайнихъ точкахъ нейтральной линіи постоянны;

2) разстояніе между точками опоры также постоянно, и

3) вертикальное перемѣщеніе точекъ опоры равно нулю.

Поэтому условія равновѣсія для такого свода, принимая во вниманіе ур. (8), (9) и (10), будутъ слѣдующія:

$$1) \sum_a^c \Delta a = \sum_a^c \frac{M.s}{E.I} = 0$$

$$2) h = \sum_a^c \frac{M.y.s}{E.I} = 0$$

$$3) v = \sum_a^c \frac{M.x.s}{E.I} = 0$$

Такъ какъ величина s , E и I не равны нулю, то для удовлетворенія этимъ условіямъ необходимо, чтобы было:

$$1) \sum_a^c M = 0$$

$$2) \sum_a^c M.y = 0$$

$$3) \sum_a^c M.x = 0.$$

Для арки или свода, въ которомъ одна точка опоры закрѣплена неподвижно, а въ другой опорѣ возможно вращеніе, необходимо чтобы было:

$$1) h = 0 \text{ и}$$

$$2) v = 0, \text{ т. е.}$$

$$\sum_a^c M.y = 0 \text{ и}$$

$$\sum_a^c M.x = 0.$$

При этомъ начало координатъ предполагается въ той точкѣ опоры, гдѣ возможно вращеніе.

Если въ упругой аркѣ разстояніе между точками опоры a и b неизмѣнно, но въ каждой изъ нихъ возможно вращеніе, то необходимо удовлетворить слѣдующему условию:

$$h = 0, \text{ т. е.}$$

$$\sum_a^c M.y = 0.$$

Если разсматривать своды изъ разныхъ матеріаловъ и ихъ опоры какъ одно цѣлое упругое тѣло, и допустить незыблемость опоръ, то ближе всего можно предположить, что точки опоры такого свода закрѣплены неподвижно, что почти вполне справедливо, напримѣръ, для сводовъ бетонныхъ, представляющихъ одинъ монолитъ съ опорными стѣнами.

Поэтому условія равновѣсія такихъ сводовъ выразятся:

$$\left. \begin{array}{l} 1) \sum M = 0 \\ 2) \sum_a^c M.y = 0 \\ 3) \sum_a M.x = 0 \end{array} \right\} (A).$$

Въ дѣйствительности опорами для свода бутового или кирпичнаго будутъ служить плоскости пять; точками опоры

сводовъ можно считать точки пересѣченій кривой давленій съ плоскостями пять.

Въ уравненіяхъ (А) начало координатъ можно перенести изъ крайней точки *c*, фиг. 95, въ любую другую, напри- мѣръ въ точку *o*, не измѣняя при этомъ вида уравненій (А).

Такъ, обозначивъ, фиг. 95, координаты новаго начала *o* чрезъ

$$cm = d$$

$$om = d^1,$$

прежнія координаты точки *b*—чрезъ

$$x \text{ и } y,$$

а новыя— x^1 и y^1 , получимъ

$$\Sigma_a^c M.x = \Sigma_a^c M.(d+x^1) = p \Sigma_a^c M + \Sigma_a^c M.x^1 = 0.$$

$$\Sigma_a^c M.y = \Sigma_a^c M.(d^1-y^1) = d^1 \Sigma_a^c M - \Sigma_a^c M.y^1 = 0.$$

Такъ какъ $\Sigma_a^c M = 0$ при любомъ положеніи начала координатъ, то изъ предъидущихъ уравненій слѣдуетъ:

$$\Sigma_a^c M.x^1 = 0.$$

$$\Sigma_a^c M.y^1 = 0.$$

Изъ найденныхъ выше уравненій:

$$\Sigma_a^c (\Delta a) = \Sigma_a^c \frac{M.s}{E.I}$$

$$h = \Sigma_a^c \frac{M.y.s}{E.I}$$

$$v = \Sigma_a^c \frac{M.x.s}{E.I}$$

можно опредѣлить вертикальное и горизонтальное перемѣщенія любой точки нейтральной линіи свода относительно одной изъ опоръ, если извѣстны слѣдующія величины:

M—моментъ внѣшнихъ силъ относительно центра *o* разсматриваемаго сѣченія, проходящаго чрезъ середину данной элементарной дуги *s*, фиг 95;

E—коэффициентъ упругости матеріала свода при сжатіи;

I —моментъ инерціи разсматриваемаго сѣченія свода относительно нейтральной оси, проходящей черезъ центръ сѣченія;

x и y —координаты средней точки той же дуги s , причемъ начало координатъ взято въ центрѣ пятоваго шва.

Слѣдовательно, вообще говоря, можно опредѣлить положеніе нейтральной линіи послѣ деформаціи свода.

Кромѣ того, тѣ же условія могутъ служить для опредѣленія положенія кривой давленій.

Для этого обратимся къ уравненіямъ (А), выражающимъ условія равновѣсія упругихъ арокъ съ закрѣпленными точками опоры:

$$\left. \begin{aligned} 1) \sum_a^c M &= 0 \\ 2) \sum_a^c M \cdot y &= 0 \\ 3) \sum_a^c M \cdot x &= 0 \end{aligned} \right\} (A).$$

Если въ любомъ сѣченіи mn , фиг. 96, изъ центра его O опустимъ перпендикуляръ r на направленіе соотвѣтствующей равнодѣйствующей R , то моментъ будетъ

$$M = Rr.$$

Разложивъ R на 2 составляющія: нормальную N и горизонтальную H , и взявъ моментъ ихъ относительно той же точки O , получимъ

$$M = Rr = Hv,$$

гдѣ v —вертикальное разстояніе отъ центра O до предполагаемой кривой давленій. Величина H , или такъ называемый горизонтальный распоръ свода, постоянна для всѣхъ сѣченій свода; поэтому уравненія (А) можно выразить слѣдующимъ образомъ:

$$\left. \begin{aligned} 1) \sum (v) &= 0 \\ 2) \sum (v \cdot y) &= 0 \\ 3) \sum v \cdot x &= 0 \end{aligned} \right\} (B).$$

При этомъ суммирование распространено по всей дугѣ свода.

Уравненія эти могутъ быть удовлетворены простымъ графическимъ построениемъ и тогда положеніе кривой давленій будетъ вполне опредѣленнымъ.

Допустимъ, что кривая $a a_1 a_2 \dots a_8 a^1$, фиг. 98, выражаетъ среднюю линію поперечнаго сѣченія даннаго свода.

Раздѣлимъ кривую $a a_1 a_2 \dots a^1$ на нѣсколько равныхъ частей, напимѣръ на 8, и чрезъ середины этихъ частей проведемъ вертикальныя ординаты: $y_1, y_2, y_3, \dots y_8$, принимая за ось X прямую $a a^1$, а начало координатъ въ точкѣ a .

Вообразимъ вертикальныя силы $P_1, P_2 \dots P_8$, приложенныя въ точкахъ $a_1, a_2, \dots a_8$.

Отложивъ по вертикальной линіи въ послѣдовательномъ порядкѣ величины этихъ силъ, фиг. 97, получимъ многоугольникъ силъ ABO при произвольномъ полюсѣ O , а затѣмъ построимъ веревочный многоугольникъ $c c_1 c_2 \dots c_8 c^1$, замыкающею котораго будетъ прямая $c c^1$.

Проведя изъ полюса O прямую MO параллельную замыкающей $c c^1$, фиг. 97, получимъ отрѣзки MA и MB , выражающіе реакціи опоръ a и a^1 въ томъ случаѣ, если бы данныя силы дѣйствовали на балку $a a^1$, свободно лежащую на опорахъ a и a^1 .

Въ упругомъ сводѣ съ закрѣпленными точками опоры получится нѣкоторая другая замыкающая $k k^1$, фиг. 99, при тѣхъ же вертикальныхъ реакціяхъ опоръ. Чтобы опредѣлить положеніе этой новой замыкающей, надо удовлетворить приведеннымъ выше уравненіямъ (B):

- 1) $\Sigma(v) = 0$
- 2) $\Sigma(v \cdot y) = 0$
- 3) $\Sigma(v \cdot x) = 0$.

Разсмотримъ сперва условія:

- 1) $\Sigma(v) = 0$
- 2) $\Sigma(v \cdot x) = 0$.

Допустимъ, что (фиг. 98) построенный веревочный мно-

гоугольникъ $cc_1c_2c_3 \dots c_8c^1$ выражаетъ дѣйствительную кривую давленій. Проведемъ нѣкоторую замыкающую kk^1 . Изъ чертежа видно, что отрѣзокъ v_4 , выражающій вертикальное разстояніе отъ центра разсматриваемаго сѣченія въ точкѣ a_4 до предполагаемой кривой давленій, равенъ отрѣзку

$$a_4c_4,$$

который можно представить

$$a_4c_4 = (c_4k_4 - a_4k_4) = v_4.$$

И, вообще, можно принять

$$v = (ck - ak).$$

Послѣ этого, условія:

$$1) \Sigma(v) = 0$$

$$2) \Sigma(v \cdot x) = 0$$

выразятся:

$$1) \Sigma(v) = (ck - ak) = \Sigma(ck) - \Sigma(ak) = 0$$

$$2) \Sigma(v \cdot x) = \Sigma(ck - ak) \cdot x = \Sigma(ck \cdot x) - \Sigma(ak \cdot x) = 0.$$

При данной кривой свода $a a_1 a_2 \dots a_8 a^1$ всегда можно провести замыкающую kk^1 такъ, чтобы было:

$$1) \Sigma(ak) = 0$$

$$2) \Sigma(ak \cdot x) = 0.$$

Если, напримѣръ, при симметричной дугѣ свода, фиг. 98, опредѣлимъ среднюю величину ординаты

$$y_0 = \frac{y_1 + y_2 + y_3 + \dots + y_8}{8}$$

и проведемъ замыкающую $k k^1$ параллельно прямой $a a^1$ такъ, чтобы $ak = y_0$, то изъ предъидущаго уравненія получимъ

$$y_1 + y_2 + y_3 + \dots + y_8 - 8y_0 = 0,$$

или

$$(y_1 - y_0) + (y_2 - y_0) + (y_3 - y_0) + \dots + (y_8 - y_0) = 0,$$

или

$$(-k_1 a_1) + (-k_2 a_2) + k_3 a_3 + \dots + k_8 a_8 + (-k_7 a_7) + (-k_8 a_8) = 0,$$

т. е.

$$\Sigma (ak) = 0,$$

что и требовалось доказать.

Такъ какъ ординаты $y_1, y_2, y_3, \dots, y_n$ симметричны относительно вертикальной линіи AO , проходящей чрезъ вершину кривой, то при вращеніи замыкающей k k^1 около точки A всякому увеличенію любой ординаты, на примѣръ $k_2 a_2$, будетъ соответствовать такое же уменьшеніе парной ординаты $k_2 a_2$ въ другой половинѣ свода.

А поэтому

$$\Sigma (ak) = 0,$$

при любомъ положеніи замыкающей k k , проходящей чрезъ точку A .

Такимъ образомъ чрезъ точку A можно провести безчисленное множество такихъ замыкающихъ, и слѣдовательно всегда можно удовлетворить условію:

$$\Sigma (ak) = 0.$$

Въ условіи $\Sigma(ak) = 0$ любую ординату $a_1 k_1$ можно разсматривать какъ разность $a_1 b_1 - k_1 b_1$, и поэтому получимъ $\Sigma(ak) = \Sigma(ab) - \Sigma(kb) = 0$, откуда

$$\Sigma (ab) = \Sigma (kb).$$

Послѣ этого второе условіе

$$\Sigma (ak . x) = 0 \text{ можно выразить}$$

$$\Sigma (ak . x) = \Sigma (ab . x) - \Sigma (kb . x) = 0, \text{ или}$$

$$\Sigma (ab . x) = \Sigma (kb . x).$$

Каждое изъ выраженій $\Sigma(ab . x)$ и $\Sigma(kb . x)$ можно разсматривать какъ сумму моментовъ силъ $a_1 b_1, a_2 b_2, \dots, a_n b_n$ и $k_1 b_1, k_2 b_2, \dots, k_n b_n$ относительно точки a (начало координатъ).

Сумма моментовъ этихъ силъ равна моменту ихъ равнодѣйствующей $\Sigma(ab)$ или $\Sigma(kb)$ относительно той же точки a . При симметричной дугѣ свода равнодѣйствующая $\Sigma(ab)$ пройдетъ чрезъ средину дуги свода; поэтому для удовлетворенія равенства

$$\Sigma(ab) = \Sigma(kb) \text{ и условия}$$

$$\Sigma(ab.x) = \Sigma(kb.x) \text{ необходимо, чтобы}$$

и равнодѣйствующая $\Sigma(kb)$ прошла чрезъ ту же вершину дуги и совпала съ равнодѣйствующею $\Sigma(ab)$, что возможно только въ томъ случаѣ, если замыкающая kk^1 параллельна прямой aa^1 . И такъ, изъ безчисленнаго множества замыкающихъ, проходящихъ чрезъ точку A , удовлетворяетъ условіямъ $\Sigma(ak) = 0$ и $\Sigma(ak.x) = 0$ только одна замыкающая kk^1 , параллельная прямой aa^1 .

Такимъ образомъ, въ уравненіяхъ

$$1) \Sigma(v) = \Sigma(ck) - \Sigma(ak) = 0$$

$$2) \Sigma(v.x) = \Sigma(ck.x) - \Sigma(ak.x) = 0$$

члены $\Sigma(ak) = 0$ и $\Sigma(ak.x) = 0$.

Слѣдовательно

$$1) \Sigma(v) = \Sigma(ck) = 0$$

$$2) \Sigma(v.x) = \Sigma(ck.x) = 0,$$

при замыкающей kk^1 , удовлетворяющей условіямъ:

$$\Sigma(ak) = 0$$

$$\Sigma(ak.x) = 0.$$

Такимъ образомъ, условія равновѣсія упругаго свода съ закрѣпленными точками опоры выражаются слѣдующими уравненіями.

$$\text{I. } \begin{cases} \Sigma(ak) = 0 \\ \Sigma(ak.x) = 0. \end{cases}$$

$$\text{II. } \begin{cases} \Sigma(ck) = 0 \\ \Sigma(ck.x) = 0. \end{cases}$$

$$\text{III. } \begin{cases} \Sigma(ck - ak).y = 0 \text{ или} \\ \Sigma(ck.y) = \Sigma(ak.y). \end{cases}$$

Отрѣзокъ ck представляетъ вертикальное разстояніе, фиг. 98 и 99, отъ любой точки c кривой давленій до замыкающей kk^1 .

Если нагрузка симметрична относительной вертикальной линіи, проходящей чрезъ вершину свода, то предполагаемая кривая давленій $cc_1c_2c_3 \dots c_8c^1$, фиг. 98 и 99, будетъ сим-

метрична относительно той же вертикали AO , а потому для произвольной кривой давлений $cc_1c_2c_3 \dots c_sc^1$ всегда можно построить замыкающую kk^1 , фиг. 99, удовлетворяющую II-му условию, т. е.

$$\begin{aligned}\Sigma (ck) &= 0 \\ \Sigma (ck \cdot x) &= 0.\end{aligned}$$

Для этого, подобно предыдущему, надо провести прямую kk^1 параллельную прямой cc' , соединяющей точки пересечения кривой давлений (веревочного многоугольника $cc_1c_2 \dots c_sc^1$) с вертикальными линиями, проходящими чрез точки опоры, и при этомъ разстояніи между этими прямыми

$$ck = \frac{\Sigma(cb)}{n},$$

гдѣ $\Sigma(cb)$ выражаетъ сумму всѣхъ ордонатъ cb , а n —число ихъ.

Полученная замыкающая kk^1 , фиг. 99, вообще говоря, будетъ отличаться отъ замыкающей kk^1 , фиг. 98, удовлетворяющей условіямъ:

$$\text{I. } \begin{cases} \Sigma (ak) = 0 \text{ и} \\ \Sigma (ak \cdot x) = 0, \end{cases}$$

такъ какъ кривая давлений $cc_1c_2 \dots c_sc^1$, фиг. 99 и 98, построена при произвольномъ полюсномъ разстояніи H .

Для полного совпаденія обѣихъ замыкающихъ необходимо удовлетворить условию III-му.

$$\Sigma (ck - ak) \cdot y = 0,$$

опредѣляющему величину дѣйствительнаго горизонтальнаго напряженія или распора.

Изъ условія III-го: $\Sigma (ck - ak) \cdot y = 0$,

$$\text{получимъ } \frac{\Sigma(ck \cdot y)}{\Sigma(ak \cdot y)} = 1.$$

Въ выраженіяхъ $\Sigma (ak \cdot y)$ и $\Sigma (ck \cdot y)$ множители ak и y вполне опредѣленны и зависятъ только отъ вида средней дуги свода, фиг. 98; множитель же ck представляетъ ордонату веревочнаго многоугольника $cc_1c_2 \dots c_sc^1$, фиг. 99, при произвольномъ полюсномъ разстояніи H .

Если поэтому окажется, что

$\Sigma (ck . y) \leq \Sigma (ak . y)$ и, напริมѣръ,

$$\frac{\Sigma (ck . y)}{\Sigma (ak . y)} = n \text{ при } n > 1,$$

то для удовлетворенія III-му условію необходимо уменьшить всѣ ординаты ck , чтобы достигнуть равенства

$$\Sigma (ck . y) = \Sigma (ak . y).$$

Для этого достаточно увеличить прежнее горизонтальное напряженіе H , взявъ новое H_x изъ уравненія

$$\frac{H_x}{H} = \frac{\Sigma (ck . y)}{\Sigma (ak . y)} = n \quad . \quad . \quad . \quad . \quad . \quad (a)$$

Послѣ этого всѣ новыя ординаты c^1k измѣнятся въ обратномъ отношеніи, т. е.

$$\frac{c^1k}{ck} = \frac{1}{n} \quad . \quad . \quad . \quad . \quad . \quad . \quad (b)$$

и

$$\frac{\Sigma (c^1k . y)}{\Sigma (ck . y)} = \frac{1}{n} \quad . \quad . \quad . \quad . \quad . \quad . \quad (c)$$

или

$$\Sigma (ck . y) = n \Sigma (c^1k . y).$$

Изъ уравненія (a) получимъ:

$$\Sigma (ck . y) = n \Sigma (ak . y).$$

Изъ сравненія двухъ послѣднихъ уравненій слѣдуетъ

$$n \Sigma (c^1k . y) = n \Sigma (ak . y), \text{ или}$$

$$\Sigma (c^1k . y) = \Sigma (ak . y).$$

Такимъ образомъ, для удовлетворенія всѣмъ тремъ условіямъ:

$$\text{I. } \begin{cases} \Sigma (ak) = 0 \\ \Sigma (ak . x) = 0. \end{cases}$$

$$\text{II. } \begin{cases} \Sigma (ck) = 0 \\ \Sigma (ck . x) = 0. \end{cases}$$

$$\text{III. } \Sigma (ck - ak) . y = 0,$$

и для полученія дѣйствительной кривой давленій, необходимо опредѣлить дѣйствительный горизонтальный распоръ H_x изъ уравненія (a):

$$H_x = H \frac{\sum (ck \cdot x)}{\sum (ak \cdot x)} = H \cdot n.$$

Любая ордоната $c'_4 k_4$ дѣйствительной кривой давленій определяется изъ уравненія (b)

$$\frac{c'_4 k}{ck} = \frac{1}{n} \text{ или } c'_4 k = \frac{ck}{n}.$$

Отложивъ полученную ордону $c'_4 k_4$ по вертикали $k_4 c_4$ вверхъ отъ замыкающей kk^1 , фиг. 98, получимъ точку c'_4 дѣйствительной кривой давленій.

Зная такимъ образомъ дѣйствительный горизонтальный распоръ H_x и хотя одну точку c'_4 кривой давленій, можно построить всю кривую давленій, пользуясь новымъ многоугольникомъ силъ ABO^1 , фиг. 97.

Для повѣрки построенія можно опредѣлить изъ уравненія (b) ордонаты нѣсколькихъ другихъ точекъ дѣйствительной кривой давленій; если онѣ совпадутъ съ построенною кривой давленій, то весь расчетъ свода можно считать вѣрнымъ.

При несимметричной нагрузкѣ кривая давленій будетъ также несимметрична относительно вертикальной линіи, проходящей черезъ вершину свода, фиг. 101 и 100, и замыкающая ея kk^1 , фиг. 101, не будетъ параллельна прямой bb^1 , соединяющей точки пересѣченій кривой давленій съ вертикалями, проходящими чрезъ середины пятового шва.

При данной дугѣ свода первое условіе равновѣсія упругой арки съ закрѣпленными точками опоры

$$\text{I. } \begin{cases} \sum (ak) = 0 \text{ и} \\ \sum (ak \cdot x) = 0 \end{cases}$$

будетъ удовлетворено, какъ и при симметричной нагрузкѣ.

Для удовлетворенія II-му условію равновѣсія:

$$\text{II. } \begin{cases} \sum (ck) = 0 \text{ и} \\ \sum (ck \cdot x) = 0 \end{cases}$$

построимъ веревочный многоугольникъ $bc_1 c_2 c_3 \dots c_8 b^1$, фиг. 101, при произвольномъ горизонтальномъ напряженіи H , и допустимъ, что онъ представляетъ искомую кривую давленій съ замыкающею kk^1 , которая удовлетворяетъ условію:

$$1) \Sigma (kc) = 0$$

$$2) \Sigma (kc \cdot x) = 0.$$

Примемъ начало координатъ въ точкѣ b , и пусть абсциссы точекъ $c_1, c_2, c_3, \dots, c_8$ выразятся соотвѣтственно:

$$x_1, x_2, x_3, \dots, x_8.$$

Отрѣзки ck , расположенные выше замыкающей kk^1 , будемъ считать положительными, а ниже ея—отрицательными.

Если обозначимъ точки пересѣченій прямой bb^1 съ ординатами вершинъ $c_1, c_2, c_3, \dots, c_8$ чрезъ $b_1, b_2, b_3, \dots, b_8$, то, какъ видно изъ фиг. 101, любая ордината k_4c_4 выразится

$$k_4c_4 = b_4c_4 - b_4k_4,$$

или вообще

$$kc = bc - bk.$$

Послѣ этого основныя условія

$$1) \Sigma (bc) = 0$$

$$2) \Sigma (bc \cdot x) = 0,$$

выразятся

$$1) \Sigma (bc - bk) = 0$$

$$2) \Sigma (bc - bk) \cdot x = 0,$$

или

$$1) \Sigma (bc) = \Sigma (bk). \quad . \quad . \quad . \quad . \quad . \quad . \quad . \quad . \quad (c)$$

$$2) \Sigma (bc) \cdot x = \Sigma (bk) \cdot x. \quad . \quad . \quad . \quad . \quad . \quad . \quad . \quad . \quad (d)$$

Если будемъ разсматривать отрѣзки bc и bk какъ нѣкоторыя силы, и назовемъ чрезъ x_0 и x_0^1 абсциссы ихъ равнодѣйствующихъ, то изъ уравненія (d) получимъ

$$x_0 \Sigma (bc) = x_0^1 \Sigma (bk), \quad . \quad . \quad . \quad . \quad . \quad . \quad . \quad . \quad (e)$$

такъ какъ моментъ равнодѣйствующей равенъ суммѣ моментовъ силъ составляющихъ.

Принимая во вниманіе уравненіе (c), изъ уравненія (e) получимъ

$$x_0 = x_0^1,$$

т. е. что для удовлетворенія основнымъ условіямъ:

$$\Sigma (kc) = 0$$

$$\Sigma (kc \cdot x) = 0,$$

прямая kk^1 должна располагаться такъ, чтобы равнодѣйствующая $R = \Sigma(bc)$ равнялась по величинѣ равнодѣйствующей $\Sigma(bk)$ (см. уравненіе с) и совпала съ ней, такъ какъ $x_0 = x_0^1$.

Величина R опредѣлится простымъ суммированіемъ:

$$R = b_1c_1 + b_2c_2 + b_3c_3 + \dots + b_8c_8.$$

Положеніе же ея можно опредѣлить двумя способами: 1) графически, и 2) вычисленіемъ.

Въ первомъ случаѣ, рассматривая ордонаты $b_1c_1, b_2c_2 \dots b_8c_8$ какъ силы, строимъ при произвольномъ полюсѣ O_{II} многоугольникъ силъ $O_{II}BC$, фиг. 103, а затѣмъ, начиная отъ точки b — соотвѣтствующій веревочный многоугольникъ $b\ 1\ 2\ 3\ 4\ 5\ 6\ 7\ 8$, фиг. 101. Продолживъ до пересѣченія крайнія стороны его, получимъ точку r ; вертикальная линія, проходящая чрезъ r , выразитъ направленіе равнодѣйствующей R , а величина ея получится изъ многоугольника силъ

$$R = \Sigma(bc) = BC.$$

Положеніе R можно опредѣлить съ большою точностью вычисленіемъ, взявъ моментъ силъ составляющихъ $b_1c_1, b_2c_2 \dots b_8c_8$ относительно ордонаты AB , фиг. 101, проходящей чрезъ средину прямой bb' .

Если дуга свода раздѣлена на равныя части, то ордонаты bc попарно одинаково удалены отъ средней линіи AB .

Поэтому, если назовемъ разстоянія отъ AB до ордонатъ

$$b_1c_1, b_2c_2, b_3c_3, b_4c_4$$

чрезъ $x_1, x_2, x_3, x_4,$

то алгебраическая сумма моментовъ ордонатъ bc относительно AB выразится

$$(b_8c_8 - b_1c_1)x_1 + (b_7c_7 - b_2c_2)x_2 + (b_6c_6 - b_3c_3)x_3 + (b_5c_5 - b_4c_4)x_4.$$

Раздѣливъ эту сумму моментовъ силъ составляющихъ на ихъ равнодѣйствующую R , получимъ разстояніе r отъ прямой AB до вертикальной прямой, выражающей направленіе равнодѣйствующей R .

Такимъ образомъ, величину и положеніе равнодѣйствующей R всегда можно опредѣлить.

Послѣ этого проведемъ прямую kb^1 , раздѣляющую каждую изъ ордонатъ b_k на двѣ части.

Если разсматривать ордонаты, заключенныя между прямыми bb^1 и kb^1 , какъ силы, то равнодѣйствующая ихъ T будетъ равна суммѣ этихъ ордонатъ, а положеніе ея опредѣлится графически, или изъ уравненія моментовъ, взятыхъ, подобно предыдущему, относительно точки A .

Положимъ, что векторъ T , фиг. 101, выражаетъ по величинѣ и положенію равнодѣйствующую T .

Если послѣ этого допустимъ, что прямая kb^1 вращается около точки b^1 и займетъ какое-либо положеніе mb^1 , фиг. 101, то всѣ ордонаты $b_1m_1, b_2m_2 \dots b_nm_n$, заключенныя между прямыми bb^1 и mb^1 , фиг. 101, будутъ пропорціональны прежнимъ ордонатамъ $b_1n_1, b_2n_2 \dots b_nm_n$, заключеннымъ между прямыми bb^1 и kb^1 , что легко доказать, разсматривая напри-
мѣръ треугольники фиг. 101:

$$\begin{aligned} b^1b_5n_5 \text{ и } b^1b_5m_5 \text{ и} \\ b^1b_6n_6 \text{ и } b^1b_6m_6. \end{aligned}$$

Изъ подобія $\Delta b^1b_5n_5$ и $b^1b_6n_6$ слѣдуетъ

$$\frac{b_5n_5}{b_6n_6} = \frac{b^1b_5}{b^1b_6} \quad . \quad . \quad . \quad . \quad . \quad . \quad (1)$$

Изъ подобія треугольниковъ $b^1b_5m_5$ и $b^1b_6m_6$ получимъ

$$\frac{b_5m_5}{b_6m_6} = \frac{b^1b_5}{b^1b_6} \quad . \quad . \quad . \quad . \quad . \quad . \quad (2)$$

Изъ (1) и (2) слѣдуетъ

$$\begin{aligned} \frac{b_5n_5}{b_6n_6} &= \frac{b_5m_5}{b_6m_6}, \text{ или} \\ \frac{b_5n_5}{b_6m_6} &= \frac{b_6n_6}{b_6m_6}. \end{aligned}$$

Поэтому при вращеніи прямой kb^1 около точки b^1 будетъ измѣняться только величина равнодѣйствующей T , положеніе же ея будетъ постояннымъ.

На этомъ же основаніи равнодѣйствующая T_1 , равная суммѣ ордонатъ, заключенныхъ между прямыми kb^1 и kh^1 , будетъ постоянна по положенію при вращеніи прямой kb^1 около точки k .

Если прямая kb^1 , фиг. 101, при такомъ вращеніи сдѣлается параллельной прямой bb^1 , то

$$T = \Sigma(bn) \text{ будетъ равна } T_1 = \Sigma(nk),$$

такъ какъ ордонаты bn и nk симметричны относительно средней точки A ; а потому и разстояніе отъ точки A до равнодѣйствующей T будетъ равно разстоянію отъ точки A до равнодѣйствующей T_1 .

Такимъ образомъ, если прямая kb^1 приметъ положеніе mb^1 , вращаясь около точки b^1 , то равнодѣйствующая T ордонатъ, заключенныхъ между bb^1 и kb^1 , не измѣнитъ своего положенія; если затѣмъ прямая mb^1 , фиг. 101, вращаясь около точки m , расположится по mm^1 , то равнодѣйствующая T , ордонатъ, заключенныхъ между mb^1 и mm^1 , остается постоянною по положенію. Слѣдовательно, при переходѣ отъ замыкающей kk^1 къ mm^1 , или обратно, равнодѣйствующія T и T_1 постоянны по положенію. Такимъ образомъ, вообще говоря, извѣстны: по величинѣ и направленію сила $R = \Sigma(bc) = \Sigma(bk)$ и по направленію силы T и T_1 , какъ ея составляющія.

Если прямая kk^1 —искомая замыкающая, т. е. удовлетворяетъ условіямъ:

$$\begin{aligned} 1) \quad \Sigma(kc) &= 0 \\ 2) \quad \Sigma(kc \cdot x) &= 0, \end{aligned}$$

или выведеннымъ выше условіямъ (с) и (d):

$$\begin{aligned} 1) \quad \Sigma(bc) &= \Sigma(bk) \text{ и} \\ 2) \quad \Sigma(bc \cdot x) &= \Sigma(bk \cdot x), \end{aligned}$$

то равнодѣйствующая силъ T и T_1 , должна совпасть и быть равною равнодѣйствующей $R = \Sigma(bc)$.

Поэтому, если назовемъ чрезъ l и l_1 разстоянія отъ R до T и T_1 , то величины T и T_1 опредѣлятся слѣдующими уравненіями:

$$\left. \begin{aligned} T &= R \frac{l_1}{l + l_1} \\ T_1 &= R \frac{l}{l + l_1} \end{aligned} \right\} (a)$$

Графически величины силъ T и T_1 можно опредѣлить слѣдующимъ построениемъ.

Отложимъ $AB = R$, фиг. 105, и проведемъ изъ произвольной точки C прямыя CA и CB . Изъ точки B проведемъ BD параллельную CA и прямую BE параллельную, или совпадающую съ BC . Точки пересѣченій этихъ прямыхъ съ направленіями силъ T и T_1 соединимъ прямою DE . Тогда DE будетъ замыкающею веревочнаго многоугольника EBD . Если поэтому изъ точки C проведемъ прямую Cm параллельную DE , то получимъ отрѣзки

$$Am = T \text{ и}$$

$$mB = T_1.$$

И такъ при любой замыкающей kk^1 всегда можно опредѣлить величины равнодѣйствующей R и двухъ ея составляющихъ T и T_1 .

Если поэтому отрѣзокъ T , представляющій сумму ордонатъ, заключенныхъ между bb^1 и kk^1 , не равенъ величинѣ T , опредѣленной изъ уравненія a или графическимъ построениемъ, то прямая kk^1 не удовлетворяетъ требуемымъ условіямъ. Для полученія искомой замыкающей измѣнимъ отрѣзокъ bk , фиг. 101, на bm такъ, чтобы отношеніе $\frac{bk}{bm}$ равнялось отношенію истиннаго значенія T къ $T = (\Sigma bn)$, соотвѣтствующему замыкающей kk^1 . Тогда, по доказанному выше, всѣ ордонаты (bn) измѣнятся въ томъ же отношеніи, и слѣдовательно новая сумма ихъ

$$T = \Sigma (bm)$$

будетъ равна

$$T = R \frac{l_1}{l + l_1}.$$

Измѣнивъ точно также b^1k^1 на b^1m^1 такъ, чтобы отношеніе $\frac{b^1k^1}{b^1m^1}$ равнялось отношенію значенія $T_1 = R \frac{l}{l + l_1}$ къ T_1 , равному суммѣ ордонатъ между прямыми mb^1 и mm^1 , получимъ замыкающую mm^1 , удовлетворяющую требуемымъ условіямъ:

$$1) \Sigma (mc) = 0 \text{ и}$$

$$2) \Sigma (mc \cdot x) = 0.$$

Для повѣрки перваго условія необходимо убѣдиться, что сумма ордонатъ, заключенныхъ между веревочнымъ многоугольникомъ $bc_1c_2c_3 \dots c_8b^1$ и замыкающей mt^1 , и расположенныхъ выше mt^1 , равна суммѣ ордонатъ, расположенныхъ ниже ея.

При графическомъ построении для большей точности надо выбирать полюсы O_{11} и O^1 , фиг. 103 и 104, такъ чтобы крайніе лучи образовали уголъ около 90° , такъ какъ тогда точнѣе опредѣлятся точки, чрезъ которыя проходятъ равнодѣйствующія R и T .

При полученной замыкающей mt^1 , фиг. 101, условія равновѣсія упругаго свода съ закрѣпленными опорами (см. ур. с) выразятся

$$1) \Sigma (mc) = 0,$$

$$2) \Sigma (mc \cdot x) = 0,$$

$$3) \Sigma (mc - ak) \cdot y = 0.$$

Первыя два условія удовлетворены надлежащимъ положеніемъ замыкающей mt^1 .

Разсмотримъ третье условіе

$$\Sigma (mc - ak) \cdot y = 0, \text{ или}$$

$$\Sigma (mc \cdot y) = \Sigma (ak \cdot y),$$

въ которомъ mc выражаетъ ордонату, заключенную между веревочнымъ многоугольникомъ $c_1c_2c_3 \dots c_8$ и его замыкающею mt^1 ; при этомъ ордонаты, расположенныя выше mt^1 , считаются положительными, а ниже mt^1 — отрицательными; точно также ak представляетъ отрѣзки ордонатъ, лежащія между данною кривою $aa_1a_2a_3 \dots a_8a^1$ и соотвѣтствующею замыкающей kk^1 , фиг. 100.

Значенія

$$\Sigma (mc \cdot y) \text{ и}$$

$$\Sigma (ak \cdot y)$$

можно опредѣлить вычисленіемъ, умножая ордонаты $y_1y_2 \dots y_8$ на соотвѣтственныя значенія mc и ak .

Если окажется, что $\Sigma(mc.y)$ не равно $\Sigma(ak.y)$, то можно достигнуть этого равенства, измѣняя прежнее произвольное полюсное разстояніе многоугольника $bc_1c_2 \dots c_nb^1$, фиг. 101. При этомъ, какъ извѣстно, ордонаты новаго веревочнаго многоугольника измѣнятся обратно пропорціонально измѣненію полюснаго разстоянія, и слѣдовательно, вообще говоря, новыя ордонаты будутъ пропорціональны прежнимъ. Поэтому положеніе равнодѣйствующихъ R и T не измѣнится, и новая замыкающая mt^1 будетъ параллельна прежней замыкающей.

Выразимъ значенія

$$\Sigma (mc.y) \text{ и}$$

$$\Sigma (ak.y)$$

нѣкоторыми отрѣзками ak и ac , фиг. 106, и отложимъ ихъ по прямой ad отъ точки a въ масштабѣ, принятомъ для многоугольника силъ OAB , фиг. 102.

Если окажется, напримѣръ, что

$$\Sigma (ak.y) = ac > \Sigma (mc.y) = ab,$$

то для выполненія условія

$$\Sigma (ak.y) = \Sigma (mc.y) \dots \dots \dots (d)$$

необходимо уменьшить полюсное разстояніе H веревочнаго многоугольника $b c_1 c_2 c_3 \dots c_n b^1$, фиг. 102 и 101, такъ, чтобы было

$$\frac{H}{H_x} = \frac{\Sigma(ak.y)}{\Sigma(mc.y)},$$

гдѣ H_x — искомое, дѣйствительное полюсное разстояніе, удовлетворяющее условію (d).

При уменьшеніи произвольнаго полюснаго разстоянія H новыя ордонаты mc увеличатся, что повлечетъ за собой увеличеніе суммы $\Sigma(mc.y)$, вслѣдствіе чего условіе (d) можетъ быть удовлетворено.

Для опредѣленія графическимъ способомъ новаго полюснаго разстоянія проведемъ чрезъ точку a , фиг. 106, прямую подъ угломъ около 60° и отложимъ на ней отъ точки a прежнее произвольное полюсное разстояніе $H = ae$.

Если соединимъ точки c и e прямою и изъ точки x проведемъ прямую bf параллельную ce , то изъ подобія треугольниковъ abf и ace получимъ

$$\frac{ac}{af} = \frac{ac}{ab}, \text{ или}$$

$$\frac{H}{H_x} = \frac{ac}{ab} = \frac{\Sigma(ak \cdot y)}{\Sigma(mc \cdot y)}.$$

Такимъ образомъ отръзокъ af выразитъ искомое, действительное полюсное расстояние, удовлетворяющее условию

$$\Sigma(ak \cdot y) = \Sigma(mc \cdot y).$$

И такъ условія равновѣсія упругой арки съ закрѣпленными концами:

- 1) $\Sigma(v) = \Sigma(ck - ak) = 0$
- 2) $\Sigma(v \cdot x) = \Sigma(ck \cdot x) - \Sigma(ak \cdot x) = 0$
- 3) $\Sigma(ck - ak) \cdot y = 0,$

сводятся къ условіямъ:

$$\begin{aligned} \text{I. } & \begin{cases} \Sigma(ak) = 0 \\ \Sigma(ak \cdot x) = 0. \end{cases} \\ \text{II. } & \begin{cases} \Sigma(ct) = 0 \\ \Sigma(ct \cdot x) = 0. \end{cases} \\ \text{III. } & \Sigma(ct - ak) \cdot y = 0. \end{aligned}$$

Первому условию

$$\begin{aligned} \Sigma(ak) &= 0 \\ \Sigma(ak \cdot x) &= 0, \end{aligned}$$

всегда удовлетворяетъ единственная замыкающая kk^1 , положеніе которой зависитъ отъ данной дуги свода, фиг. 100.

Второму условию

$$\begin{aligned} \Sigma(ct) &= 0 \\ \Sigma(ct \cdot x) &= 0, \end{aligned}$$

въ общемъ случаѣ можетъ удовлетворить замыкающая mt^1 , фиг. 101, и веревочный многоугольникъ $bc_1^1c_2^1 \dots c_8^1b^1$, построенный при произвольномъ горизонтальномъ напряженіи.

И, наконецъ, третье условіе

$$\Sigma(ct - ak) \cdot y = 0$$

можетъ быть удовлетворено только при опредѣленномъ горизонтальномъ напряженіи H_x .

Для удовлетворенія всѣмъ тремъ условіямъ веревочный многоугольникъ $bc_1c_2c_3 \dots c_8b^1$, фиг. 101, надо преобразовать такъ, чтобы его замыкающая mm^1 совпала за замыкающей kk^1 , и горизонтальное напряженіе H равнялось H_x .

Если изъ полюса O , принятаго для веревочнаго многоугольника $bc, c_2 \dots c_8b^1$, фиг. 102, проведемъ прямую OM параллельно замыкающей mm^1 , то получимъ вертикальныя реакціи опоръ: MA и BM .

Величина этихъ реакцій не зависитъ отъ положенія полюса. Поэтому, если чрезъ точку M проведемъ прямую MO_x , фиг. 102, параллельно замыкающей kk^1 , и отложимъ $MO_x = H_x$, то полюсъ O_x будетъ искомымъ, такъ какъ новая замыкающая будетъ параллельна kk^1 и $H = H_x$.

Верево́чный многоуго́льникъ, построенный при новомъ полюсѣ O_x , представитъ поэтому искомую кривую давленій съ замыкающею kk^1 . При этомъ отношеніе любой ординаты m_1c_1 произвольнаго веревочнаго многоугольника $bc, c_2 \dots c_8b^1$ фиг. 102, къ новой соответственной ординатѣ $k_1c_1^1$ (фиг.

100) будетъ равно отношенію $\frac{H_x}{H}$, т. е.

$$\frac{m_1c_1}{k_1c_1^1} = \frac{H_x}{H}, \text{ или}$$

$$k_1c_1^1 = \frac{m_1c_1 \cdot H}{H_x} \dots \dots \dots (p)$$

Отложивъ отъ точки k_1 книзу отръзокъ равный $k_1c_1^1$, получимъ точку c_1^1 , лежащую на кривой давленій.

Подобнымъ же образомъ опредѣлятся и другія точки $c_2^1, c_3^1, \dots c_8^1$ кривой давленій.

Достаточно опредѣлить одну точку, напримѣръ c_1^1 , и начертить веревочный многоугольникъ $bc_1^1c_2^1 \dots c_8^1b^1$, фиг. 100, пользуясь многоугольникомъ силъ O_xAB , фиг. 102. Для повѣрки построенія слѣдуетъ опредѣлить указаннымъ способомъ (изъ уравненія p) положеніе другихъ точекъ, напримѣръ c_3^1 или c_7^1 . Если онѣ будутъ лежать на веревочномъ многоугольничкѣ $bc_1^1c_2^1 \dots c_8^1b^1$, то все построеніе сдѣлано

Графически положеніе любой точки c_1 кривой давленій можно опредѣлить, пользуясь чертежемъ фиг. 106. Отъ точки a отложимъ отрѣзокъ ah равный ординатѣ m_{c_1} , фиг. 101; точку h соединимъ съ точкой f , фиг. 106, и изъ точки e проведемъ прямую eh параллельную hf ; изъ подобія треугольниковъ получимъ

ЗНАЧИТЬ

Для проверки правильности положения кривой давлений нужно, чтобы сумма отрезков ac^1 , расположенных выше кривой $aa, a_2 \dots a_n a^1$, фиг. 100, равнялась сумме тех же отрезков, расположенных ниже ее, что необходимо для выполнения условия

Точно также сума произведень

для чего сумма произведений абсцисс x на соответственные отрезки ac^1 , расположенные выше кривой $aa_1a_2 \dots a_na^1$, должна равняться сумме произведений x на соответственные отрезки, лежащие ниже той же кривой.

Наконецъ, для удовлетворенія условія

сумма произведений ординат y на соответственные величины ac^1 выше кривой $aa_1a_2 \dots a_na^1$ должна равняться сумме подобных же произведений для ac^1 , расположенных ниже кривой $aa_1a_2 \dots a_na^1$.

Построивъ кривую давлѣній $c^1c^1, c^1_2 \dots c^1_8c^1$, фиг. 100, можно получить напряженіе въ любомъ сѣченіи свода.

Реакція лѣвой опоры свода равна крайнему лучу BO_x ,
фиг. 100 и 102; точка приложенія ея—с. Горизонтальная

H_x и вертикальная V составляющія реакціи равны MO_x и BM . Точно также для правой опоры получимъ реакцію AO_x и ея составляющія H_x и V_1 , приложенныя въ точкѣ c^1 .

Принимая за опоры свода точки пересѣченій a и a^1 средней линіи свода $aa_1a_2 \dots a_8a^1$ съ плоскостями пять, получимъ въ пятахъ вращающіе моменты

$$H_x ac^1 \text{ и } H_x \cdot a^1c^1,$$

величина которыхъ при несимметричной нагрузкѣ свода будетъ различна.

Въ любомъ сѣченіи, напримѣръ rs , фиг. 100, равнодѣйствующая всѣхъ силъ выразится по величинѣ и направленію лучемъ P_5P_4 , фиг. 102. Разложивъ эту равнодѣйствующую на составляющія: T —касательную къ средней линіи свода $aa_1a_2 \dots a_8a^1$, и N —нормальную къ ней, можно опредѣлить наибольшее напряженіе f въ рассматриваемомъ сѣченіи, пользуясь формулой (F), приведенной выше:

$$f = \frac{1}{d} \left(T + \frac{6M}{d} \right), \text{ гдѣ}$$

d —толщина свода въ рассматриваемомъ сѣченіи, M —моментъ равнодѣйствующей R всѣхъ силъ относительно центра того же сѣченія, равный

$$M = Rr = Hv = H \cdot ac,$$

т. е. горизонтальному распуру, умноженному на вертикальное разстояніе отъ центра сѣченія до кривой давленій.

Поэтому

$$f = \frac{1}{d} \left(T + \frac{6 \cdot H \cdot v}{d} \right).$$

Изъ всего изложеннаго видно, что предлагаемый способъ расчета примѣнимъ къ цилиндрическимъ сводамъ любой формы и при какой угодно нагрузкѣ: равномерно распределенной, односторонней, сосредоточенной или подвижной. Во всѣхъ случаяхъ рѣшеніе вопроса сводится къ простымъ построеніямъ веревочнаго многоугольника, удовлетворяющаго извѣстнымъ условіямъ. При этомъ отдѣльныя построенія могутъ быть провѣрены самими простыми арифметическими вычисленіями.

Примѣрный расчетъ цилиндрическаго свода, подверженнаго дѣйствию подвижной нагрузки, приведенъ ниже.

Переходя къ частнымъ случаямъ, можно замѣтить слѣдующее:

I. При симметричной нагрузкѣ кривая давленій симметричнаго свода будетъ также симметрична относительно вертикальной линіи, проходящей чрезъ замокъ свода; поэтому достаточно опредѣлить положеніе кривой давленій для одной половины свода. Замыкающая kk^1 кривой давленій $c_1, c_2, c_3, c_4, \dots, c^1$, фиг. 107, черт. VI, будетъ горизонтальна, и отрѣзокъ ak опредѣлится, раздѣливъ сумму всѣхъ ордонатъ y_1, y_2, \dots, y_n полусвода на число этихъ ордонатъ.

Такимъ образомъ, первое условіе равновѣсія упругой арки съ закрѣпленными концами:

$$I. \begin{cases} \sum (ak) = 0 \\ \sum (ak \cdot x) = 0 \end{cases}$$

будетъ удовлетворено.

Взявъ произвольный полюсъ O , фиг. 108, строимъ для данныхъ силъ многоугольникъ силъ OAB , а затѣмъ веревочный многоугольникъ c_1, c_2, \dots, c_4 для лѣвой половины свода. Замыкающая этого многоугольника, mm^1 , удовлетворяющая второму условію:

$$II. \begin{cases} \sum (mc) = 0 \\ \sum (mc \cdot x) = 0, \end{cases}$$

будетъ горизонтальна вслѣдствіе симметріи многоугольника и опредѣлится такъ же какъ и замыкающая kk^1 . Слѣдовательно, въ данномъ случаѣ построеніе для втораго условія еще болѣе упрощается.

Наконецъ, для удовлетворенія третьяго условія:

$$\sum (mc - ak) y = 0, \text{ или } \sum (mc \cdot y) = \sum (ak \cdot y)$$

надо сравнить суммы произведеній ордонатъ y на соотвѣтственные отрѣзки, mc и ak ; въ случаѣ неравенства этихъ суммъ, надо измѣнить горизонтальное растояніе $H = AO$ фиг. 108, такъ какъ пояснено выше. Опредѣливъ такимъ,

образомъ искомый горизонтальный распоръ, строимъ кривую давленій, какъ и въ общемъ случаѣ.

Примѣръ расчета цилиндрическаго свода съ симметричною нагрузкой приведенъ ниже.

II. Въ любомъ сводѣ, подверженномъ дѣйствию вертикальныхъ силъ, равнодѣйствующая всѣхъ внутреннихъ силъ R увеличивается по мѣрѣ приближенія отъ замка къ опорамъ, что ясно видно изъ разсмотрѣнія любого многоугольника силъ для полусвода, фиг. 102 и 108.

Если допустить, что кривая давленій совпадаетъ съ среднею линіей свода, и напряженіе матеріала f постоянно по всей длинѣ свода, то толщина его d въ любомъ сѣченіи опредѣлится изъ уравненія

$$d = \frac{T}{f},$$

гдѣ T — составляющая R , касательная къ средней линіи.

Слѣдовательно, при переменнѣй величинѣ T толщина свода d будетъ также переменнѣй, увеличиваясь къ опорамъ.

Тогда въ основныхъ уравненіяхъ, выражающихъ условія равновѣсія упругихъ арокъ съ закрѣпленными концами,

$$\left. \begin{aligned} \Sigma \frac{M_s}{EI} &= 0 \\ \Sigma \frac{M_{x.s}}{EI} &= 0 \\ \Sigma \frac{M_{y.s}}{EI} &= 0 \end{aligned} \right\} (A)$$

моментъ инерціи I будетъ величиною переменнѣй и не можетъ быть вынесенъ изъ подъ знака Σ , и уравненія не приведутся къ простѣйшему виду:

$$\left. \begin{aligned} \Sigma M &= 0 \\ \Sigma Mx &= 0 \\ \Sigma My &= 0. \end{aligned} \right\} (B)$$

Въ такомъ случаѣ можно раздѣлить среднюю линію свода a, a_1, a_2, \dots, a_n , фиг. 109, на нѣсколько такихъ дугъ s, s_1, s_2, \dots и т. д., чтобы отношеніе каждой изъ нихъ къ моменту инерціи средняго сѣченія I, I_1 и I_2, \dots было постояннымъ по всей средней линіи. Тогда въ основныхъ уравненіяхъ (A).

величина $\frac{S}{E \cdot I}$ будетъ постоянной, и поэтому уравненія (А) приведутся къ условіямъ (В).

Для этого, опредѣливъ предварительно толщину свода въ замкѣ по формуламъ (см. ниже), отложимъ отъ вершины свода по средней дугѣ элементарную дугу s , фиг. 109. Допустимъ, что моментъ инерціи сѣченія, проходящаго чрезъ средину ея, равенъ I и отношеніе.

$$\frac{s}{I} = n \quad . \quad . \quad . \quad . \quad . \quad . \quad (a)$$

Принимая затѣмъ моментъ инерціи сѣченія $A_1 B_1$, равный I_1 , за моментъ инерціи средняго сѣченія слѣдующей дуги S , получимъ длину ея изъ того же уравненія (a):

$$\frac{S_1}{I_1} = n \quad \text{и т. д.}$$

Если послѣднее дѣленіе не совпадетъ съ пятовымъ швомъ и окажется отъ него въ разстояніи d , то можно вмѣсто прежней дуги s взять

$s + \frac{d \cdot s}{D}$, гдѣ D —длина средней линіи отъ замка до пята.

Незначительными измѣненіями моментовъ инерціи можно пренебречь, считая, что они останутся безъ измѣненія, и тогда изъ общаго уравненія (a) можно опредѣлить длину новыхъ элементарныхъ дугъ. Отношеніе каждой изъ нихъ къ прежней выразится

$$\left(s + \frac{d \cdot s}{D}\right) : s = 1 + \frac{d}{D} = \frac{D + d}{D},$$

т. е. общее удлиненіе равно d и, слѣдовательно, новое крайнее дѣленіе должно совпасть съ пятовымъ швомъ.

Сдѣлавъ нѣсколько попытокъ, можно достигнуть постояннаго отношенія $\frac{S}{I}$ по всей длинѣ средней линіи.

При этомъ, понятно, толщина свода должна измѣняться непрерывно, или по крайней мѣрѣ не очень рѣзко.

Такимъ образомъ, предлагаемый способъ примѣнимъ и къ расчету сводовъ съ переменною толщиной.

Основные уравненія:

$$\Sigma M = 0$$

$$\Sigma M \cdot x = 0$$

$$\Sigma M \cdot y = 0,$$

выведенныя элементарнымъ способомъ, получаютъ также изъ уравненій, выражающихъ условія равновѣсія упругой арки безъ шарнировъ:

$$\begin{aligned} \int \frac{M}{EI} \cdot ds &= 0 \\ - \int \frac{T}{EF} \cdot dy + \int \frac{M \cdot x}{EI} \cdot ds &= 0 \\ \int \frac{T}{EF} \cdot dx + \int \frac{M \cdot y}{EI} \cdot ds &= 0, \end{aligned}$$

гдѣ M —моментъ всѣхъ внѣшнихъ силъ относительно центра разсматриваемаго сѣченія,

T —продольная сила, касательная къ средней линіи,

F —площадь разсматриваемаго сѣченія,

I —моментъ инерціи его,

E —коэффициентъ упругости при сжатіи,

x и y —координаты середины элементарной дуги ds .

Интегрированіе распространено отъ $x = 0$ до $x = l$, гдѣ l —пролѣтъ арки.

(См. Wilh. Kesk, основы расчета строительныхъ сооружений по методамъ теоріи упругости).

Если въ этихъ уравненіяхъ выдѣлить сравнительно ничтожную деформацию, вызываемую силой T , то при постоянныхъ величинахъ ds , E и I получимъ тѣ же условія (B):

$$\Sigma M = 0$$

$$\Sigma Mx = 0$$

$$\Sigma My = 0.$$

Продольная сила T производитъ укорачиваніе средней линіи свода; вліяніе ея разсмотрѣно ниже, въ отдѣлѣ «Вліяніе измѣненій температуры».

Въ основу изложеннаго графическаго способа расчета цилиндрическихъ сводовъ приняты два положенія:

1) матеріалы сводовъ предполагаются упругими при тѣхъ напряженіяхъ, которыя обыкновенно допускаются на практикѣ, и

2) своды разсматриваются какъ упругія арки съ закрѣпленными точками опоры, что подтверждается данными австрійскихъ опытовъ, показавшими, что вращенія у пять вовсе не наблюдалось (своды кирпичный и Монье), или оно было ничтожнымъ (сводъ бутовый. См. сравненіе опытныхъ данныхъ, таблицы №№ 1, 2, 3 и 4).

Способы же расчета, выработанные комиссіей, производившей эти опыты, основаны на допущеніи шарнировъ въ пятахъ сводовъ, чего вовсе нельзя заключить изъ опытныхъ данныхъ.

Для выясненія существеннаго различія между этими двумя противоположными взглядами на основныя условія, въ которыхъ находятся опоры сводовъ, приведены ниже примѣры расчетовъ сводовъ, разсматриваемыхъ съ двухъ точекъ зрѣнія:

- 1) какъ упругія арки съ закрѣпленными опорами, и
- 2) какъ упругія арки съ шарнирами въ опорахъ.

Для большей точности всѣ вычисленія сдѣланы съ тремя десятичными знаками, хотя для практическихъ цѣлей вполне достаточно ограничиться двумя десятичными знаками или однимъ.

Примѣры расчета цилиндрическихъ сводовъ.

1) Допустимъ, требуется опредѣлить положеніе кривой давленій въ симметричномъ цилиндрическомъ сводѣ, представленномъ на фиг. 110 и 111. Пролетъ $l = 15$ метр.; стрѣла подъема $h = 2,5$ метра; толщина свода d постоянна и равна 50, метра.

Сводъ покрытъ слоемъ песку, толщина котораго надъ замкомъ—0,65 метра; у пять 2,50 метра.

Всѣ 1 куб. метра кладки свода и песка—2.000 килогр.

Раздѣлимъ среднюю линію свода a $a_1 \dots a_8$ на 8 равныхъ частей и обозначимъ длину каждой такой элементарной дуги чрезъ $s = 1,03$ метра, а середины ихъ точками $a_1, a_2, a_3 \dots a_8$.

Чрезъ средину пятоваго шва a проведемъ вертикальную

ось X -овъ и горизонтальную ab ,—ось Y -овъ. Ординаты точекъ a_1, a_2, \dots, a_8 назовемъ чрезъ $y_1, y_2, y_3, \dots, y_8$.

Чрезъ точки дѣленій средней линіи проведемъ нормальныя швы d_1, d_2, \dots, d_8 , а затѣмъ изъ верхнихъ ихъ точекъ d_1, d_2, \dots, d_8 —вертикальныя линіи до пересѣченія съ линіей ограничивающей засыпку въ точкахъ $e, e_1, e_2, \dots, e_8, e$.

Двумя плоскостями, перпендикулярными къ оси свода, выдѣлимъ элементарный сводъ, длина котораго равна 1 метру (Сѣченіе ab).

Внѣшними силами, дѣйствующими на этотъ элементарный сводъ, будутъ: вѣсъ засыпки и собственный вѣсъ свода.

Вѣсъ p любого клина $d_4 d_5 f_4 f_5$ пропорціоналенъ площади трапеціи $d_4 d_5 f_4 f_5$; вѣсъ соотвѣтствующей засыпки p' пропорціоналенъ площади трапеціи $e_4 e_5 d_4 d_5$; силы эти пройдутъ чрезъ центры тяжести соотвѣтствующихъ трапецій, фиг. 110.

Равнодѣйствующая P этихъ силъ, приложенныхъ къ любому клину свода, равна ихъ суммѣ $(p + p')$ и направится по вертикали, положеніе которой опредѣлится изъ уравненія моментовъ всѣхъ этихъ силъ относительно точки a (начало координатъ).

Допустимъ, что абсциссы центровъ тяжести разсматриваемыхъ трапецій выразятся x и x' ; если назовемъ разстояніе отъ точки a до P чрезъ X ,

$$\text{то } P \cdot X = p \cdot x + p' \cdot x',$$

$$X = \frac{px + p' \cdot x'}{P} = \frac{px + p' \cdot x'}{(p + p')}.$$

Въ прилагаемой таблицѣ № I вычислены силы, дѣйствующія на клинъ.

Таблица № I.

№ клина.	В ъ с ъ в ъ т о н н а х ъ:		
	Засыпки. <i>p'</i> .	Клина. <i>p</i> .	Общія. <i>P</i> .
1	4,38. 0,86 = 3,76	2,103. 0,5 =	4,79
2	3,40. 0,90 = 3,06	= 1,03	4,09
3	2,55. 0,94 = 2,40		3,43
4	1,95. 0,97 = 1,89		2,92
5	1,50. 1,01 = 1,51		2,54
6	1,25. 1,02 = 1,27		2,30
7	1,12. 1,04 = 1,16		2,19
8	1,20. 1,05 = 1,26		2,29
$R = \Sigma P = 24,55$			

Въ таблицѣ № II вычислены абсциссы *X* равнодѣйствующихъ, приложенныхъ къ клиньямъ свода.

Таблица № II.

№ клина.	$\frac{p.x + p'.x'}{P}$	Абсциссы <i>X</i> въ метрахъ.
1	$\frac{3,76. 0,27 + 1,03. 0,41}{4,79} =$	0,30
2	$\frac{3,06. 1,15 + 1,03. 1,28}{4,09} =$	1,18
3	$\frac{2,40. 2,08 + 1,03. 2,18}{3,43} =$	2,11
4	$\frac{1,89. 3,04 + 1,03. 3,12}{2,92} =$	3,07
5	$\frac{1,51. 4,05 + 1,03. 4,12}{2,54} =$	4,08
6	$\frac{1,27. 5,06 + 1,03. 5,10}{2,30} =$	5,08
7	$\frac{1,16. 6,10 + 1,03. 6,12}{2,19} =$	6,11
8	$\frac{1,26. 7,16 + 1,03. 7,15}{2,29} =$	7,15

Какъ пояснено выше, при симметричной нагрузкѣ достаточно опредѣлить положеніе кривой давленій въ одной половинѣ свода, на примѣръ въ лѣвой.

Первое условіе равновѣсія упругой арки съ закрѣпленными концами:

$$\text{I. } \begin{cases} \Sigma (ak) = 0 \\ \Sigma (ak \cdot x) = 0 \end{cases}$$

будетъ удовлетворено, если проведемъ горизонтальную замыкающую kk^1 такъ, чтобы отрѣзокъ ak , фиг. 110, былъ равенъ

$$\frac{y_1 + y_2 + y_3 + \dots + y_n}{8}, \text{ гдѣ}$$

y_1, \dots, y_n — ординаты среднихъ точекъ a_1, \dots, a_n .

Величины y_1, \dots, y_n приведены въ таблицѣ № III. Для повѣрки построенія сумма ординатъ ($a_1 k_1 + a_2 k_2 + a_3 k_3$), расположенныхъ ниже замыкающей $k^1 k$, должна равняться суммѣ ординатъ ($a_4 k_4 + a_5 k_5 + a_6 k_6 + a_7 k_7 + a_8 k_8$), лежащихъ выше $k^1 k$.

На горизонтальной линіи OA , фиг. 113, отложимъ произвольное полюсное разстояніе $OA = H = 25$ тон.; чрезъ точку A проведемъ вертикальную прямую AB и отложимъ послѣдовательно равнодѣйствующихъ, приложенныя къ клиньямъ свода. Получивъ многоугольникъ силъ OAB , строимъ веревочный многоугольникъ $b c_1 c_2 \dots c_n$ для лѣвой половины свода, фиг. 112.

Для удовлетворенія втораго условія равновѣсія упругаго свода съ закрѣпленными концами:

$$\text{II. } \begin{cases} \Sigma (cm) = 0 \\ \Sigma (cm \cdot x) = 0 \end{cases}$$

проведемъ замыкающую mt^1 , которая будетъ также горизонтальна вслѣдствіе симметріи веревочнаго многоугольника, и при этомъ отрѣзокъ, фиг. 112,

$$mb = \frac{c_1 b_1 + c_2 b_2 + \dots + c_n b_n}{8}.$$

Величины cb приведены въ таблицѣ № III.

Для удовлетворенія третьяго условія:

$$\Sigma (cm - ak)y = 0, \text{ или}$$

$$\Sigma (cm \cdot y) = \Sigma (ak \cdot y)$$

надо сравнить сумму произведений ординат y на mc и y на ak ; если суммы этих произведений окажутся неравными, то надо изменить полюсное расстояние $AO = 25$ тонн так, чтобы достигнуть равенства между указанными суммами произведений.

Въ таблицѣ № III приведены всѣ данныя для опредѣленія положенія замыкающихъ kk^1 , mm^1 и кривой давленій.

Таблица № III.

1	2	3	4	5	6	7	8	9	10
№	y	cb	ak	mc	$ak \cdot y$	$mc \cdot y$	$\frac{c^1k}{cm}$	c^1k	$(c^1k - ak) = v$
0	0	0	-1,700	-2,013	0	0		-1,737	-0,039
1	0,317	0,393	-0,383	-1,616	-0,438	-0,512		-1,396	-0,013
2	0,866	1,050	-0,833	-0,956	-0,721	-0,828		-0,826	+0,007
3	1,350	1,617	-0,347	-0,393	-0,468	-0,530		-0,339	+0,008
		Σ	-2,563	-2,965	-1,627	-1,870		-2,561	—
4	1,750	2,070	+0,040	+0,050	+0,070	+0,087	0,864	+0,047	+0,007
5	2,063	2,433	+0,355	+0,417	+0,728	+0,860		+0,360	+0,007
6	2,287	2,697	+0,587	+0,680	+1,342	+1,555		+0,588	+0,001
7	2,446	2,877	+0,750	+0,863	+1,834	+2,110		+0,746	-0,004
8	2,520	2,966	+0,833	+0,954	+2,099	+2,404		+0,824	-0,009
		Σ	+2,563	+2,967	+6,073	+7,016		+2,565	
Σ	13,599	16,103	0,000	+0,002	+4,446	+5,146		+0,004	+0,004

$$ak = \frac{\Sigma y}{8} = \frac{13,599}{8} = 1,70 \text{ метра}$$

$$bm = \frac{\Sigma cb}{8} = \frac{16,103}{8} = 2,013 \text{ метра.}$$

Въ этой таблицѣ 6-й и 7-й столбцы показываютъ:

$$\Sigma (ak \cdot y) = +4,446$$

$$\Sigma (mc \cdot y) = +5,146.$$

Такъ какъ $\Sigma(ak \cdot y)$ постоянно для данной дуги свода, то для удовлетворенія условія

$$\Sigma (ak \cdot y) = \Sigma (mc \cdot y)$$

надо уменьшить всѣ ординаты mc такъ, чтобы было

$$\frac{\Sigma (ak) \cdot y}{\Sigma (mc) \cdot y} = \frac{4,45}{5,15},$$

а для этого необходимо увеличить полюсное разстояніе такъ, чтобы было

$$\frac{H_x}{25} = \frac{5,15}{4,48} = \frac{\Sigma (mc \cdot y)}{\Sigma (ak \cdot y)},$$

гдѣ H_x — искомый горизонтальный распоръ свода, 25 тоннъ — произвольное полюсное разстояніе для веревочнаго многоугольника $b c_1 c_2 \dots c_n$. $H_x = \frac{25 \cdot 5,146}{4,446} = 28,93$ тоннъ.

Такимъ образомъ, многоугольникъ силъ O^1AB при $O^1A = 28,93$ тоннъ, фиг. 113, будетъ служить новымъ многоугольникомъ силъ для построенія кривой давленій. Замыкающая mm^1 совпадетъ съ kk^1 , и отношеніе любой новой ординаты c^1k кривой давленій къ соотвѣтствующей прежней ординатѣ cm будетъ равно отношенію прежняго, произвольнаго полюснаго разстоянія $H=25$ тоннъ къ новому, дѣйствительному $H_x = 28,93$ тоннъ, такъ какъ при всякомъ преобразованіи веревочнаго многоугольника ординаты, заключенныя между замыкающими и периметрами веревочныхъ многоугольниковъ, обратно пропорціональны полюснымъ разстояніямъ.

$$\text{И такъ} \quad \frac{c^1k}{cm} = \frac{25}{28,93} = 0,864,$$

$$\text{или } c^1k = 0,864 \text{ см.}$$

Столбецъ 9-й таблицы № III даетъ всѣ ординаты кривой давленій. Положеніе ея относительно средней линіи свода опредѣлится разностью

$$(ck - ak) = v.$$

Значенія v приведены въ 10-мъ столбцѣ той же таблицы, причемъ положительныя числа относятся къ точкамъ лежа-

щимъ выше средней линіи свода $aa_1a_2 \dots a^1$, отрицательныя же значенія — къ точкамъ, расположеннымъ ниже ея.

Такимъ образомъ, кривая давленій расположится у пять ниже средней линіи на $-0,039$ метра ($0,04$ метра); въ первомъ швъ ниже ея на $-0,013$ метра; во 2, 3, 4 и 5 швахъ пройдетъ выше средней линіи на $+0,007$ метра, а затѣмъ снова расположится ниже ея, пересѣкая швъ замка на $-0,009$ метра ($0,01$ метра) ниже его центра.

Слѣдовательно, въ общемъ кривая давленій почти совпадетъ съ среднею линіей свода.

Для удовлетворенія основному условію равновѣсія упругаго свода съ закрѣпленными пятнами:

$$\Sigma M = \Sigma (H \cdot v) = 0 \text{ или } \Sigma (v) = 0$$

необходимо, чтобы сумма данныхъ 10-го столбца таблицы № III равнялась или была близка къ нулю. Въ данномъ случаѣ

$$\Sigma (v) = +0,004 \text{ метра.}$$

Правильность всего разсчета можно повѣрить слѣдующимъ образомъ.

Опредѣливъ одну изъ точекъ дѣйствительной кривой давленій, на примѣръ C'_8 , фиг. 110, строимъ дѣйствительную кривую давленій $c'_8c'_7c'_6 \dots c'_1$, фиг. 110, пользуясь новымъ многоугольникомъ силъ $O'AB$, фиг. 113, въ которомъ полюсное разстояніе $O'A = H_x = 28,93$ тон.

При вѣрномъ разсчетѣ всѣ остальные точки кривой давленій $c'_7c'_6 \dots c'_1$ должны лежать на построенной кривой давленій.

Изъ этого примѣра видно, что для опредѣленія положенія кривой давленій въ данномъ сводѣ требуются самыя простыя построенія и несложные ариѳметическіе разсчеты (см. таблицу № III); кривая давленій получается вполне опредѣленною, и при этомъ правильность всѣхъ предыдущихъ построеній и разчетовъ всегда повѣряется послѣднимъ построеніемъ кривой давленій, какъ указано выше. Точность разсчета зависитъ отъ величины тѣхъ частей, на которыя раздѣлена средняя дуга.

При тѣхъ же данныхъ опредѣлимъ теперь положеніе

кривой давлений, рассматривая сводъ какъ упругую арку съ шарнирами въ пятахъ.

Условіе равновѣсія такого свода выразится уравненіемъ

$$\Sigma M . y = 0,$$

или, принимая во вниманіе, что $M = H . v$,

получимъ

$$\Sigma v . y = 0,$$

гдѣ v — вертикальное разстояніе отъ любой точки a средней дуги свода $aa_1a_2 \dots$ фиг. 117, черт. VII, до кривой давлений Изъ чертежа видно, что для любой точки вертикальное разстояніе

$$v = cb - ab = cb - y,$$

гдѣ y — ордината рассматриваемой точки средней дуги свода. Поэтому предыдущее условіе равновѣсія выразится:

$$\begin{aligned} \Sigma M . y &= \Sigma (cb - y) . y, \text{ или} \\ \Sigma (cb . y) &= \Sigma (y)^2 (a) \end{aligned}$$

При допущеніи шарнировъ въ центрахъ пята свода a и a^1 , фиг. 117, кривая давлений должна пройти чрезъ эти точки, такъ какъ иначе въ пятахъ получились бы нѣкоторые вращающіе моменты $H.v$; шарниры же по предположенію не должны оказывать никакого сопротивленія вращенію; поэтому послѣ нѣкоторой деформаціи свода кривая давлений пройдетъ чрезъ шарнирные точки опоры.

Вслѣдствіе этого замыкающая aa^1 кривой давлений пройдетъ чрезъ тѣ же точки a и a^1 . Въ сводѣ же, рассматриваемомъ какъ упругая арка съ закрѣпленными точками опоры, замыкающая кривой давлений не проходитъ, вообще говоря, чрезъ точки опоры, поэтому въ пятахъ получаютъ нѣкоторые вращающіе моменты.

Если нагрузка симметрична относительно вертикальной линіи, проходящей чрезъ вершину свода, то и кривая давлений будетъ также симметрична относительно той же линіи, и слѣдовательно достаточно опредѣлить положеніе кривой давлений для правой половины свода, фиг. 111.

При произвольномъ полюсномъ разстояніи $H = 25$ тон.,

фиг. 113, построимъ веревочный многоугольникъ $bc_1c_2 \dots c_n$, замыкающею котораго будетъ прямая bb^1 , фиг. 112.

Если бы произвольный веревочный многоугольникъ $bc_1c_2 \dots c_nb^1$ выражалъ дѣйствительную кривую давленій, то было бы удовлетворено условіе:

$$\Sigma (cb \cdot y) = \Sigma (y^2),$$

гдѣ cb —ордоната веревочнаго многоугольника, y —ордоната соответствующей точки средней дуги свода.

Для опредѣленія произведеній

$$\Sigma (cb \cdot y) \text{ и } \Sigma (y^2)$$

составлена таблица № IV, изъ 4-го и 5-го столбца ея получимъ:

$$\Sigma (cb \cdot y) = 32,536 \text{ и } \Sigma (y^2) = 27,482.$$

Такъ какъ y —величина вполне опредѣленная и зависитъ отъ формы данной средней дуги свода, то для удовлетворенія условію

$$\Sigma (cb \cdot y) = \Sigma (y^2)$$

необходимо уменьшить всѣ ординаты cb ; а для этого надо увеличить въ томъ же отношеніи полюсное разстояніе H .

Искомое полюсное разстояніе H_x или дѣйствительный горизонтальный распоръ опредѣлится поэтому изъ уравненія

$$\frac{H_x}{H} = \frac{32,536}{27,482}, \text{ откуда}$$

$$H_x = \frac{25.32,536}{27,482} = 29,69 \text{ тон.}$$

Отношеніе каждой новой ординаты $c'b$ дѣйствительной кривой давленій къ прежней cb выразится:

$$\frac{c'b}{cb} = \frac{27,482}{32,536} = 0,844, \text{ откуда}$$

$$c'b = 0,844 \text{ } cb.$$

Значенія всѣхъ ординатъ $c'b$ кривой давленій приведены въ 7-мъ столбцѣ.

Положеніе ея относительно средней дуги свода выразится въ любомъ сѣченіи разностью $(cb - y) = Y$, которая приведена въ 8-мъ столбцѣ таблицы № IV.

Таблица № IV.

1	2	3	4	5	6	7	8
№ шва.	y	cb	$cb \cdot y$	y^2	$\frac{c^1b}{cb}$	c^1b	$c^1b - y = v$
0	0	0	0	0		0	0
1	0,317	0,393	0,124	0,100	0,844	0,332	+ 0,015
2	0,866	1,050	0,909	0,750		0,887	+ 0,021
3	1,350	1,617	2,183	1,822		1,366	+ 0,016
4	1,750	2,070	3,622	3,063		1,748	— 0,002
5	2,063	2,433	5,019	4,244		2,055	— 0,008
6	2,287	2,697	6,168	5,199		2,278	— 0,009
7	2,446	2,877	7,037	5,954		2,431	— 0,015
8	2,520	2,966	7,474	6,350		2,504	— 0,016
		Σ	32,536	27,482		Σ	+ 0,002

Для вѣрности расчета необходимо, чтобы $\Sigma (v)$ приближалась къ нулю; въ данномъ случаѣ

$$\Sigma (v) = - 0,002 \text{ метра.}$$

Данные 8-го столбца показываютъ, что въ пятихъ кривая давленій пройдетъ чрезъ центръ шва; въ первомъ швѣ расположится выше средней линіи на (+ 0,015 метра), во второмъ—на (+ 0,021 метра); въ третьемъ—на (+ 0,016 метра); въ 4-мъ швѣ пройдетъ ниже средней линіи на (— 0,002 метра), и затѣмъ, постепенно понижаясь, пересѣчетъ средней шовъ на (— 0,016 метра) ниже средней линіи.

Сравнивая результаты расчетовъ, получимъ, что при одинаковыхъ условіяхъ горизонтальный распоръ свода, рассматриваемаго какъ упругая арка съ закрѣпленными точками опоры, выразится:

$$H_x = 28,93 \text{ тон. на 1 метръ длины свода.}$$

При допущеніи же шарнировъ въ пятихъ горизонтальный распоръ

$$H'_x = 29,69 \text{ тон. на 1 метръ длины свода.}$$

Разность $H'_x - H_x = 29,69 \text{ тон.} - 28,93 \text{ тон.} = 0,76 \text{ тон.}$

составить $100 \frac{0,76}{28,93} = 2,7\%$,

что для практики не имеет особого значения.

Напряжения в швах в обоих случаях будут также различны.

В замке свода, рассматриваемого как упругая арка с закрепленными точками опоры, наибольшее напряжение f , определится по формуле Навье или по приведенной выше формуле

$$f_1 = \frac{1}{d} \left(T + \frac{6 \cdot H \cdot v}{d} \right),$$

где $d = 50$ сантим. выражает толщину свода,

T — нормальное давление на шов, равное 28,93 тон.,

$H = 28,93$ тон. — горизонтальный распор,

$v = 0,9$ сантим. — вертикальное расстояние от центра рассматриваемого сечения до кривой давлений.

Подставляя значения, получим

$$f_1 = \frac{1}{100,50} \left(28930 + \frac{6 \cdot 28930 \cdot 0,9}{50} \right) = 6,4 \text{ килогр. на кв. сант.}$$

При допущении шарниров в пятиках напряжение в замке

$$f_2 = \frac{1}{100,50} \left(29690 + \frac{6 \cdot 29690 \cdot 1,6}{50} \right) = 7,08 \text{ килогр. на кв. сант.,}$$

что составит $100 \frac{7,08 - 6,4}{6,4} = + 10\%$.

Напряжение же f_3 в пятиках свода с закрепленными точками опоры выразится тою же формулой, причем T равно нормальной составляющей крайнего луча $O'B = 37,90$ тон.

$$f_3 = \frac{1}{100,50} \left(37900 + \frac{6 \cdot 28930 \cdot 3,9}{50} \right) = 10,3 \text{ килогр. на кв. сант.}$$

В свод с шарнирами в опорах кривая давлений пройдет через центр пятового шва, и потому давление распределится равномерно по всему шву; напряжение

$$f_4 = \frac{38350 \text{ килогр.}}{50 \cdot 100} = 7,67 \text{ килогр. на кв. сант.}$$

Слѣдовательно, въ первомъ случаѣ напряженіе въ пятахъ на

$$100 \frac{10,3-7,67}{7,67} = + 34,3\%$$

больше того напряженія, которое явилось бы въ подобной же упругой аркѣ съ шарнирами въ опорахъ.

Въ дѣйствительности условія, въ которыхъ находятся пята сводовъ кирпичныхъ и бутовыхъ, представляютъ нѣчто среднее между условіями опоръ закрѣпленныхъ и шарнирныхъ. Поэтому безопаснѣе вести расчетъ, рассматривая своды какъ упругія арки съ закрѣпленными точками опоръ. Къ этимъ условіямъ еще ближе подходятъ своды бетонные, представляющіе одинъ монолитъ съ опорами.

II) Подвижная нагрузка.

1) Допустимъ, требуется провѣрить прочность кирпичнаго желѣзнодорожнаго моста, фиг. 117—118, черт. VII. Пролетъ $l = 7,5$ метр.; подъемъ $\frac{1}{8}$, равный 1,5 метра; радіусъ внутренней производящей $R = 5,44$ метр.; толщина свода постоянна $d = 0,90$ метра.

Давленіе на каждую изъ трехъ осей паровоза—12 тон.; разстояніе между осями—1,4 метра; разстояніе отъ передняго буфера до 1-й оси—1,15 метра.

Толщина балласта въ замкѣ 0,75 метра

» » у пята 2,5 »

Вѣсъ 1 куб. метра кирпичной кладки на цементѣ. 2 тонны

Вѣсъ 1 куб. метра влажнаго балласта 2 »

Для свода наиболѣе опасною будетъ односторонняя нагрузка, на примѣръ когда паровозъ помѣстится между замкомъ и лѣвою опорой!

Допустимъ, что поперечное сѣченіе пути, проходящее чрезъ вершину (замокъ) свода, выразится чертежемъ, фиг. 117.

Двумя плоскостями AB и CD , нормальными къ шельгѣ свода, выдѣлимъ элементарный сводъ $CDEF$, фиг. 118; сѣкущія плоскости AB и CD , фиг. 117, пусть расположатся симметрично относительно наружнаго рельса и разстояніе между ними равно 1 метру.

Въ каждомъ продольномъ сѣченіи свода, фиг. 117, дав-

леніе балласта, шпаль и рельсовъ распредѣлится равномерно по наружной производящей EF . Давленіе же колесъ паровоза будетъ передаваться своду посредствомъ рельсовъ, шпаль и балласта на какую-нибудь площадь FE , фиг. 117, по нѣкоторому закону, въ зависимости, главнымъ образомъ, отъ качествъ и толщины балласта. Въ виду этой неопредѣленности, будемъ разсматривать давленіе колесъ паровоза на сводъ какъ грузы сосредоточенные, приложенные въ точкахъ касанія колесъ съ рельсами.

Разстояніе между осями шпаль можно принять въ среднемъ. 0,63 метра.

Вѣсъ шпалы сосновой выразится:

$$\frac{3,14 \cdot 0,16^2}{4} \cdot 2,74 \cdot 800 = 38,4 \text{ килогр.}$$

Вѣсъ 1 пог. метра рельса 31 килогр.

Вѣсъ скрѣпленія 4 килогр.

Вѣсъ участка пути, соотвѣтствующаго одной шпаль, выразится:

$$38,4 \text{ килогр.} + 2 \cdot (31 + 4) \cdot 0,63 = 82,5 \text{ килогр.}$$

Вѣсъ балласта, вытѣсняемаго шпалой:

$$\frac{3,14 \cdot 0,16^2}{4} \cdot 2,74 \cdot 2000 = 87,7 \text{ килогр.}$$

Слѣдовательно можно считать, что вѣсъ шпаль и рельсовъ равенъ вѣсу балласта, вытѣсняемаго шпалами. Поэтому приведенная нагрузка отъ верхняго строенія пути, т. е. вѣсъ балласта, шпаль и рельсовъ, выразится грузовой площадью $ABCD$, фиг. 118. Давленія же колесъ паровоза представлять векторы P_1 , P_{II} и P_{III} , равныя 6 тоннъ каждый.

Раздѣлимъ среднюю линію $a a_1 a_2 \dots a_8 \dots a_{16} a^1$ выдѣленнаго элементарнаго свода, фиг. 118, на 16 равныхъ частей. Чрезъ точки дѣленій проведемъ линіи швовъ, раздѣляющія сводъ на 16 клиньевъ. Точку пересѣченія a средней линіи съ лѣвою пятой примемъ за начало координатъ, прямая aa' , и aY —за оси X -овъ и Y -овъ; ордонаты центровъ клиньевъ (точекъ $a_1, a_2, a_3 \dots a_{16}, a^1$) назовемъ чрезъ $y_1, y_2, y_3, \dots y_{16}, y^1$.

Чрезъ точки $a_1, a_2, a_3, \dots a_8$ проведемъ вертикальныя

прямая до пересѣченія съ прямой AC , ограничивающей грузовую площадь.

Силы, дѣйствующія на любой клинъ d, d_3, d_4, d_5 , слѣдующія:

- 1) собственный вѣсъ клина— p ;
- 2) вѣсъ соотвѣтствующей части балласта, шпаль и рельсовъ— p^1 , пропорціональный площади трапеціи d, d_4, e, e_4 , и
- 3) давленіе колеса паровоза $P_{II} = 6$ тоннъ.

Въ прилагаемой таблицѣ № V вычислены величины p и p^1 для всѣхъ клиньевъ свода; въ таблицѣ № VI опредѣлены точки приложенія равнодѣйствующихъ P этихъ силъ p и p^1 .

Таблица № V.

№ клина.	Силы, дѣйствующія на клинъ.		
	Вѣсъ верхняго строенія. p въ тоннахъ.	Вѣсъ клина свода p^1 въ тоннахъ.	Равнодѣйствующая $P=(p+p^1)$.
1	2.2,300.0,455 = 2,093	2.0,900.0,560 = 1,008	3,101
2	2.1,925.0,485 = 1,867		2,875
3	2.1,600.0,520 = 1,664		2,672
4	2.1,325.0,550 = 1,457		2,465
5	2.1,100.0,577 = 1,269		2,277
6	2.0,980.0,590 = 1,097		2,105
7	2.0,815.0,595 = 0,970		1,978
8	2.0,758.0,600 = 0,910		1,918
		$P = \Sigma P =$	19,391

Таблица № VI.

№ яруса.	$\frac{px + p^1x^1}{P}$	Абсциссы X въ метрахъ.
1	$\frac{2,093.0,080 + 1,008.0,212}{3,101} =$	+ 0,015
2	$\frac{1,867.0,395 + 1,008.0,655}{2,875} =$	0,486
3	$\frac{1,664.0,912 + 1,008.1,130}{2,672} =$	0,994
4	$\frac{1,457.1,450 + 1,008.1,632}{2,465} =$	1,524
5	$\frac{1,269.2,005 + 1,008.2,145}{2,277} =$	2,067
6	$\frac{1,097.2,587 + 1,008.2,687}{2,105} =$	2,635
7	$\frac{0,970.3,180 + 1,008.3,242}{1,978} =$	3,212
8	$\frac{0,910.3,778 + 1,008.3,795}{1,918} =$	3,787

Распредѣливъ силы P и P_1 , P_{II} и P_{III} , дѣйствующія на сводъ, по горизонтальной линіи OO^1 фиг. 118, отложимъ по вертикальной прямой AB , фиг. 119, эти силы въ последовательномъ порядкѣ, начиная отъ правой опоры.

При произвольномъ полюсномъ разстояніи $Om=20$ тоннъ построимъ веревочный многоугольникъ съ $c_1 c_2 \dots c_8 \dots c_{16} c^1$, фиг. 120.

Если допустить шарниры въ пятахъ, то замыкающая этого произвольнаго веревочнаго многоугольника должна пройти чрезъ точки c и c^1 , и вертикальныя реакціи опоръ можно получить проведя чрезъ полюсъ O , фиг. 119, прямую OM параллельно замыкающей cc^1 до пересѣченія съ линіей силъ AB въ точкѣ M ; тогда MA выразитъ вертикальную реакцію въ точкѣ a^1 и отрѣзокъ BM —ту же реакцію лѣвой опоры a .

Въ сводѣ, разсматриваемомъ какъ упругая арка съ за-
крѣпленными опорами, получится нѣкоторая другая замы-
кающая kk^1 , фиг. 120. Если допустить, что произвольный
веревочный многоугольникъ $c_1 c_2 \dots c_8 \dots c_{16} c^1$ выра-
жаетъ кривую давлений свода, то для его равновѣсія надо
удовлетворить слѣдующимъ тремъ условіямъ:

$$\begin{aligned} \text{I. } & \begin{cases} \Sigma (ak) = 0 \\ \Sigma (ak \cdot x) = 0 \end{cases} \\ \text{II. } & \begin{cases} \Sigma (ck) = 0 \\ \Sigma (ck \cdot x) = 0 \end{cases} \\ \text{III. } & \Sigma (ck - ak) \cdot y = 0. \end{aligned}$$

При этомъ начало координатъ предполагается въ точкѣ 0.

При данной дугѣ свода $a a_1 a_2 \dots a_8 \dots a_{16} a^1$, фиг. 118,
первому условію всегда можно удовлетворить, проведя за-
мыкающую kk^1 параллельно aa^1 , въ разстояніи ak , равнымъ
средней ордонатѣ.

Въ 1-мъ столбцѣ таблицы № VII приведены значенія всѣхъ
ордонатъ и ихъ сумма для каждой половины дуги свода;

$$ak = \frac{\Sigma(y)}{8} = \frac{8,595}{8} = 1,074 \text{ метра.}$$

Для удовлетворенія II-му условію:

$$\begin{cases} \Sigma (ck) = 0 \\ \Sigma (ck \cdot x) = 0. \end{cases}$$

замѣтимъ, что каждая изъ ордонатъ

$$ck = bc - bk,$$

фиг. 120, поэтому II-е условіе приводится къ двумъ слѣ-
дующимъ:

$$\begin{aligned} 1) & \Sigma (bc - bk) = 0 \\ 2) & \Sigma (bc - bk) \cdot x = 0, \text{ или} \\ & \Sigma (bc) = \Sigma (bk) \text{ и } \dots \dots \dots (c) \\ & \Sigma (bc \cdot x) = \Sigma (bk \cdot x) \dots \dots \dots (d) \end{aligned}$$

Допустимъ, что

$$\Sigma (bc) = \Sigma (bk) = R.$$

Если будемъ разсматривать отрѣзки bc и bk какъ нѣ-
которыя силы и назовемъ чрезъ X_0 и X_0^1 разстояніе ихъ

равнодѣйствующихъ отъ начала координатъ, то изъ уравненія (d) получимъ

$$X_0 \cdot \Sigma (bc) = X_0' \Sigma (bk), \dots \dots \dots (e)$$

такъ какъ моментъ равнодѣйствующей равенъ суммѣ моментовъ силъ составляющихъ.

Принимая во вниманіе уравненіе (c), получимъ изъ уравненія (e) $X_0 = X_0'$, т. е. для удовлетворенія основнымъ условіямъ:

$$\Sigma (ck) = 0 \text{ и}$$

$$\Sigma (ck x.) = 0$$

прямая kk^1 должна расположиться такъ, чтобы равнодѣйствующая $R = \Sigma (bc)$ равнялась по величинѣ равнодѣйствующей $\Sigma (bk)$ и совпала съ ней по направленію, такъ какъ $X_0 = X_0'$.

Величина R опредѣлится простымъ суммированіемъ, фиг. 120:

$$R = 0,325 + 0,852 + 1,350 + 1,800 + 2,075 + 2,295 + 2,385 + 2,342 + 2,242 + 2,092 + 1,900 + 1,640 + 1,328 + 0,750 + 0,715 + 0,150 = 24,241 \text{ метра.}$$

Положеніе ея опредѣлимъ графически. Для удобства построенія начертимъ при произвольномъ полюсномъ разстояніи, фиг. 121 $O_1A_1 = O_1A_2$ многоугольникъ силъ O_1A_1B и $O_1A_2B_2$, отложивъ въ меньшемъ масштабѣ по вертикальной прямой A_1B_1 въ послѣдовательномъ порядкѣ первыя 8 ордонатъ $b_8c_8, b_7c_7, \dots, b_1c_1$, и по прямой A_2B_2 — слѣдующія 8 ордонатъ $b_9c_9, b_{10}c_{10}, \dots, b_{16}c_{16}$. Построимъ затѣмъ веревочный многоугольникъ $d \ d_1d_2 \dots d_{16}d^1$, фиг. 121; точка пересѣченія r крайнихъ его лучей опредѣлитъ положеніе равнодѣйствующей R .

Послѣ этого проведемъ сѣкущую c^1k , фиг. 120, раздѣляющую каждую изъ ордонатъ b_k на двѣ части: bn и nk .

Назовемъ равнодѣйствующія всѣхъ ордонатъ nb и nk чрезъ T и T_1 , т. е. допустимъ:

$$\Sigma (bn) = T$$

$$\Sigma (nk) = T_1.$$

Такъ какъ $\Sigma (bn) + \Sigma (nk) = \Sigma (bk)$, фиг. 120,

$$\Sigma (bk) = \Sigma (bc) = R,$$

то, слѣдовательно, можно разсматривать R какъ равнодѣйствующую параллельныхъ силъ T и T_1 .

Величины $T = \Sigma (bn)$ и $T_1 = \Sigma (nk)$ получатся простымъ суммированіемъ:

$$T = \Sigma (bn) = 1,750 + 1,652 + 1,552 + 1,440 + 1,325 + 1,210 + 1,085 + 0,962 + 0,837 + 0,712 + 0,590 + 0,475 + 0,350 + 0,240 + 0,135 + 0,040 = 14,355.$$

$$T_1 = \Sigma (nk) = 0,018 + 0,070 + 0,175 + 0,227 + 0,282 + 0,350 + 0,405 + 0,470 + 0,530 + 0,590 + 0,645 + 0,705 + 0,755 + 0,812 + 0,860 = 7,014.$$

Положеніе T можно опредѣлить такимъ же построениемъ какъ и для R , продолживъ до пересѣченія крайніе лучи веревочнаго многоугольника $ff_1f_2 \dots f_1f^1$, фиг. 121, построеннаго по многоугольнику силъ O_2CD и $O_2C_1D_1$, въ которомъ $O_2C = O_2C_1$. Получивъ такимъ образомъ точку t , опредѣлимъ T какъ по величинѣ, такъ и по положенію.

Выше было доказано, что при вращеніи замыкающей kk^1 около точки k положеніе T и T_1 не мѣняется; если kk^1 , вращаясь около точки k , сдѣлается параллельной cc^1 , фиг. 120, то при симметричности ордонатъ bk относительно средней линіи MN : $T = T_1$ и будутъ одинаково удалены отъ вертикали MN .

Такимъ образомъ, при произвольной замыкающей kk^1 можно опредѣлить положеніе и величину составляющихъ T и T_1 .

Если прямая kk^1 —искомая замыкающая, то для удовлетворенія условіямъ:

$$\begin{cases} \Sigma (ck) = 0 \\ \Sigma (ck.x) = 0, \text{ или} \\ \Sigma (bc) = \Sigma (bk) \\ \Sigma (bc.x) = \Sigma (bk.x) \end{cases}$$

равнодѣйствующая силъ T и T_1 должна равняться $R = \Sigma (bc)$.

Съ другой стороны, если назовемъ чрезъ l и l_1 разстоя-

нія отъ R до T и T_1 , то величины T и T_1 опредѣляются слѣдующими уравненіями:

$$T = R \frac{l_1}{l + l_1}$$

$$T = R \frac{l_1}{l + l_1}, \text{ гдѣ}$$

$$R = \Sigma (bc) = 24,241.$$

$$l = 1,205.$$

$$l_1 = 1,710, \text{ фиг. 121.}$$

Подставляя эти значенія, получимъ

$$T = \frac{24,241 \cdot 1,710}{2,915} = 14,220.$$

$$T_1 = \frac{24,241 \cdot 1,205}{2,915} = 10,021.$$

При положеніи замыкающей kk^1 , взятомъ въ фиг. 120, было опредѣлено:

$$T = \Sigma (nb) = 14,355$$

$$T_1 = \Sigma (nk) = 7,014.$$

Поэтому замыкающая kk^1 не удовлетворяетъ требуемымъ условіямъ. Для полученія дѣйствительной замыкающей mm^1 , фиг. 120, надо измѣнить отрѣзки ck и c^1k^1 на cm и c^1m^1 такъ, чтобы

$$\frac{ck}{cm} = \frac{14,355}{14,220}, \text{ откуда}$$

$$cm = \frac{1,800 \cdot 14,220}{14,355} = 1,783.$$

$$\frac{c^1k^1}{c^1m^1} = \frac{7,014}{10,021}, \text{ откуда}$$

$$c^1m^1 = \frac{0,875 \cdot 10,021}{7,014} = 1,250.$$

Соединивъ точки m и m^1 , получимъ замыкающую mm^1 , удовлетворяющую условіямъ:

$$\Sigma (cm) = 0$$

$$\Sigma (cm \cdot x) = 0.$$

Для удовлетворенія III-му условію равновѣсія:

$$\Sigma (cm \cdot y) = \Sigma (ak \cdot y) \quad . \quad . \quad . \quad . \quad . \quad (f)$$

служать данныя 5-го и 6-го столбца таблицы VII:

$$\Sigma (ax . y) = + 3,748$$

$$\Sigma (cm . y) = + 5,435.$$

Чтобы получить требуемое равенство (*f*), необходимо увеличить полюсное разстояніе $H = 20$ тон. произвольнаго веревочнаго многоугольника $cc_1c_2 \dots c_{16}c^1$, фиг. 120, на столько, чтобы отношеніе новаго, дѣйствительнаго горизонтальнаго распора H_x къ произвольному H равнялось отношенію

$$\frac{\Sigma (cm . y)}{\Sigma (ak . y)} = \frac{5,435}{3,748} \text{ т. в.}$$

$$\frac{H_x}{H} = \frac{H_x}{20} = \frac{5,435}{3,748}; \text{ отсюда}$$

$$H_x = \frac{20 \cdot 5,435}{3,748} = 29,002 \text{ тон.}$$

Такимъ образомъ, для удовлетворенія всѣмъ тремъ условіямъ равновѣсія:

$$\text{I. } \begin{cases} \Sigma (ak) = 0 \\ \Sigma (ak . x) = 0 \end{cases}$$

$$\text{II. } \begin{cases} \Sigma (cm) = 0 \\ \Sigma (cm . x) = 0 \end{cases}$$

$$\text{III. } \Sigma (cm . y) - \Sigma (ak . y) = 0$$

необходимо преобразовать произвольный веревочный многоугольникъ $cc_1 \dots c_8 \dots c_{16}c^1$, фиг. 120, такъ, чтобы его полюсное разстояніе H_x равнялось 29,002 тон. и замыкающая mt^1 совпала съ замыкающей kk^1 , фиг. 118, удовлетворяющей условію

$$\Sigma (ak) = 0 \text{ и}$$

$$\Sigma (ak . x) = 0.$$

Для этого чрезъ произвольный полюсъ O , фиг. 119, проведемъ прямую OM_1 параллельно замыкающей mt^1 , фиг. 120, до пересѣченія съ линіей силъ AB въ точкѣ M_1 ; тогда M_1A и BM_1 выразятъ вертикальныя реакціи опоръ свода, разсматриваемаго какъ упругая арка съ закрѣпленными опорами. Величина этихъ реакцій не зависитъ отъ положенія полюса; поэтому, проведя чрезъ точку M_1 , фиг. 119, прямую MO_x параллельно замыкающей kk^1 , фиг. 118, и отложивъ $M_1O_x = H_x = 29,002$ тон., получимъ искомый полюсъ O_x .

Для построения дѣйствительной кривой давленій необходимо опредѣлить еще одну изъ ея точекъ. Отношеніе любой ордонаты $c'_6 k_6$ кривой давленій, фиг. 118, къ прежней ордонатѣ $c_6 m_6$ произвольнаго веревочнаго многоугольника, фиг. 120, равно обратному отношенію полюсныхъ разстояній, т. е.

$$\frac{c'_6 k_6}{c_6 m_6} = \frac{H}{H_2} = \frac{20}{29,002} = 0,691,$$

или:

$$c'_6 k_6 = 0,691 \cdot c_6 m_6 = 0,691 \cdot 0,680 = + 0,468.$$

Отложивъ отъ точки k_6 кверху отъ замыкающей kk' отрезокъ $c'_6 k_6 = 0,468$ метра, получимъ точку c'_6 , лежащую на дѣйствительной кривой давленій.

Послѣ этого, пользуясь новымъ многоугольникомъ силъ $Ox AB$, фиг. 119, можно построить дѣйствительную кривую давленій $c c'_1 c'_2 \dots c'_{16} c'_1$.

Значенія всѣхъ ордонатъ ея приведены въ 8-мъ столбцѣ таблицы № VII.

Таблица № VII.

1	2	3	4	5	6	7	8	9
№ шва.	y	ak	cm	$ak.y$	$cm.y$	$\frac{c^1k}{cm}$	c^1k	$(c^1k - y) = v$
Линия опоры. 0	0	-1,074	-1,783	0	0		-1,281	-0,157
1	0,187	-0,886	-1,500	-0,166	-0,280	0,691	-1,035	-0,119
2	0,535	-0,543	-0,900	-0,290	-0,481		-0,622	-0,378
3	0,840	-0,238	-0,375	-0,200	-0,315		-0,259	-0,021
4	1,092	+0,021	+0,112	+0,023	+0,122		+0,077	+0,056
5	1,302	+0,220	+0,425	+0,298	+0,553		+0,294	+0,065
6	1,457	+0,387	+0,680	+0,564	+0,991		+0,469	+0,082
7	1,565	+0,489	+0,805	+0,765	+1,260		+0,556	+0,067
8	1,617	+0,544	+0,800	+0,880	+1,293		+0,553	+0,009
9	1,617	+0,544	+0,737	+0,880	+1,192		+0,509	-0,035
10	1,565	+0,489	+0,625	+0,765	+0,978		+0,432	-0,057
11	1,457	+0,387	+0,468	+0,564	+0,682		+0,323	-0,064
12	1,302	+0,229	+0,245	+0,298	+0,319		+0,169	-0,060
13	1,092	+0,021	-0,025	+0,023	-0,027		-0,017	-0,038
14	0,840	-0,238	-0,340	-0,200	-0,286		-0,235	+0,003
15	0,535	-0,543	-0,682	-0,290	-0,365		-0,471	+0,072
16	0,187	-0,886	-1,075	-0,166	-0,201		-0,742	+0,142
Σ	17,190		$\pm 0,000$	+3,748	+5,435		+0,001	-0,006
Правая опора. 0	0	-1,674	-1,250	0	0		-0,864	+0,210

Положение кривой давлений относительно средней дуги свода определится разностью, $(c^1k - ak) = v$, значение которой приведено в 9-м столбце той же таблицы.

Для правильности расчета сумма $\Sigma(v)$ должна приближаться к нулю; в данном случае

$$\Sigma(v) = -0,006 \text{ метра.}$$

Такимъ образомъ, кривая давленій въ лѣвой опорѣ пройдетъ на (— 0,157 метра) ниже центра пяты и въ правой— на (+ 0,210 метра) выше центра правой пяты.

Реакціи опоръ выразятся крайними лучами многоугольника силъ, фиг. 119:

$$1) O_x B = 45,720 \text{ тон. и}$$

$$2) O_x A = 36,200 \text{ тон.}$$

2) Если разсматривать сводъ при данныхъ условіяхъ какъ упругую арку съ шарнирами въ опорахъ, то кривая давленій должна пройти чрезъ центры пятовыхъ швовъ.

Если поэтому при томъ же произвольномъ полюсѣ O , фиг. 119, построимъ веревочный многоугольникъ $cc_1c_2 \dots c_{16}c^1$ и примемъ его за кривую давленій, то замыкающая ея cc^1 пройдетъ чрезъ точки c и c^1 . Вертикальныя реакціи опоръ получатся, если чрезъ полюсъ O , фиг. 119, проведемъ прямую OM параллельно замыкающей cc^1 до пересѣченія съ линіей силъ AB въ точкѣ M ; тогда реакція правой опоры a^1 равна отрѣзку MA , лѣвой — BM , т. е. реакціи опоръ свода выразятся такъ же какъ и вертикальныя реакціи силъ, приложенныхъ къ нѣкоторой балкѣ, свободно лежащей на тѣхъ же опорахъ a и a^1 .

Въ сводѣ, разсматриваемомъ какъ упругая арка съ закрѣпленными точками опоры, вертикальныя реакціи, какъ пояснено выше, выразятся отрѣзками M_1A и BM_1 при другой замыкающей mm^1 , фиг. 120 и 119.

Въ сводѣ, разсматриваемомъ какъ упругая арка съ шарнирами въ опорахъ a и a^1 , давленіе въ пятахъ распределится равномерно по всему шву; въ сводѣ же съ закрѣпленными точками опоры, фиг. 118, кривая давленій пересѣчетъ пятовые швы въ точкахъ p и p^1 , причемъ

$$ap = 0,10 \text{ метра}$$

$$a^1p^1 = 0,185 \text{ метра;}$$

вслѣдствіе чего въ пятахъ явятся вращающіе моменты: $M = H \cdot v$ и $M^1 = H v^1$, гдѣ H или горизонтальный распоръ равенъ 29,002 тоннъ, а v и v^1 —вертикальныя разстоянія отъ пятовыхъ швовъ до кривой давленій:

$v = (-0,157 \text{ метра})$ и $v^1 = +0,210 \text{ метра}$.

Слѣдовательно условія, въ которыхъ находится сводъ при двухъ подобныхъ предположеніяхъ, совершенно различны.

Положеніе кривой давленій при допущеніи шарнировъ въ пятахъ опредѣлится подобно примѣру съ нагрузкой симметричной.

Построивъ произвольный веревочный многоугольникъ $cc_1c_2 \dots c_{16}c^1$, фиг. 120, получимъ слѣдующія условія равновѣсія свода:

$$\begin{aligned}\Sigma M \cdot y &= 0, \text{ или} \\ \Sigma (cb - y) \cdot y &= 0, \text{ или} \\ \Sigma (cb \cdot y) &= \Sigma (y^2),\end{aligned}$$

гдѣ cb —ордоната произвольнаго веревочнаго многоугольника, а y —ордоната соотвѣтствующей точки средней дуги свода.

Данныя для расчета свода приведены въ таблицѣ № VIII.

Таблица № VIII.

1	2	3	4	5	6	7	8
№ шва.	y	cb	y^2	$cb \cdot y$	$\frac{c^1b}{cb}$	c^1b	$(c^1b - y) = v$
0	0	0	0	0		0	0
1	0,187	0,325	0,035	0,061		0,228	+ 0,041
2	0,535	0,845	0,286	0,452		0,594	+ 0,059
3	0,840	1,338	0,706	1,124		0,941	+ 0,101
4	1,092	1,800	1,192	1,965		1,265	+ 0,173
5	1,302	2,075	1,695	2,702		1,459	+ 0,157
6	1,457	2,295	2,123	3,344		1,613	+ 0,156
7	1,565	2,382	2,449	3,728		1,674	+ 0,109
8	1,617	2,340	2,615	3,784	0,703	1,645	+ 0,028
9	1,617	2,242	2,615	3,625		1,576	- 0,041
10	1,565	2,092	2,449	3,274		1,471	- 0,094
11	1,457	1,895	2,123	2,761		1,332	- 0,125
12	1,302	1,630	1,695	2,122		1,146	- 0,156
13	1,092	1,330	1,192	1,452		0,935	- 0,157
14	0,840	0,988	0,706	0,830		0,695	- 0,145
15	0,535	0,605	0,286	0,324		0,425	- 0,110
16	0,187	0,187	0,035	0,035		0,131	- 0,056
0	0	0	0	0		0	0
		Σ	22,202	31,583			

Изъ 4-го и 5-го столбца этой таблицы получимъ:

$$\Sigma (y)^2 = 22,202 \text{ и}$$

$$\Sigma (cb \cdot y) = 31,583.$$

Дѣйствительный горизонтальный распоръ H_x опредѣлится изъ уравненія

$$\frac{H}{H_x^1} = \frac{22,202}{31,583}, \text{ откуда}$$

$$H_x^1 = \frac{20,31,583}{22,202} = 28,452 \text{ тон.}$$

Положеніе кривой давленій относительно средней линіи выразится разностью $(c'b - y) = v$, или данными 8-го столбца, показывающими, что въ лѣвой половинѣ свода кривая давленій расположится выше средней линіи (см. пунктиръ фиг. 118), а въ правой—ниже ея, т. е. совершенно иначе чѣмъ въ сводѣ съ закрѣпленными опорами (см. таблицу № VII; графа 9-я). Вслѣдствіе этого и напряженія въ кладкѣ свода будутъ въ обоихъ случаяхъ различны.

Разность горизонтальныхъ распоровъ на 1 метръ длины свода выразится:

$$H - H_x = 29,002 \text{ тон.} - 28,452 \text{ тон.} = 0,55 \text{ тон.}$$

Наибольшее напряженіе въ лѣвой пятѣ для свода съ закрѣпленными опорами

$$f = \frac{1}{100.d} \left(T + \frac{6.H.v}{d} \right),$$

гдѣ d —толщина свода=90 сантим.;

T —нормальная составляющая реакціи лѣвой опоры, равная 45,400 тон.;

H —горизонтальный распоръ=29,002 тон. и

v —вертикальное разстояніе отъ центра разсматриваемаго шва до кривой давленій, равное 15,7 сантим.

Подставляя эти значенія, получимъ

$$f = \frac{1}{100.90} \left(45400 + \frac{6.29002.15,7}{90} \right) = 8,4 \text{ килогр. на кв. сант.}$$

Въ правой пятѣ

$$f_1 = \frac{1}{100.90} \left(35850 + \frac{6.29002.21}{90} \right) = \text{килогр. на кв. сант.}$$

При допущеніи шарнировъ въ опорахъ получимъ напряженія:

$$\text{въ лѣвой пятѣ: } f_2 = \frac{43500}{100.90} = \text{килогр. на кв. сант.}$$

$$\text{въ правой: } f_3 = \frac{36050}{100.90} = \text{килогр. на кв. сант.}$$

Такимъ образомъ ясно видна разница въ распредѣленіи напряженій въ кладкѣ свода, разсматриваемаго какъ упругая арка съ закрѣпленными точками опоры, или съ шарнирами въ пятахъ.

Величины ордонатъ дѣйствительной кривой давленій и горизонтальный распоръ можно опредѣлить графически, фиг. 122, отложивъ въ масштабѣ силъ отрѣзокъ $mc = H = 20$ и отрѣзки $mA = \Sigma(ak.y) = 3,748$ и $mB = \Sigma(ct.y) = 5,435$ въ масштабѣ принятомъ для линий. Проведя чрезъ точку C прямую CD параллельно прямой AB , получимъ $mD = H_x = 29,002$ тон., что слѣдуетъ изъ подобія треугольниковъ mAB и mCD , въ которыхъ $\frac{H_x}{H} = \frac{\Sigma(ct.y)}{\Sigma(ak.y)}$.

Отложивъ затѣмъ отрѣзокъ mc_s равный ордонатѣ $m_s c_s$ произвольнаго веревочнаго многоугольника и проведя прямую $c_s c'_s$ параллельно прямой CD , получимъ отрѣзокъ mc'_s , равный искомой ордонатѣ кривой давленій $c'_s m$, такъ какъ $\frac{mc'_s}{mc_s} = \frac{H}{H_x}$.

Вліяніе температуры и деформациі опоръ на прочность сводовъ.

Перемена температуры измѣняетъ длину средней дуги свода. Незыблемыя опоры сопротивляются всякому измѣненію пролета; поэтому при удлиненіи дуги свода отъ повышения температуры опоры испытываютъ болѣе большой горизонтальный распоръ, производя въ свою очередь обратное давленіе на пяты свода. При этомъ перемены температуры не могутъ измѣнить вертикальныхъ реакцій опоръ, такъ какъ всѣ вертикальныя силы, выражающія вѣсъ свода и нагрузки, постоянны и не зависятъ отъ температуры. Поэтому измѣненія температуры могутъ вызвать только нѣкоторый дополнительный горизонтальный распоръ H_d .

Въ упругой аркѣ съ шарнирами въ опорахъ при повышеніи температуры являются горизонтальныя реакціи опоръ, направленные внутрь, къ срединѣ свода, фиг. 123. Средняя дуга свода ACB удлиняется, и свободно вращаясь въ точкахъ A и B , стремится быть объемлющей $AC'B$ относительно первоначальной дуги ACB .

Въ упругой аркѣ съ закрѣпленными концами вращенія въ пятахъ быть не можетъ; поэтому при удлиненіи дуги въ

пятахъ является нѣкоторое сопротивленіе вращенію, направленіе котораго обозначено на фиг. 123 стрѣлками.

Если вообразимъ симметричный цилиндрическій сводъ съ среднею линіей $aa_1a_2 \dots a_8a^1$, фиг. 124, то при повышеніи температуры въ пятѣ a явится нѣкоторый дополнительный горизонтальный распоръ H_t и пара силъ $H_t.ak$ съ плечемъ ak , стремящаяся произвести вращеніе слѣва направо (внутри). Если правая половина свода находится въ такихъ же условіяхъ какъ и разсмотрѣнная лѣвая, то въ опорѣ a^1 явятся такая же горизонтальная сила H_t и пара силъ $H_t.a^1k^1$, направленная справа налево, т. е. къ срединѣ свода; при этомъ изъ равенства

$$H_t.ak = H_t.a^1k^1$$

слѣдуетъ, что

$$ak = a^1k^1,$$

т. е. прямая kk^1 будетъ параллельна прямой aa^1 .

Въ упругой аркѣ съ закрѣпленными концами уголъ между касательными, проведенными къ средней дугѣ въ точкахъ a и a^1 , долженъ быть постояннымъ (см. графическій способъ расчета сводовъ), что выражается условіемъ

$$\sum \Delta a = \sum \frac{M.s}{E.I} = 0,$$

или, при постоянныхъ s, E и I ,

$$\sum M = 0,$$

т. е. сумма моментовъ всѣхъ внѣшнихъ силъ, взятыхъ относительно центровъ всѣхъ поперечныхъ сѣченій, должна равняться нулю.

Раздѣлимъ среднюю дугу полусвода на нѣсколько равныхъ частей, напримѣръ на 8, фиг. 124; чрезъ середины ихъ $a_1, a_2 \dots a_8$ проведемъ ординаты $y_1, y_2 \dots y_8$, пересѣкающіяся съ прямой kk^1 въ точкахъ $k_1, k_2 \dots k_8$ и съ прямой aa^1 —въ точкахъ $b_1, b_2 \dots b_8$.

Въ любой точкѣ a_2 , не нарушая условій равновѣсія, можно вообразить двѣ противоположныя горизонтальныя силы, равныя H_t . Тогда въ точкѣ a_2 будетъ дѣйствовать

горизонтальная сила H_t , направленная къ срединѣ свода, и пара силъ $H_t \cdot a_2 b_2$.

Моментъ M_2 всѣхъ силъ относительно точки a_2 выражится какъ разность моментовъ

$$H_t \cdot ak - H_t \cdot a_2 b_2 = H_t (ak - a_2 b_2) = H_t \cdot a_2 k_2.$$

Такъ что вообще $M = H_t \cdot ak$,

и моментъ этотъ будетъ считаться положительнымъ, если отрѣзокъ ak расположенъ выше прямой kk^1 , и отрицательнымъ, если ниже ея.

Для удовлетворенія условію $\sum M = \sum ak = 0$ всегда можно провести прямую kk^1 такъ, чтобы сумма отрѣзковъ $\sum ak$, расположенныхъ выше ея, равнялась суммѣ отрѣзковъ $\sum ak$, лежащихъ ниже этой прямой. Для этого, какъ указано выше, разстояніе между параллельными прямыми kk^1 и aa^1 должно равняться суммѣ всѣхъ ордонатъ $y_1 + y_2 + y_3 \dots + y_n$ раздѣленной на число этихъ ордонатъ n .

Такимъ образомъ, въ любой точкѣ a_6 , взятой на средней линіи свода, фиг. 124, явятся при повышеніи температуры: 1) дополнительный горизонтальный распоръ H_t , направленный къ срединѣ свода, и 2) пара силъ $H_t \cdot a_6 k_6$.

Одновременно съ этимъ длина средней дуги свода ACB увеличится вслѣдствіе расширенія матеріала кладки, и потому при неподвижныхъ опорахъ A и B дуга ACB измѣнитъ свою кривизну, стремясь быть объемлющею относительно первоначальной кривой ACB ; вслѣдствіе этого всѣ точки кривой $aa_1 a_2 \dots a_6$, фиг. 124, при повышеніи температуры стремятся перемѣститься внаружу.

Пара силъ $H_t \cdot a_6 k_6$ въ любой точкѣ a_6 противоѣдствуетъ такому перемѣщенію точекъ и стремится произвести обратный изгибъ средней линіи свода, вращая любую точку a_6 около точки опоры a къ срединѣ свода.

Силу H_t , т. е. дополнительный горизонтальный распоръ, можно разложить на двѣ составляющія:

1) касательную T_t къ средней дугѣ свода въ рассматриваемой точкѣ, и

2) N_t — нормальную къ ней въ той же точкѣ.

Силы эти выразить дополнительные силы, продольную и перерѣзывающую.

Придавъ ихъ къ силамъ T и N , являющимся при дѣйствіи нагрузки, можно получить полныя напряженія внутреннихъ силъ въ любомъ сѣченіи свода.

При пониженіи температуры всѣ дополнительные силы H_t, T_t, N_t , и пары силъ $H_t.ak$ будутъ имѣть обратное направление.

И такъ, если обозначимъ чрезъ H_1 горизонтальный распоръ свода при нормальной температурѣ, а чрезъ H_t — дополнительный горизонтальный распоръ вслѣдствіе измѣненія температуры на t^0 , то полный горизонтальный распоръ $H = H_1 + H_t$, причемъ плюсъ относится къ повышенію температуры, минусъ — къ пониженію.

Опредѣлимъ величину дополнительнаго горизонтальнаго распора H_t .

При повышеніи температуры на t^0 длина каждой элементарной дуги s средней линіи свода $aa_1a_2 \dots a_n$, фиг. 124, увеличится на $\Delta s = s \cdot \alpha \cdot t$, гдѣ α — коэффициентъ линейнаго расширенія матеріала свода. Горизонтальная проекція этого удлиненія Δs выразить соотвѣтствующее горизонтальное перемѣщеніе точки опоры a въ томъ случаѣ, если бы опоры a и a^1 не оказывали никакого сопротивленія измѣненію длины пролета. Поэтому сумма горизонтальныхъ проекцій $h = \Sigma$ (гор. проек. Δs) = Σ (гор. проек. $s \cdot \alpha \cdot t$) \dots (а) представить виртуальное измѣненіе пролета, т. е. то воображаемое горизонтальное перемѣщеніе опоръ, которое возбудило бы въ кладкѣ свода тѣ же напряженія, какъ повышение температуры на t^0 .

Изъ уравненія (а) $h = \Sigma$ (гор. проек. $s \cdot \alpha \cdot t$) получимъ

$$h = \alpha \cdot t \Sigma$$
 (гор. проек. s) = $\alpha \cdot t \cdot L$,

гдѣ L — горизонтальная проекція средней дуги свода $aa_1a_2 \dots a^1$, или разстояніе между центрами пятъ.

При изложеніи графическаго способа расчета сводовъ было выведено условіе равновѣсія упругой арки съ закрѣпленными концами:

$$h = \frac{2s}{E \cdot I} \cdot \Sigma My \dots \dots \dots (1)$$

гдѣ h — горизонтальное перемѣщеніе точекъ опоръ,
 s — длина элементарной дуги свода,

E и I коэффициентъ упругости матеріала при сжатіи и моментъ инерціи поперечнаго сѣченія свода относительно средней линіи,

M — моментъ внѣшнихъ силъ относительно центра разсматриваемаго поперечнаго сѣченія,

y — ордоната средней точки дуги s .

ΣMy взято при симметричномъ сводѣ для одной половины его и выразится точно также и для другой.

Величины моментовъ M , какъ пояснено выше, выражаются для послѣдовательныхъ точекъ a_1, a_2, a_3 произведеніями

$$H_1 \cdot a_1 k_1, H_2 \cdot a_2 k_2 \text{ и т. д.}$$

Поэтому уравненіе . . (1) можно представить:

$$h_t = L \cdot \alpha \cdot t = \frac{2s}{E \cdot I} \cdot H_t \Sigma (ak \cdot y) \quad . \quad . \quad (2)$$

Если извѣстны величины

L, α, t, s, E, I и $\Sigma (ak \cdot y)$, то изъ уравненія (2) можно опредѣлить H_t :

$$H_t = \frac{L \cdot \alpha \cdot t \cdot E \cdot I}{2s \cdot \Sigma (ak \cdot y)} \quad . \quad . \quad . \quad . \quad . \quad . \quad (3)$$

Сумму произведеній $\Sigma (ak \cdot y)$ можно получить вычисленіемъ или слѣдующимъ графическимъ построеніемъ.

Для части дуги, расположенной ниже замыкающей kk_3 , фиг. 125, опишемъ окружности, принимая за діаметры отрѣзки $k_1 b_1, k_2 b_2$ и т. д.; точки пересѣченій горизонтальныхъ прямыхъ, проведенныхъ чрезъ точки $a_1, a_2 \dots$, съ соотвѣтствующими окружностями опредѣлять отрѣзки $a_1 d_1, a_2 d_2, a_3 d_3$, которые будутъ средними пропорціональными между соотвѣтствующими отрѣзками:

$$\begin{aligned} a_1 b_1 \text{ и } a_1 k_1 \\ a_2 b_2 \text{ и } a_2 k_2 \\ a_3 b_3 \text{ и } a_3 k_3. \end{aligned}$$

Выразивъ поэтому всѣ отрѣзки въ масштабъ, принятомъ для дуги свода, получимъ

$$\left. \begin{aligned} \overline{a_1 d_1}^2 &= a_1 k_1 \cdot a_1 h_1 \\ \overline{a_2 d_2}^2 &= a_2 k_2 \cdot a_2 h_2 \\ \overline{a_3 d_3}^2 &= a_3 k_3 \cdot a_3 h_3 \end{aligned} \right\} \dots \dots \dots (a)$$

Если отложимъ, фиг. 126, отрѣзокъ $a_1 d_1$ и проведемъ перпендикуляръ къ нему $\overline{d_1 d_2} = a_2 d_2$, то изъ прямоугольнаго треугольника $a_1 d_1 d_2$ получимъ

$$\overline{a_1 d_2}^2 = \overline{a_1 d_1}^2 + \overline{d_1 d_2}^2 ; \dots \dots \dots (b)$$

если затѣмъ проведемъ къ гипотенузѣ $a_1 d_2$ перпендикуляръ $\overline{d_2 d_3} = a_3 d_3$, то

$$\overline{a_1 d_3}^2 = \overline{a_1 d_2}^2 + \overline{d_2 d_3}^2 \dots \dots \dots (c)$$

или, принимая во вниманіе уравненія (a), и (b), получимъ

$$\overline{a_1 d_3}^2 = \overline{a_1 d_1}^2 + \overline{d_1 d_2}^2 + \overline{d_2 d_3}^2 = a_1 k_1 \cdot y_1 + a_2 k_2 \cdot y_2 + a_3 k_3 \cdot y_3,$$

слѣдовательно квадратъ отрѣзка $\overline{a_1 d_3}^2$ выразитъ сумму отрицательныхъ произведеній $\{ - \Sigma (ak \cdot y) \}$.

Перейдемъ теперь къ части дуги $a_4 a_8$, расположенной выше замыкающей kk_8 , фиг. 125.

Построимъ окружности на отрѣзкахъ $b_5 a_5$, $b_6 a_6$ и т. д. какъ на діаметрахъ и соединимъ точки a_5 , a_6 , a_7 , a_8 съ $\overline{d_5}$, $\overline{d_6}$, $\overline{d_7}$, $\overline{d_8}$, т. е. съ точками пересѣченій этихъ окружностей съ замыкающею kk_8 .

Сдѣлавъ такое же построеніе какъ для отрѣзковъ дуги aa_4 , фиг. 127 черт. VIII, получимъ

$$\begin{aligned} \overline{a_5 d_8}^2 &= \overline{a_5 d_5}^2 + \overline{a_6 d_6}^2 + \overline{a_7 d_7}^2 + \overline{a_8 d_8}^2 = \\ &= a_5 k_5 \cdot y_5 + a_6 k_6 \cdot y_6 + a_7 k_7 \cdot y_7 + a_8 k_8 \cdot y_8. \end{aligned}$$

Значитъ квадратъ отрѣзка $a_5 d_8$ $\overline{a_5 d_8}^2$ равенъ суммѣ положительныхъ произведеній $\{ + \Sigma (ak \cdot y) \}$.

Если поэтому построимъ на отрѣзкѣ $a_1 d_3$, фиг. 126, прямоугольный треугольникъ $a_1 d_3 a_8$, гипотенуза котораго $a_1 a_8 = a_5 d_8$, то получимъ

$$\overline{d_3 a_8}^2 = \overline{a_5 d_8}^2 - \overline{a_1 d_3}^2 = \Sigma (ak \cdot y),$$

т. е. искомую сумму произведений $\Sigma (ak \cdot y)$, для всей дуги a $a_1, a_2 \dots a_8$, для чего надо выразить отръзокъ $d_3 a_8$ въ масштабѣ, принятомъ для дуги свода, и взять квадратъ полученнаго числа.

Такимъ образомъ, изъ уравненія (3) можно опредѣлить дополнительный горизонтальный распоръ H_t при измѣненіи температуры на t° относительно той температуры, при которой былъ возведенъ сводъ.

При повышеніи температуры, какъ пояснено выше, въ точкахъ опоры a и a^1 появятся: нѣкоторыя горизонтальныя силы H_t и пары силъ $H_t \cdot ak$.

Опоры, сопротивляясь увеличенію пролета, произведутъ обратныя давленія на пяты свода H_t , направленныя къ срединѣ свода.

Подобныя же горизонтальныя силы H , направленныя къ срединѣ свода, являются въ пятахъ свода при уменьшеніи пролета, вслѣдствіе осадки или движенія опорныхъ стѣнъ.

Слѣдовательно повышение температуры аналогично съ уменьшеніемъ длины пролета.

При пониженіи температуры, или при аналогичномъ уменьшеніи длины дуги свода вслѣдствіе сжатія кладки, или, наконецъ, при дѣйствительномъ удлиненіи пролета отъ неправильной осадки опоръ, должны появиться въ точкахъ опоры a и a^1 дополнительные горизонтальныя силы H_t , направленныя внаружу, и пары силъ $H_t \cdot ak$ обратнаго знака сравнительно съ предъидущимъ случаемъ.

При выводѣ основныхъ условій равновѣсія сводовъ (см. графическій способъ расчета сводовъ) не была принята во вниманіе касательная сила T , направленная по средней линіи свода. Производя продольное сжатіе, сила T уменьшаетъ длину дуги свода и вызываетъ въ кладкѣ однѣ упругія деформации, или же и остающіяся, какъ напримѣръ при раскружачиваніи сводовъ, когда растворъ не вполне затвердѣлъ. Слѣдовательно, вообще говоря, дѣйствіе силы T аналогично съ пониженіемъ температуры.

Величина и направленіе силы T опредѣляются для каждаго сѣченія свода соотвѣтственнымъ лучемъ многоугольника

силъ. Если допустимъ, что толщина свода d въ любомъ сѣченіи пропорціональна силѣ T , такъ что ея напряженіе f постоянно, то уменьшеніе длины Δs элементарной дуги s средней линіи выразится: $\Delta s = \frac{f}{E} \cdot s$, гдѣ E — коэффиціентъ упругости матеріала при сжатіи.

Сумма горизонтальныхъ проекцій Δs , взятыхъ по всей длинѣ средней линіи свода, выразится:

$$h = \Sigma (\text{гор. проек. } \Delta s) = \Sigma \left(\text{гор. проек. } \frac{f \cdot s}{E} \right), \text{ или}$$

$$h = \frac{f}{E} \Sigma (\text{гориз. проекцій } s) = \frac{f}{E} \cdot L,$$

гдѣ L — горизонтальная проекція дуги $aa_1 \dots a_s a^1$, фиг. 124.

Выраженіе $h = \frac{f}{E} \cdot L$ представитъ виртуальное измѣненіе пролета, т. е. то воображаемое горизонтальное перемѣщеніе опоръ, которое возбудило бы въ кладкѣ свода тѣ же напряженія какъ продольная сила T .

Поэтому для опредѣленія дополнительнаго горизонтальнаго распора H_h , вызваннаго деформаціей свода подъ дѣйствіемъ силы T , можно примѣнить основное уравненіе

$$h_h = \frac{f \cdot L}{E} = \frac{2 \cdot s}{E \cdot I} \cdot \Sigma My = 2H_h \cdot s \Sigma \frac{ak \cdot y}{E \cdot I}.$$

При повышеніи температуры длина дуги увеличится, сила же T уменьшитъ ее; поэтому общее измѣненіе длины средней дуги свода эквивалентно измѣненію пролета на $(h_t - h_h)$, гдѣ h_t выражаетъ воображаемое горизонтальное перемѣщеніе опоръ при повышеніи температуры на t^0 , а h_h представляетъ вліяніе силы T .

При пониженіи температуры длина средней линіи свода уменьшается; поэтому общее измѣненіе средней дуги свода выразится $-(h_t + h_h)$, и слѣдовательно наибольшій дополнительный распоръ $H_{(max)}$ получится при наибольшемъ пониженіи температуры и полной нагрузкѣ свода.

Для сокращенія построеній можно соединить уравненія, выражающія вліяніе температуры и продольной силы T :

$$\pm h_t = L \cdot \alpha \cdot t = \pm 2H_t \Sigma \left(\frac{ak \cdot y}{E \cdot I} \right) \cdot s \dots \dots (A)$$

$$-h_k = -\frac{fL}{E} = -2H_k \Sigma \left(\frac{ak \cdot y}{E \cdot I} \right) s \dots \dots \dots (B)$$

Полагая $H' = \pm H_t - H_k$, получимъ изъ уравненій (A) и (B):

$$\pm L \cdot \alpha \cdot t - \frac{f \cdot L}{E} = \pm 2H' \Sigma \left(\frac{ak \cdot y}{E \cdot I} \right) s, \dots \dots (C)$$

или

$$\pm L (E \cdot \alpha \cdot t \mp f) = \pm 2H' \Sigma \left(\frac{ak \cdot y}{I} \right) s \dots \dots (D)$$

Знакъ плюсъ относится къ повышенію температуры, минусъ—къ пониженію.

Отсюда опредѣлится H' —дополнительный горизонтальный распоръ, выражающій вліяніе измѣненій температуры и продольной силы T , а затѣмъ, какъ указано выше, легко вычислить дополнительные напряженія въ любомъ сѣченіи свода.

Если толщина свода постоянна, то моментъ инерціи I можно вынести изъ подъ знака Σ ; вмѣстѣ съ тѣмъ напряженіе f сдѣлается переменнымъ, такъ какъ сила T увеличивается отъ замка къ опорамъ, и если принять вмѣсто переменной величины T ея среднее значеніе или наибольшее, то напряженіе f можно разсматривать какъ величину постоянную во всѣхъ сѣченіяхъ и, слѣдовательно, можно примѣнить формулу

$$\pm L (E \cdot \alpha \cdot t \mp f) = \pm \frac{2H' \cdot s}{I} \Sigma (ak \cdot y) \dots \dots \dots (E)$$

При проектированіи свода можно принять во вниманіе нѣкоторыя перемѣщенія опоръ вслѣдствіе неправильной осадки или деформаціи.

Вліяніе горизонтальнаго перемѣщенія опоръ h опредѣлится по формулѣ (A).

Точно также дополнительный горизонтальный распоръ, вызванный вертикальнымъ перемѣщеніемъ опоръ (v), напирмѣръ вслѣдствіе осадки, опредѣлится изъ основнаго уравненія, приведеннаго въ главѣ «Графическій способъ расчета сводовъ»:

$$v = \Sigma \frac{M \cdot x \cdot s}{E \cdot I} = H \cdot \Sigma \frac{ak \cdot x \cdot s}{E \cdot I}, \dots \dots \dots (F)$$

гдѣ M —моментъ внѣшнихъ силъ въ разсматриваемой точкѣ

s —длина элементарной дуги, x —абсцисса ея средней точки, E —коэффициентъ упругости, I —моментъ инерціи разсматриваемаго сѣченія.

При большихъ пролетахъ и значительномъ коэффициентѣ расширенія α матеріала свода дополнительныя напряженія при переѣмѣ температуры должны быть приняты во вниманіе при расчетѣ свода.

Коэффициентъ расширенія бетона можно принять $\alpha = 0,000012$, и вообще онъ близокъ къ коэффициенту расширенія желѣза. Чтобы избѣжать значительныхъ напряженій, которыя могли бы явиться при измѣненіи температуры, раскружаливаніи, деформаци и осадкѣ опоръ сводовъ съ большими пролетами, въ Германіи принято возводить ихъ трехъ-шарнирными, какъ на примѣръ:

1) бетонный мостъ у Munderkingen'a (Zeitschrift des Vereines deutscher Ingenieure, 1894 г. стр. 908);

2) бетонный мостъ въ Imnau съ каменными шарнирами въ опорахъ и въ замкѣ изъ двухъ гранитныхъ плитъ толщиною 40—50 сант. Въ одной изъ плитъ сдѣлано цилиндрическое возвышеніе, а въ другой — соотвѣтствующее углубленіе, съ такимъ расчетомъ, чтобы получался зазоръ шириною 5 милім., обеспечивающій подвижность въ этихъ шарнирахъ;

3) мостъ на Neckar'ѣ у Kirchheim'a (4 пролета по 38 метр.); для полученія опредѣленнаго положенія кривой давленій въ замкѣ и въ опорахъ уложены свинцовыя прокладки между плитами изъ песчаника;

4) мостъ на Дунаѣ у Insigkofen'a, $l=44$ метр.; для опредѣленнаго положенія кривой давленій и уменьшенія вліянія температуры сдѣланы чугунные шарниры въ замкѣ и у опоръ.

Коэффициентъ расширенія α для камней есте-

ственныхъ можно принять около . . .	0,0000065
для кирпича обыкновеннаго.	$\alpha = 0,000035$
» » огнеупорнаго	$\alpha = 0,000005$
для известняка	$\alpha = 0,000008$

Наивыгоднѣйшая форма сводовъ.

Въ строительномъ отношеніи наивыгоднѣйшею формою свода будетъ та, для которой при данной нагрузкѣ и пролетѣ потребуется наименьшее количество матеріала.

Если вообразимъ, фиг. 129, поперечное сѣченіе какого-либо свода, выдѣленнаго двумя параллельными плоскостями, разстояніе между которыми равно единицѣ, то равнодѣйствующая всѣхъ силъ, приложенныхъ къ этому элементарному своду, выразится нѣкоторою кривою давленій, положеніе которой при данныхъ условіяхъ будетъ вполне опредѣленнымъ. Точка приложенія и величина равнодѣйствующей R въ каждомъ сѣченіи mn , фиг. 129 и 130, точно также могутъ быть опредѣлены.

Разсматривая матеріалы сводовъ: кирпичъ, бетонъ, естественный камень и растворъ какъ тѣла упругія до извѣстнаго предѣла при дѣйствіи силъ сжимающихъ, необходимо допустить, что распредѣленіе внутреннихъ силъ, проявляющихся въ сѣченіи mn , подчинено извѣстной гипотезѣ Навье. Т. е., при совпаденіи точки приложенія равнодѣйствующей R съ центромъ O сѣченія mn , внутреннія силы распредѣлятся равномерно по всему сѣченію mn , такъ что, если обозначимъ чрезъ p напряженіе этихъ силъ, то законъ распредѣленія внутреннихъ силъ выразится графически прямою ab , фиг. 131, параллельной mn и проведенной въ разстояніи $mn=p$; при этомъ

$$R = p \cdot mn \quad . \quad . \quad . \quad . \quad . \quad . \quad (1)$$

Если допустимъ, что наибольшее значеніе $p = p_{max}$ равно предѣлу прочнаго сопротивленія раздробленію для даннаго матеріала, то

$$R_{max} = p_{max} \cdot mn,$$

т. е. равно наибольшему допускаемому давленію, и слѣдовательно матеріалъ въ сѣченіи mn будетъ употребленъ наивыгоднѣйшимъ образомъ.

Всѣ промежуточныя положенія точки приложенія силы R , при которыхъ въ сѣченіи mn не проявляются растяги-

вающія внутреннія силы, заключены въ средней трети rr' прямой mn , фиг. 132.

Если сила R приложена между точками r и r' , то законъ распредѣленія внутреннихъ силъ выразится нѣкоторою трапеціей $mabn$, фиг. 133.

При томъ же наибольшемъ допускаемомъ напряженіи $p_{max} = nb$, равнодѣйствующая R_1 будетъ равна площади этой трапеціи, т. е.

$$R_1 = \frac{ma + nb}{2} \cdot mn;$$

причемъ $\frac{ma + nb}{2} < nb$,

и слѣдовательно $R_1 < R$, т. е.

матеріаль въ данномъ случаѣ употребленъ съ меньшею выгодой.

Если, наконецъ, сила R приложена въ одной изъ крайнихъ точекъ r и r' средней трети, то законъ распредѣленія внутреннихъ силъ выразится треугольникомъ mnb , фиг. 132, и при $nb = p_{max}$ будетъ

$$R_2 = p_{max} \cdot \frac{mn}{2} \quad . \quad . \quad . \quad . \quad . \quad (2)$$

Сравнивая ур. (1) и (2), получимъ $R = 2R_2$, т. е. при томъ же количествѣ матеріала давленіе, допускаемое въ первомъ случаѣ, вдвое больше давленія, допускаемого въ послѣднемъ случаѣ, и слѣдовательно при совпаденіи точки приложенія равнодѣйствующей R съ центромъ тяжести разсматриваемаго сѣченія матеріаль будетъ примѣненъ вдвое выгоднѣе чѣмъ въ такомъ случаѣ, когда точка приложенія силы R_2 совпадаетъ съ одною изъ предѣльныхъ точекъ r или r' . Кромѣ того, если въ сѣченіи mn допустить однѣ сжимающія усилія, то $R_2 = R_{min}$.

Отсюда слѣдуетъ, что для наивыгоднѣйшаго распредѣленія матеріала въ кладкѣ свода необходимо, чтобы кривая давленій проходила чрезъ центры всѣхъ сѣченій mn , т. е. чтобы она совпадала съ среднею линіей поперечнаго сѣченія свода, фиг. 129.

При такомъ положеніи кривой давленій толщина свода въ любомъ сѣченіи mn опредѣлится въ зависимости отъ

щее отъ глубины погруженія кольца относительно уровня воды или земли.

III) Давленія въ каждой точкѣ нормальны къ производящей свода и пропорціональны разстояніямъ отъ разсматриваемой точки до нѣкоторой горизонтальной линіи. Такой нагрузкѣ подвержены подводные своды, фиг. 135. Если прямая MN выражаетъ уровень воды, то давленіе p въ любой точкѣ (x, y) нормально къ наружной производящей и пропорціонально глубинѣ погруженія y .

IV) Вертикальное давленіе въ каждой точкѣ наружной производящей свода пропорціонально разстоянію до нѣкоторой прямой линіи; горизонтальное же давленіе меньше соотвѣтствующаго вертикальнаго, но отношеніе между этими давленіями постоянно для всѣхъ точекъ.

Какъ пояснено ниже, дѣйствию подобной системы силъ подвержены подземные своды, для которыхъ вертикальное давленіе V въ любой точкѣ (x, y) , фиг. 136, пропорціонально разстоянію до уровня земли, т. е. ординатѣ y ; горизонтальное же давленіе H пропорціонально величинѣ $m \cdot y$, гдѣ m —меньше единицы и постоянно для даннаго грунта.

Опредѣлимъ тѣ кривыя, по которымъ расположится упругая, бесконечно-тонкая пластинка, подверженная дѣйствию перечисленныхъ нагрузокъ.

I) Допустимъ, что грузъ во всѣхъ точкахъ вертикаленъ и распреѣленъ равномерно относительно горизонтальной линіи AB , фиг. 137.

Пусть упругая, бесконечно-тонкая пластинка образуетъ при такихъ условіяхъ нѣкоторую кривую AOB , фиг. 137. Въ любой точкѣ M или O , взятой на пластинкѣ, появятся нѣкоторыя внутреннія силы, которыя въ упругой пластинкѣ, способной сопротивляться однимъ сжимающимъ усиліямъ, непремѣнно направятся по касательнымъ въ этихъ точкахъ— ON и MN .

Кромѣ этихъ внутреннихъ силъ, на дугу OM дѣйствуетъ еще равнодѣйствующая P внѣшнихъ вертикальныхъ силъ, приложенныхъ къ разсматриваемой дугѣ OM .

Эти три силы находятся въ одной плоскости, и для ихъ

равновѣсія необходимо, чтобы вертикальная сила P прошла черезъ N —точку пересѣченія касательныхъ ON и MN . При этомъ сила P , какъ равнодѣйствующая вертикальныхъ внѣшнихъ силъ, распределенныхъ равномерно по прямой $dm = SM$, должна пройти чрезъ ея середину, т. е. $SQ = QM$. Если продолжимъ касательную MN до пересѣченія съ осью Y —ювъ въ точкѣ D , то изъ равенства треугольниковъ DON и NQM слѣдуетъ: $DO = NQ = y$, т. е. равна ордонатѣ разсматриваемой точки M . Слѣдовательно, подкасательная $DS = DO + OS = 2y$, т. е. подкасательная равна удвоенной ордонатѣ, что составляетъ существенное свойство параболы; поэтому кривая AOB , выражающая среднюю линію проектируемаго свода, представить параболу.

Стороны прямоугольнаго треугольника MEN параллельны силамъ, дѣйствующимъ на дугу OM ; поэтому, если допустимъ, что отрѣзокъ EM представляетъ по величинѣ и направленію силу P (равнодѣйствующую всѣхъ грузовъ распределенныхъ по дугѣ OM), то отрѣзокъ $NE = H$ и выразитъ внутреннюю сжимающую силу въ точкѣ O , а отрѣзокъ $MN = R$ —внутреннюю сжимающую силу въ точкѣ M .

Сила H представить такъ называемый горизонтальный распоръ свода, а сила R —величину равнодѣйствующей всѣхъ силъ, являющихся въ разсматриваемой точкѣ M .

Изъ прямоугольнаго треугольника MEN слѣдуетъ:

$$\overline{R}^2 = \overline{H}^2 + \overline{P}^2 \quad . \quad . \quad . \quad . \quad . \quad (1)$$

$$tg \, i = \frac{P}{H} = \frac{px}{H} = \frac{dy}{dx}, \quad . \quad . \quad . \quad . \quad . \quad (2)$$

гдѣ i —уголъ наклона касательной R .

Помощью уравненій (1) и (2) можно рѣшить слѣдующіе вопросы.

1) Даны: кривая AOB и грузъ; опредѣлить горизонтальный распоръ H свода и величину сжимающей силы R въ разсматриваемой точкѣ средней линіи свода. Зная H и R , можно опредѣлить толщину свода въ любомъ сѣченіи, раздѣливъ R на предѣлъ прочнаго сопротивленія раздробленію даннаго матеріала.

2) Даны: кривая AOB , H и R ,—опредѣлить P .

3) Даны: грузъ P , H и R ,—опредѣлить кривую.

II) Опредѣлимъ среднюю кривую свода въ томъ случаѣ, когда давленіе въ каждой точкѣ нормально и распределено равномерно по наружной производящей.

Для опредѣленія той кривой, которую представить упругая безконечно-тонкая пластинка при тѣхъ же условіяхъ, выдѣлимъ, фиг. 138, два смежные безконечно-малые ея элементы ds и ds , равные между собою по длинѣ. Элементарные грузы, дѣйствующие на нихъ, выразятся чрезъ pds , гдѣ p —напряженіе даннаго груза. По условію, эти элементарные грузы равны между собою, нормальны къ хордамъ ds и проходятъ чрезъ ихъ середины.

Поэтому равнодѣйствующая P этихъ двухъ элементарныхъ грузовъ $p \cdot ds$ будетъ равнодѣлящею для угловъ eOd и ABC .

Въ точкахъ A и C будутъ приложены нѣкоторыя силы R и R' , выражающія дѣйствіе прилегающихъ частей кривой на выдѣленные элементы. Если построимъ параллелограмъ для этихъ внутреннихъ силъ R и R' , и равнодѣйствующей внѣшнихъ силъ P , то при указанномъ выше равенствѣ угловъ $ABO = OBC$, уголъ $EON = EOM$, и слѣдовательно многоугольникъ $EMON$ обратится въ ромбъ, откуда слѣдуетъ, что $R = R'$, т. е. сжимающая сила, направленная вдоль элементарной дуги ABC , постоянна.

Выдѣлимъ теперь три равные смежные элемента кривой: $AB = BC = CD = ds$, фиг. 139, и вмѣсто безконечно, малыхъ дугъ рассмотримъ ихъ хорды. Грузы, дѣйствующие на нихъ, будутъ равны между собой и выразятся чрезъ $p \cdot ds$.

Относительно двухъ смежныхъ дугъ AB и BC было доказано, что $R = R_1$, причемъ внутренняя сила R направлена по AB и R_1 —по BC .

Точно такъ же, какъ и въ предыдущемъ случаѣ, опредѣлимъ величину и направленіе сжимающей силы для элементовъ BC и CD ; для нихъ также $R_1 = R_2$, поэтому $= R_1 = R_2$.

Изъ четырехъ полученныхъ силъ R , R_1 , R_1 и R_2 равныя

и противоположныя силы R_1 и R_2 направлены по одной прямой BC ; слѣдовательно, на концы выдѣленной элементарной дуги AD дѣйствуютъ силы $R=R_2$.

По условію $MB=BN$ и $NC=CQ$; поэтому прямоугольные треугольники

$$BOM = BON; \text{ точно также}$$

$$BON = CON \text{ и}$$

$$CON = CO, \text{ откуда слѣдуетъ, что}$$

$$\angle ABC = \angle BCD.$$

Значить, правильная ломанная линія $ABCD$ расположится симметрично относительно прямой ON .

Каждая часть пластинки, состоящая изъ трехъ такихъ элементовъ, дастъ такую же правильную ломанную линію, подверженную дѣйствію той же системы силъ. Въ общемъ получится правильный многоугольникъ. Поэтому кривая, въ которую онъ вписанъ и къ которой стремится какъ къ своему предѣлу, должна имѣть во всѣхъ точкахъ одну и ту же кривизну, т. е. представить окружность.

Изслѣдуя дѣйствіе нормальныхъ равномерно распределенныхъ грузовъ, иногда удобнѣе разсматривать не самый грузъ, а его вертикальныя и горизонтальныя составляющія.

Такъ, грузъ, соотвѣтствующій элементу $AB=ds$, фиг. 140, выразится чрезъ $p \cdot ds$.

Горизонтальная составляющая его равна $p \cdot ds \cdot \sin Q$, гдѣ Q — уголъ, образуемый направлениемъ силы $p \cdot ds$ съ вертикальною линіей, или уголъ между касательной къ элементу ds и горизонтальною линіей.

Вертикальная же составляющая выразится чрезъ $p \cdot ds \cdot \cos Q$.

Всѣ горизонтальныя составляющія будемъ разсматривать относительно длины той вертикальной линіи, по которой онѣ распределены. Такой линіей для силы $p \cdot ds \cdot \sin Q$ будетъ отрѣзокъ BC , равный $ds \cdot \sin Q$; поэтому напряженіе горизонтальной составляющей равно

$$\frac{p \cdot ds \cdot \sin Q}{ds \cdot \sin Q} = p.$$

Точно также вертикальная сила $p \cdot ds \cdot \cos Q$ распреде-

лена по горизонтальному отръзку $AC = ds \cdot \cos Q$, а потому ея напряженіе равно

$$\frac{p \cdot ds \cdot \cos Q}{ds \cdot \cos Q} = p.$$

Но p по условію равно напряженію внѣшней нормальной силы. Значить, напряженіе нормальной равнодѣйствующей силы равно напряженію ея горизонтальной и вертикальной составляющихъ.

Если построимъ рядъ элементарныхъ прямоугольныхъ треугольниковъ по кривой AB , фиг. 141, такъ чтобы ихъ вертикальные катеты были равны между собою, то и горизонтальныя силы, дѣйствующія на эти катеты, представятся линіями равными. Перенесемъ точки приложенія этихъ горизонтальныхъ силъ по направленію ихъ дѣйствія на линію BC . Тогда BC будетъ равна суммѣ всѣхъ вертикальныхъ катетовъ элементарныхъ треугольниковъ, и такъ какъ напряженіе горизонтальныхъ силъ постоянно и равно p , то равнодѣйствующая всѣхъ горизонтальныхъ силъ для квадранта AB выразится

$$H = p \cdot BC = p \cdot r.$$

Если вдоль кривой AB начертить рядъ элементарныхъ треугольниковъ съ равными горизонтальными катетами, фиг. 142, то равнодѣйствующая всѣхъ вертикальныхъ силъ для того же квадранта AB выразится

$$V = p \cdot CA = p \cdot r$$

Отсюда слѣдуетъ:

1) Равнодѣйствующая всѣхъ нормальныхъ внѣшнихъ силъ въ квадрантѣ AB равна равнодѣйствующей двухъ силъ составляющихъ: горизонтальной и вертикальной, изъ которыхъ каждая равна $p \cdot r$.

2) Если въ параллелограммѣ силъ для квадранта AB , фиг. 143, отръзокъ FS представляетъ вертикальную слагающую силы P , а значить вмѣстѣ съ тѣмъ и вертикальную составляющую для точки B , то отръзокъ FN выразитъ горизонтальную слагающую силы P и горизонтальную силу (распоръ) для точки A . Каждая изъ этихъ силъ равна

pr. Поэтому и сжимающее усилие вдоль всей кривой постоянно и равно $p.r.$; т. е. если назовемъ вертикальную силу въ точкѣ B чрезъ V , то получимъ

$$H = V = T = pr.$$

Послѣ этого можно доказать слѣдующее общее положеніе: если внѣшнія силы нормальны къ кривой, то напряженіе сжимающаго усилія въ любой точкѣ упругой пластинки равно напряженію нормального груза, умноженному на радіусъ кривизны въ разсматриваемой точкѣ.

Для общаго доказательства рассмотримъ условія равновѣсія какой-либо элементарной дуги $ds = AB$, фиг. 144, подверженной дѣйствію опредѣленнаго нормального груза.

Дуга эта находится въ равновѣсіи подѣ дѣйствіемъ слѣдующихъ силъ:

- 1) сжимающихъ усилій T и T_1 , вызываемыхъ прилежающими частями кривой, и
- 2) нормального груза $p.ds$, придающаго пластинкѣ извѣстную кривизну.

Вообразимъ окружность, фиг. 144, подверженную дѣйствію нормального равномерно распредѣленнаго груза, напряженіе котораго равно p . Выдѣлимъ безконечно-малую дугу этой окружности, равную по длинѣ элементу ds данной кривой; грузъ, дѣйствующій на эту элементарную дугу круга, выразится также чрезъ $p.ds$.

Если бы дуга круга ds въ конечныхъ своихъ точкахъ A_1 и B_1 имѣла сжимающія силы, равныя T и T_1 , то, очевидно, кривизна ея была такая же, какъ и кривизна разсматриваемаго элемента данной кривой; или, обратно, если дуга круга имѣетъ ту же кривизну, какъ и данный элементъ кривой, то и сжимающія силы въ конечныхъ точкахъ дуги круга должны быть равны, т. е. $T = T_1$.

Если грузъ будетъ нормаленъ къ упругой пластинкѣ во всѣхъ ея точкахъ, то подобная зависимость между сжимающею силой R , радіусомъ кривизны ρ и напряженіемъ груза p будетъ существовать въ любой точкѣ кривой, такъ что общее уравненіе кривой выразится $R = p \cdot \rho$.

Вслѣдствіе нормальности внѣшнихъ силъ къ кривой, сжимающая сила, направленная вдоль кривой, должна быть постоянной; поэтому предъидущее общее уравненіе выразится

$$R = p \cdot \rho = \text{Const} \dots \dots \dots (A)$$

Отсюда слѣдуетъ:

1) если грузъ p постояненъ, то и радіусъ кривизны ρ также величина постоянная, т. е. кривая представить окружность, что и было доказано выше;

2) когда p —величина переменная, то для удовлетворенія уравненію (A) ρ должно измѣняться обратно пропорціонально p .

III) На практикѣ встрѣчается, что давленія p нормальны къ производящей свода и пропорціональны разстояніямъ отъ рассматриваемой точки до нѣкоторой прямой.

Такой нагрузкѣ подвержены, напримѣръ, подводные своды, фиг. 145. Если прямая MN выражаетъ уровень воды, то давленіе p въ любой точкѣ m (x, y) нормально къ наружной производящей и пропорціонально глубинѣ погруженія y рассматриваемой точки.

Упругая безконечно-тонкая пластинка расположится при такихъ условіяхъ по такъ называемой гидростатической кривой ABC , фиг. 145. Если примемъ точку O за начало координатъ, OY и OX —за координатныя оси, то давленіе воды на единицу поверхности въ любой точкѣ (x, y) выразится чрезъ $\omega \cdot y$, гдѣ ω —вѣсъ кубической единицы воды.

Поэтому уравненіе кривой ABC выразится

$$R = p \cdot \rho = \omega \cdot y \cdot \rho = \omega \cdot y_0 \cdot \rho_0 = \text{Const},$$

причемъ R —сжимающая сила, направленная вдоль кривой, y_0 и ρ_0 —ордината и радіусъ кривизны для точки B .

Если построимъ параллелограмъ силъ для какой-нибудь дуги BD , фиг. 145, то стороны его FN и FG должны быть равны, такъ какъ при нормальныхъ силахъ R постоянна.

Поэтому, называя горизонтальный распоръ чрезъ H , получимъ $H = R = \text{Const}$.

Отрѣзокъ FE выразить тогда по величинѣ и направленію равнодѣйствующую всего груза для дуги BD . Изъ чертежа видно, что отрѣзокъ MG будетъ вертикальною составляющею силы FG и выразить вертикальный грузъ для дуги BD , равный

$$R \cdot \sin i = H \cdot \sin i, \quad . \quad . \quad . \quad (B)$$

гдѣ i —уголъ наклона касательной къ точкѣ D .

Отсюда слѣдуетъ, что въ точкѣ C вертикальный грузъ $V = T = H$, такъ какъ для нея $i = 90^\circ$.

Кромѣ того уравненіе (B) показываетъ, что вертикальная и горизонтальная составляющія сжимающей силы не постоянны и непрерывно измѣняются съ переходомъ отъ одной точки къ другой.

Для опредѣленія горизонтальной составляющей всего груза для дуги BD замѣтимъ, что отъ разложенія силы EF (равнодѣйствующей груза для дуги BD) получена горизонтальная составляющая FN , а отъ разложенія другой составляющей $FG = R$ получается еще другая горизонтальная сила FM , направленная въ обратную сторону. Поэтому горизонтальная составляющая для всего груза дуги BD равна разности двухъ указанныхъ горизонтальныхъ силъ, т. е. $FN - FM$.

Изъ чертежа видно, что

$$FN - FM = GE - SG = H - H \cos i = H(1 - \cos i).$$

Въ точкѣ C уголъ $i = 90^\circ$, а потому для дуги BC горизонтальная составляющая груза равна H .

Отсюда слѣдуетъ, что для дуги CD горизонтальная составляющая груза равна $H - H(1 - \cos i)$.

Для дуги BD вертикальная составляющая груза, какъ видно изъ треугольника FMG , выразится

$$V = FG \cdot \sin i = H \cdot \sin i = \int_0^x p_y \cdot dx = \omega \int_0^x y \cdot dx,$$

гдѣ P_y —грузъ въ точкѣ, ордината которой y , равный $\omega \cdot y$.

Съ другой стороны, обращаясь къ уравненію

$$H = T = p \cdot r,$$

предыдущій интегралъ можно приравнять выраженію

$$H \cdot \sin i = p \cdot \rho \cdot \sin i = \omega \int_0^x y \cdot dx = \omega \cdot y_0 \rho_0 \sin i.$$

Точно также для горизонтальной составляющей груза получимъ

$$\begin{aligned} H(1 - \cos i) &= \omega y_0 \rho_0 (1 - \cos i) = \int_{y_0}^y p_y \cdot dy = \\ &= \omega \int_{y_0}^y y \cdot dy = \omega \frac{y^2 - y_0^2}{2}. \end{aligned}$$

Если y_1 равно ординатѣ въ точкѣ C , то горизонтальная сила, дѣйствующая въ точкѣ C , выразится

$$H = \omega \frac{y_1^2 - y_0^2}{2}.$$

Уравненіе $T = H = \omega y_0 \rho_0 = \omega y \rho$ даетъ возможность рѣшать разные вопросы при проектированіи подводныхъ сводовъ.

IV) Давленіе земли на подземные своды представляетъ нѣчто среднее между давленіями абсолютно-твердаго тѣла и жидкой массы. Такъ на примѣръ, кубъ земли a , фиг. 146, подъ давленіемъ вѣса p выше-лежащаго столба земли давить внизъ съ силой равной его собственному вѣсу + вѣсъ p этого столба. Боковыя грани этого куба a давятъ по горизонтальнымъ направленіямъ съ силой меньшей чѣмъ давленіе вертикальное, но отношеніе которой къ вертикальному давленію всегда постоянно для одного и того же грунта.

Если бы кубъ a состоялъ изъ абсолютно твердаго тѣла, то не оказывалъ бы горизонтальныхъ давленій; если бы онъ былъ выдѣленъ въ жидкой массѣ, то горизонтальныя давленія были бы равны вертикальнымъ.

И такъ въ подземныхъ сводахъ вертикальное давленіе въ любой точкѣ пропорціонально глубинѣ ея погруженія; горизонтальное же давленіе меньше вертикальнаго и отношеніе между этими давленіями постоянно для всѣхъ точекъ.

Кривая, по которой расположится безконечно-тонкая упругая пластинка, подверженная дѣйствию такой системы силъ, называется геостатической.

Въ гидростатической кривой, какъ пояснено выше, вертикальныя и горизонтальныя давленія въ каждой точкѣ равны между собою и пропорціональны глубинѣ погруженія разсматриваемой точки. Если допустить, что плотность даннаго грунта равна плотности какой-либо жидкости, то для любой точки $D_1 (x_1, y)$, фиг. 147, взятой на геостатической кривой, вертикальное давленіе будетъ такое же какъ для точки $D (x, y)$, лежащей на гидростатической кривой и имѣющей ту же ординату y . Отношеніе же между горизонтальными давленіями въ любыхъ точкахъ D и D_1 будетъ постоянно и, допустимъ, равно m .

Если на данной гидростатической кривой ABC , фиг. 148, построимъ, какъ на основаніи, косой цилиндръ, фиг. 149, AA_1C_1C и разсѣжемъ его плоскостью A_1C_1 такъ, чтобы линія пересѣченія ея съ плоскостью основанія ABC была параллельна линіи BE (стрѣла подъема данной гидростатической кривой), а отношеніе AC къ A_1C_1 равнялось m , то новая кривая $A_1B_1C_1$, фиг. 149а, полученная на боковой поверхности цилиндра, представить соотвѣтствующую геостатическую кривую.

Для доказательства распредѣлимъ вертикальныя и горизонтальныя давленія въ данной гидростатической кривой по двумъ ея диаметрамъ AE и BE , фиг. 148.

По условію, сѣкущая плоскость $A_1B_1C_1$, фиг. 149, параллельна диаметру BE ; поэтому всѣ векторы a , параллельные BE и выражающіе вертикальныя давленія, будутъ проектироваться на плоскость $A_1B_1C_1$, фиг. 149 и 149а, векторами a_1 , фиг. 149а, параллельными и равными по величинѣ векторамъ a ; векторы же b , фиг. 148, выражающіе горизонтальныя давленія въ данной гидростатической кривой, будутъ проектироваться на плоскость $A_1B_1C_1$ параллельными векторами b_1 , причемъ отношеніе каждаго изъ нихъ къ соотвѣтственному вектору b будетъ равно отношенію $\frac{A_1C_1}{AC} = \frac{1}{m}$.

Слѣдовательно полученная кривая $A_1B_1C_1$, фиг. 149а, будетъ представлять кривую равновѣсія, подверженную дѣйствию системы такихъ силъ, у которыхъ вертикальныя со-

ставляющія пропорціональны ордонатамъ кривой, а отношенія между вертикальными и горизонтальными составляющими постоянны и равны m . Значить, кривая $A_1B_1C_1$ представитъ геостатическую кривую.

Въ геостатической кривой векторы a_1 , выражающіе вертикальныя силы, остались безъ переменны; поэтому и ихъ равнодѣйствующая будетъ та же какъ и въ гидростатической кривой. Если обозначимъ чрезъ V и V^1 равнодѣйствующія вертикальныхъ силъ для половины данной гидростатической кривой и соотвѣтствующей геостатической, то $V = V^1$, причемъ въ гидростатической кривой сила V распределена по отрѣзку AE , фиг. 148, тогда какъ въ геостатической—по отрѣзку A_1E_1 , фиг. 149а.

Если $A_1E_1 = m.AE$, то напряженіе силы V выразится чрезъ $p_y = \frac{V}{AE}$, а силы V^1 чрезъ $p_y^1 = \frac{V^1}{A_1E_1} = \frac{V}{m.AE} = \frac{p_y}{m}$.

Отношеніе каждой горизонтальной силы (векторы b) гидростатической кривой къ соотвѣтствующей горизонтальной силѣ геостатической кривой (векторы b_1), по условію, равно m ; поэтому и отношеніе между равнодѣйствующими горизонтальныхъ силъ для этихъ кривыхъ равно m . Кромѣ того, горизонтальныя силы распределены по отрѣзкамъ BE и B_1E_1 одинаковой длины; поэтому, обозначивъ равнодѣйствующія горизонтальныхъ силъ чрезъ H и H_1 , соотвѣтствующія напряженія чрезъ p_x и p_x^1 , получимъ

$$H_1 = m \cdot H,$$

и для гидростатической кривой

$$p_x = \frac{H}{BE},$$

для геостатической

$$p_x^1 = \frac{H \cdot m}{BE} = m \cdot p_x.$$

Въ гидростатической кривой давленіе въ любой точкѣ нормально, въ геостатической же давленія земли будутъ нормальны только въ точкахъ B_1 , A_1 и C_1 , фиг. 149а, такъ какъ только въ этихъ точкахъ нормали остаются параллельными соотвѣтственнымъ проектирующимъ нормалямъ гидростатической кривой.

Пусть ρ_0^1 и ρ_1^1 выражают радиусы кривизны въ B_1 и A геостатической кривой, фиг. 149а; тогда горизонтальный распоръ дуги A_1B_1

$$H^1 = \rho_y^1 \rho_0^1 = \frac{\rho_y}{m} \cdot \rho_0^1 \quad . \quad . \quad . \quad . \quad . \quad (a)$$

Въ гидростатической же кривой

$$H = \rho_y \cdot \rho_0,$$

и при этомъ

$$H^1 = mH = m \cdot \rho_y \rho_0 \quad . \quad . \quad . \quad . \quad . \quad (b)$$

Изъ уравненій (a) и (b) получимъ

$$m \cdot \rho_y \rho_0 = \frac{\rho_y}{m} \cdot \rho_0^1 \text{ или } \rho_0^1 = m^2 \rho_0.$$

Точно также

$$V^1 = \rho_x^1 \cdot \rho_1^1 = m \rho_x \cdot \rho_1^1 = V \quad . \quad . \quad . \quad . \quad . \quad (c)$$

Для гидростатической кривой

$$V = \rho_x \cdot \rho_1 \quad . \quad . \quad . \quad . \quad . \quad . \quad (d)$$

Но $V = V^1$, поэтому изъ уравненій (d) и (c) слѣдуетъ

$$m \rho_x \rho_1^1 = \rho_x \rho_1 \text{ или } \rho_1^1 = \frac{\rho_1}{m}.$$

Найденные радиусы кривизны нужны для вычерчиванія геостатической кривой.

Радиусъ кривизны въ любой промежуточной точкѣ опредѣлится изъ общаго уравненія

$$\rho^1 \rho_0^1 = \rho \cdot \rho \text{ или } \omega y_0 \rho^1 = \omega y \rho; \text{ отсюда}$$

$$\rho = \frac{\rho_0^1 \cdot y_0}{y}.$$

V) Если въ подземномъ сводѣ высота его EC , фиг. 146, очень мала сравнительно съ толщей выше-лежащей земли OC , то безъ особенной погрѣшности можно допустить:

1) вертикальное давленіе въ любой точкѣ наружной поверхности свода будетъ постоянно и равно $\omega \cdot y$, гдѣ y —ордоната OC , а ω —плотность грунта;

2) отношеніе вертикальнаго давленія къ соответствующему горизонтальному постоянно и равно m .

При разсмотрѣніи условій равновѣсія круга было выведено $p_y = p_x = p$, т. е. напряженія вертикальной и горизонтальной слагающихъ равны между собою, а также равны напряженію нормальной силы.

Поэтому принятое выше распредѣленіе силъ можно разсматривать какъ проекцію силъ, приложенныхъ къ кругу, подобно тому какъ силы, дѣйствующія на геостатическую кривую, представляютъ проекцію силъ, приложенныхъ къ гидростатической кривой.

Дѣйствительно, если на данномъ кругѣ, уравновѣшенномъ дѣйствіемъ данной системы горизонтальныхъ и вертикальныхъ силъ, фиг. 150, построимъ прямой цилиндръ DD^1B^1B и разсѣжемъ его плоскостью такъ, чтобы линія пересѣченія ея съ плоскостью основанія ABC была параллельна AC , то получимъ новую кривую AB^1CD^1 , фиг. 150а, эллипсъ, и новую систему горизонтальныхъ и вертикальныхъ силъ, уравнивающихъ эту кривую.

Всѣ данныя силы (векторы b) будутъ проектироваться равными и параллельными векторами b_1 , фиг. 150, а отношеніе новыхъ вертикальныхъ векторовъ a^1 къ прежнимъ a будетъ равно отношенію $\frac{O^1B^1}{OB} = m$.

И такъ новая кривая равновѣсія представитъ эллипсъ. Если назовемъ радіусъ даннаго круга чрезъ r , малую полуось O_1C_1 полученнаго эллипса чрезъ r , а большую полуось O_1B_1 — чрезъ r^1 , то $\frac{r^1}{r} = m$.

Въ эллипсѣ векторы b , выражающіе горизонтальныя силы, остаются безъ перемѣны; поэтому и ихъ равнодѣйствующая H^1 будетъ та же какъ и въ кругѣ, т. е. $H^1 = H$.

Но сила H^1 распредѣлена въ эллипсѣ по отрѣзку O_1B_1 , въ кругѣ же по отрѣзку OB ; поэтому напряженіе горизонтальной силы въ эллипсѣ

$$p_x^1 = \frac{H}{m \cdot r} = \frac{p_x}{m},$$

гдѣ p_x — напряженіе горизонтальныхъ силъ въ кругѣ.

Легко замѣтить, что равнодѣйствующая вертикальныхъ силъ для эллипса

$$V^1 = mV \quad \text{и}$$

$$p^1_y = \frac{V^1}{O_1C_1} = \frac{mV}{r} = m \cdot p_x = mp_x.$$

Отсюда слѣдуетъ

$$p^1_x : p^1_y = \frac{p_x}{m} : m \cdot p_x = 1 : m^2.$$

Съ другой стороны,

$$\overline{OB}^2 : \overline{O_1B_1}^2 = 1 : m^2 = r^2 : r^1^2,$$

т. е. напряженія горизонтальныхъ и вертикальныхъ силъ въ эллипсѣ пропорціональны квадратамъ параллельныхъ имъ осей.

Такимъ образомъ на практикѣ при значительной толщѣ земли надъ сводомъ можно безъ особенной погрѣшности принять за среднюю линію проектируемаго свода полуэллипсъ, отношеніе полуосей котораго r и r^1 равно m , причемъ m зависитъ отъ свойствъ даннаго грунта, главнымъ образомъ отъ его сыпучести и подвижности частицъ, и всегда меньше единицы.

Аналитическій расчетъ сводовъ.

Выводы, полученные при опредѣленіи наивыгоднѣйшей формы сводовъ при перечисленныхъ нагрузкахъ, даютъ возможность опредѣлить какъ наивыгоднѣйшее положеніе кривой давленій, такъ и величину силы R , направленной по этой кривой.

Зная такимъ образомъ величину и направленіе равнодѣйствующей R всѣхъ внутреннихъ силъ въ любомъ сѣченіи свода, можно опредѣлить его толщину.

1) Положимъ, на примѣръ, требуется опредѣлить толщину стѣнокъ бетоннаго цилиндрическаго резервуара, дно котораго находится ниже уровня земли на 6 метр., а внутренній диаметръ равенъ 4 метр. Допустимъ, что на глубинѣ 3 метр. находится уровень грунтовыхъ водъ, фиг. 151. Если возьмемъ какое-либо горизонтальное сѣченіе колодца mn , фиг. 151, то давленія со стороны грунта во всѣхъ точкахъ наружной окружности будутъ нормальны и пропорціональны глубинѣ погруженія сѣченія mn .

При такомуъ распредѣленіи силъ, какъ доказано выше, наивыгоднѣйшею формою средней линіи для каждаго поперечнаго сѣченія будетъ окружность, фиг. 151.

При этомъ сила R , направленная по этой средней окружности, будетъ постоянна, и

$$R = pr = \omega \cdot y \cdot r,$$

гдѣ p —давленіе на единицу поверхности внѣшней нормальной равномерно-распредѣленной силы,

r —радіусъ средней окружности,

ω —плотность грунта,

y —глубина погруженія разсматриваемаго сѣченія.

Выдѣлимъ двумя горизонтальными плоскостями кольцо свода высотой 0,01 метра у самого дна колодца. Діаметръ его средней линіи примемъ равнымъ 4 метр.; вѣсъ 1 куб. метра сырой земли—2.000 килогр.; глубину погруженія выдѣленнаго кольца— $y = 6$ метр.

Давленіе p грунтовой воды на 1 кв. сантим. стѣнки колодца выразится

$$p = \omega \cdot y = \frac{2000 \cdot 600}{1000000} = 1,2 \text{ килогр.}$$

Поэтому сжимающая сила R , направленная вдоль средней линіи, равна

$$R = 1,2 \text{ килогр.} \times 200 = 240 \text{ килогр.}$$

Такъ какъ точка приложенія силы R предполагается въ центрѣ радіальнаго сѣченія, фиг. 152, кольца, то внутреннія сжимающія силы будутъ распредѣлены равномерно по всему сѣченію. Поэтому, принимая прочное сопротивленіе бетона раздробленію 10 килогр. на кв. сантим., получимъ наименьшую толщину x стѣнки колодца у дна:

$$x = \frac{240}{10} = 24 \text{ сантим.}$$

Послѣ этого для болѣе точнаго расчета надо принять во вниманіе, что радіусъ средней линіи проектируемаго свода будетъ равенъ примѣрно

$$2 \text{ метра} + 0,13 \text{ метра} = 2,13 \text{ метра}$$

и, следовательно,

$$R_1 = 1,2 \text{ килогр.} \times 2,13 = 255,6 \text{ килогр.}$$

$$x_1 = \frac{255,6}{10} = 25,56 \text{ сант. (26 сант.).}$$

Вообще толщина стѣнки x при любой глубинѣ погруженія y выразится примѣрно

$$x = \frac{R}{10} = \frac{\omega \cdot y \cdot r}{10} = \frac{2000 \cdot 200 \cdot y}{10 \cdot 1000000} = \frac{y}{25} \text{ сант.}$$

т. е. будетъ измѣняться пропорціонально y .

Опредѣливъ поэтому наименьшую толщину стѣнокъ у дна и задавшись толщиной ея у противоположнаго конца, напр. въ 20 сантим., остается отложить эти толщины и соединить крайнія внѣшнія точки прямою линіей, фиг. 151; такимъ образомъ получится вертикальное сѣченіе всей стѣнки.

II) Допустимъ, требуется разсчитать подводный сводъ, пролетъ котораго $l = 15$ метр., а разстояніе отъ уровня воды MN , фиг. 153, до замка равно 5 метр.

Какъ пояснено выше, средняя линія такого свода должна представить гидростатическую кривую.

Дифференціальное уравненіе ея въ общемъ видѣ можно представить такъ:

$$R = y \cdot \rho = y \cdot \frac{\left\{ 1 + \left(\frac{dy}{dx} \right)^2 \right\}^{3/2}}{\frac{d^2x}{dy^2}}, \text{ или}$$

$$R \cdot \frac{d^2x}{dy^2} - y \left\{ 1 + \left(\frac{dy}{dx} \right)^2 \right\}^{3/2} = 0.$$

Интегрируя это уравненіе два раза, получимъ уравненіе гидростатической кривой.

Если обозначимъ координаты точки C , фиг. 153, чрезъ x_1 и y_1 , стрѣлу подъема BD —чрезъ a , глубину OB — y_0 и радіусы кривизны въ точкахъ A и B —чрезъ ρ и ρ_0 , и при этомъ примемъ

$$b = x_1 + \frac{x_1^2}{30a}, \quad . \quad . \quad . \quad . \quad . \quad (1)$$

то всѣ эти величины приблизительно будутъ связаны слѣдующимъ уравненіемъ:

$$y_0 = a \cdot \frac{a^3}{b^3 - a^3} \quad . \quad . \quad . \quad . \quad . \quad . \quad (2)$$

Раньше было выведено

$$R = H = \omega \cdot y_0 \cdot \rho_0 = \omega \frac{y_1^2 - y_0^2}{2};$$

отсюда $y_0 \rho_0 = \frac{y_1^2 - y_0^2}{2}$

$$\text{или } \rho_0 = \frac{y_1^2 - y_0^2}{2y_0} = \frac{(y_0 + a)^2 - y_0^2}{2y_0} = \frac{y_0^2 + 2ay_0 + a^2 - y_0^2}{2y_0} = \\ = \frac{2y_0a + a^2}{2y_0} = a + \frac{a^2}{2y_0} = a + \frac{a^2(b^3 - a^3)}{2a^4} = \frac{a}{2} \left(1 + \frac{b^3}{a^3} \right). \quad (3)$$

Точно также

$$\begin{aligned} \rho_1 &= \frac{y_1^2 - y_0^2}{2y_1} = a + \frac{a^2}{2(y_0 + a)} = a - \frac{a^3}{2\left(\frac{a^4}{b^3 - a^3} + a\right)} = \\ &= a - \frac{a(b^3 - a^3)}{2b^3} = a\left(2 - 1 + \frac{a^3}{b^3}\right) = \frac{a}{2}\left(1 + \frac{a^3}{b^3}\right). \quad (4) \end{aligned}$$

Уравнения (1), (2), (3) и (4) дают возможность определить радиусы кривизны ρ_0 , ρ_1 и стрѣлу подъема.

Рѣшеніе уравненія (2) можетъ представить нѣкоторыя затрудненія, поэтому, пользуясь опытными данными, поставимъ вмѣсто a нѣсколько чиселъ, чтобы опредѣлить предѣлы, въ которыхъ находится истинное значеніе a . При $a = 6$ метр. уравненіе (2) будетъ почти удовлетворено, что видно изъ слѣдующаго:

$$b = x_1 + \frac{x_1^2}{30a} = 7,5 + \frac{7,5^2}{30 \cdot 6} = 7,82 \text{ метр.}$$

$$y_0 = \frac{(6)^4}{(7,82)^3 - (6)^3} = \frac{1296}{262,2} = 4,95 \text{ метра.}$$

По умові же $y_0 = 5$ метр.

Послѣ этого изъ уравненій (3) и (4) получимъ:

1) радіусъ кривизны въ точкѣ B

$$\rho_0 = \frac{a}{2} \left(1 + \frac{b^3}{a^3} \right) = \frac{6}{2} \left\{ 1 + \left(\frac{7,82}{6} \right)^3 \right\} = 9,59 \text{ метра.}$$

2) радіусъ кривизны въ точкѣ A

$$\rho = \frac{a}{2} \left(1 + \frac{b^3}{a^3} \right) = \frac{6}{2} \left\{ 1 + \left(\frac{6}{7,82} \right)^3 \right\} = 4,29 \text{ метра.}$$

Радиус же кривизны ρ во всякой другой точкѣ опредѣлится изъ основнаго уравненія $\rho = \frac{\rho_0 \cdot y_0}{y}$.

По этимъ даннымъ можно начертить среднюю линію свода.

Давленіе въ точкѣ B выразится чрезъ $H = \omega \cdot y_0 \rho_0$, гдѣ ω —вѣсъ куб. сантиметра воды, равный 1 грамму.

Если выдѣлить двумя параллельными плоскостями элементарный сводъ, длина котораго равнялась бы 1 сант., то давленіе H въ точкѣ B выразится такъ:

$$H = \omega \cdot y_0 \rho_0 = 1 \text{ гр. } 500 \cdot 959 = 479,5 \text{ килогр., фиг. 153.}$$

Полагая прочное сопротивленіе бетона раздробленію 10 килогр. на кв. 1 сант., получимъ наименьшую толщину свода въ замкѣ

$$x = \frac{479,5}{10} = 47,95 \text{ сант. (48 сант.).}$$

Для гидростатической кривой $H = R = \text{Const}$; поэтому толщина свода можетъ быть вездѣ одинаковою.

Отличительною чертой гидростатическихъ сводовъ является значительный горизонтальный распоръ; такъ напримѣръ, для точекъ A или C

$$H = \omega \frac{y_1^2 - y_0^2}{2}$$

т. е. горизонтальный распоръ пропорціоналенъ разности квадратовъ $y_1^2 - y_0^2$; гдѣ y_1 и y_0 —ординаты пяты и замка.

На практикѣ всегда можно замѣнить гидростатическую кривую, требующую непрерывнаго измѣненія радіуса кривизны, коробовою кривою о трехъ или пяти центрахъ въ зависимости отъ требуемой точности.

Общая данныя для проектированія сводовъ.

При нагрузкахъ одностороннихъ или отличающихся отъ разсмотрѣнныхъ выше, наивыгоднѣйшая форма средней дуги свода представить нѣкоторую кривую, вполне опредѣленную при данныхъ: пролетѣ, подъемѣ и нагрузкѣ.

Теоретическое изслѣдованіе этого вопроса на основаніи теоріи упругости представляетъ большія затрудненія.

На практикѣ, кромѣ того, форма сводовъ обусловливается часто архитектурными и строительными соображеніями. Въ

этомъ отношеніи можно замѣтить, что дуга круга, вообще говоря, является невыгодною формою свода, требующей сравнительно много матеріала и вызывающей значительныя мѣстныя напряженія, неодинаково распредѣленныя въ кладкѣ свода.

Сводамъ слѣдуетъ придавать такую форму, чтобы напряженія распредѣлялись въ кладкѣ его возможно равномернѣе; при такихъ условіяхъ матеріалъ свода, какъ пояснено выше, будетъ употребленъ съ наибольшею выгодой, своды получатся наиболѣе легкими и прочными. Въ большинствѣ случаевъ это будутъ коробовыя кривыя о нѣсколькихъ центрахъ.

Общій ходъ работы при проектированіи сводовъ будетъ слѣдующій:

- 1) опредѣляется толщина свода въ замкѣ при данныхъ пролетѣ, подъемѣ и нагрузкѣ;
- 2) задавшись нѣкоторою среднею дугою свода, вычерчивается сводъ и грузовая площадь при самой невыгодной нагрузкѣ.

Послѣ этого, рассматривая сводъ какъ упругую арку съ закрѣпленными точками опоры, можно опредѣлить положеніе кривой давленій. Если окажется, что эта кривая выходитъ изъ средней трети свода или, вообще говоря, вызываетъ значительныя напряженія, то можно измѣнить форму свода, приближая новую среднюю дугу свода къ кривой давленій, и сдѣлать новый расчетъ.

Послѣ нѣсколькихъ подобныхъ попытокъ всегда можно достигнуть требуемаго положенія кривой давленій въ проектируемомъ сводѣ. Эти предварительные расчеты для опредѣленія надлежащей формы свода можно производить, раздѣливъ среднюю дугу свода на небольшое число равныхъ частей; окончательный же расчетъ можно сдѣлать съ желаемою точностью, увеличивъ число этихъ частей.

Толщина свода въ замкѣ должна удовлетворить слѣдующимъ двумъ условіямъ:

- 1) напряженія, которыя получаютъ въ замкѣ свода, не должны превзойти предѣла прочнаго сопротивленія раздробленію даннаго матеріала, и

2) кривая давлѣній, пересѣкая шовъ замка въ средней трети, должна расположиться по возможности ближе къ средней дугѣ свода.

Такъ какъ дѣйствительное положеніе кривой давлѣній при такомъ предварительномъ расчетѣ неизвѣстно, то для удовлетворенія первому условію предполагаемое напряженіе f въ замкѣ должно быть меньше допускаемаго наибольшаго напряженія.

Tolkmitt, ислѣдуя теоретически вопросъ о толщинѣ свода и радіусѣ кривизны въ замкѣ, выражаетъ слѣдующими формулами зависимость между пролетомъ l , радіусомъ кривизны въ замкѣ r , толщиной свода въ замкѣ d , толщиной забутки c , высотой грузовой площади p и допускаемымъ напряженіемъ въ замкѣ q :

$$\frac{l}{d} \cong 10 \sqrt{\frac{q}{6p}}, \text{ или} \\ d \cong \frac{l}{10} \sqrt{\frac{6p}{q}} \quad . \quad . \quad . \quad . \quad . \quad . \quad (1)$$

и

$$r = d \left(\frac{q}{s_0} - 1 \right) \quad . \quad . \quad . \quad . \quad . \quad . \quad (2), \text{ гдѣ}$$

$$s_0 = d + c + \frac{p}{2}, \text{ фиг. 128.}$$

(См. *Leitfaden für das Entwerfen und die Berechnung gewölbter Brücken*, von G. Tolkmitt).

Въ прилагаемой таблицѣ № 9 приведена зависимость между пролетомъ l , подъемомъ h , толщиной въ замкѣ d , напряженіемъ въ замкѣ q , радіусомъ кривизны въ замкѣ r , толщиной забутки c и высотой грузовой площади p .

Таблица составлена для 72 сводовъ при 8 различныхъ пролетахъ отъ 5 метр. до 40 метр. съ подъемами для каждаго пролета въ $\frac{1}{8}$, $\frac{1}{4}$ и $\frac{1}{3}$.

Для каждаго изъ этихъ 24-хъ сводовъ сдѣланъ расчетъ при трехъ различныхъ нагрузкахъ, соотвѣствующихъ какъ по толщинѣ забутки c , такъ и по высотѣ грузовой площади p , тѣмъ условіямъ, въ которыхъ находятся сводчатые мосты на главныхъ желѣзнодорожныхъ линіяхъ, на узкоколейныхъ дорогахъ и на шоссе или городскихъ мостахъ.

Таблица № 9.

Пролетъ въ метрахъ.	Подъемъ.	$l = 0,90$ $p = 1,20$ $z_0 = 1,50 + d.$			$l = 0,60$ $p = 0,80$ $z_0 = 1,00 + d.$			$l = 0,30$ $p = 0,40$ $z_0 = 0,50 + d.$		
		d	q	r	d	q	r	d	q	r
5	$1/8$	0,20	46,7	5,30	0,19	35,2	5,42	0,18	22,3	5,72
	$1/5$	0,29	23,2	3,47	0,25	19,3	3,60	0,22	13,5	3,90
	$1/3$	0,36	13,8	2,31	0,33	11,2	2,45	0,26	8,8	2,75
10	$1/8$	0,35	60,4	11,05	0,32	48,5	11,42	0,26	37,0	12,40
	$1/5$	0,48	32,6	7,43	0,42	27,8	7,80	0,32	23,0	8,70
	$1/3$	0,60	20,0	5,12	0,53	17,4	5,50	0,40	15,1	6,30
15	$1/8$	0,47	73,7	17,15	0,42	62,0	17,90	0,33	50,6	19,80
	$1/5$	0,63	41,6	11,67	0,55	36,5	12,40	0,41	32,2	14,10
	$1/3$	0,79	26,2	8,25	0,68	23,7	8,92	0,50	21,8	10,40
20	$1/8$	0,58	86,6	23,55	0,51	75,0	24,80	0,35	64,4	27,80
	$1/5$	0,75	51,0	16,25	0,65	45,7	17,35	0,49	41,4	20,00
	$1/3$	0,95	32,4	11,60	0,80	30,1	12,60	0,58	29,1	15,00
25	$1/8$	0,68	99,5	30,30	0,59	88,0	32,00	0,44	79,0	36,50
	$1/5$	0,88	59,2	21,00	0,74	55,0	22,65	0,54	52,0	26,50
	$1/3$	1,09	38,7	15,20	0,90	37,0	16,60	0,65	36,7	20,00
30	$1/8$	0,77	112,0	37,20	0,65	102,0	39,60	0,49	93,0	45,50
	$1/5$	0,98	68,6	26,10	0,82	64,6	28,30	0,59	63,0	33,50
	$1/3$	1,20	45,2	18,90	1,00	43,8	20,90	0,70	45,0	25,50
35	$1/8$	0,84	126,2	44,50	0,72	115,0	47,40	0,52	110,0	55,10
	$1/5$	1,07	77,5	31,20	0,90	73,6	34,00	0,63	74,5	40,90
	$1/3$	1,30	52,1	22,90	1,08	50,9	25,30	0,74	53,9	31,40
40	$1/8$	0,91	139,1	51,80	0,78	128,5	55,60	0,56	124,0	65,10
	$1/5$	1,15	87,5	36,80	0,98	84,0	40,10	0,67	86,1	48,70
	$1/3$	1,40	58,9	27,00	1,15	58,4	30,10	0,78	63,3	37,70

Въ этой таблицѣ всѣ размѣры выражены въ метрахъ.

Относительно нагрузокъ замѣтимъ, что собственный вѣсъ сводчатыхъ мостовъ и ихъ постоянной нагрузки (забутки, балласта) значительно меньше собственного вѣса соответствующихъ желѣзныхъ мостовъ; поэтому влияние временной нагрузки въ сводчатыхъ мостахъ меньше нежели въ желѣзныхъ. Кромѣ того, балластъ и засыпки смягчаютъ удары и распределяютъ давленіе колесъ на нѣкоторую площадь, такъ что нельзя разсчитывать на дѣйствіе значительныхъ сосредоточенныхъ грузовъ. Поэтому при разсчетѣ сводчатыхъ мостовъ слѣдуетъ замѣнять данные сосредоточенные грузы эквивалентною равномерно распределенною нагрузкой.

Для удобства графическаго разсчета величину временной нагрузки выражаютъ не въ вѣсовыхъ единицахъ, а въ объемныхъ, приравнивая ее къ вѣсу извѣстнаго объема матеріала. При такихъ условіяхъ полная нагрузка свода отъ собственного вѣса и временнаго груза будетъ пропорціональна нѣкоторой грузовой площади. Такимъ образомъ, если длина выдѣленнаго элементарнаго свода равна 1 метру, то высотѣ грузовой площади равной p метр. соответствуетъ давленіе $p \frac{\text{куб. метр.}}{\text{кв. метр.}}$. Если же 1 куб. метръ матеріала свода вѣситъ a тоннъ, то та же высота p метръ соответствуетъ нагрузкѣ $ap \frac{\text{тоннъ}}{\text{кв. метр.}}$.

Подобнымъ же образомъ могутъ быть выражены и давленія въ замкѣ свода. Давленіе на единицу площади можно выразить высотой нѣкотораго каменнаго параллелоипеда q , основаніе котораго равно единицѣ.

Если требуется выразить напряженіе въ вѣсовыхъ единицахъ (килогр. на кв. сантим.), то получимъ

$$q \cdot \frac{\text{куб. метр.}}{\text{кв. метр.}} = a \cdot q \frac{\text{тоннъ}}{\text{кв. метр.}} = \frac{a}{10} q \text{ килогр. на кв. сантим.},$$

гдѣ a —вѣсъ 1 куб. метра матеріала свода въ тоннахъ или его удѣльный вѣсъ.

Для опредѣленія эквивалентной равномерно распределенной нагрузки p въ случаѣ нѣсколькихъ сосредоточенныхъ

грузовъ слѣдуетъ размѣстить болѣе тяжелые сосредоточенные грузы на одной половинѣ свода (отъ замка до опоры); сумма этихъ грузовъ, раздѣленная на площадь, по которой они распределены, выразитъ высоту искомой равномерно распределенной нагрузки. При малыхъ пролетахъ сосредоточенныя нагрузки отъ тѣлѣгъ болѣе опасны, нежели нагрузки отъ толпы, вызывающей большія напряженія въ мостахъ значительныхъ пролетовъ.

Разстояніе между осями наиболѣе тяжелыхъ тѣлѣгъ—3,5 метра, такъ что при пролетахъ 6—7 метр. принимается въ расчетъ давленіе отъ одной оси. Въ паровозахъ разстояніе между осями около 1,5 метра, и поэтому при пролетахъ 10 метр. и болѣе надо рассчитывать на давленіе отъ трехъ осей на полусводъ, что составитъ при давленіи 7 тоннъ на колесо $7 \times 6 = 42$ тонны.

Можно предположить, что давленіе это распределяется помощью рельсовъ, шпалъ и балласта на площадь, ширина которой отъ 3,5 метр. до 4 метр. и длина—5 метр., т. е. на площадь

$$3,5 \times 5 = 17,5 \text{ кв. метр. или } 4 \times 5 = 20 \text{ кв. метр.}$$

Если принять вѣсь 1 куб. метра кирпичной кладки $a = 1,8$ тоннъ, бетонной или бутовой $a_1 = 2,3$ тоннъ, то высота p грузовой площади выразится въ обоихъ случаяхъ:

$$p = \frac{42}{1,8 \cdot 17,5} = 1,3 \text{ тон. и}$$

$$p_1 = \frac{42}{2,3 \cdot 20} = 0,91 \text{ тон.}$$

Равномерно распределенная нагрузка для шоссеинаго моста при пролетѣ $l = 6$ метр. и односторонней нагрузкѣ одною осью тѣлѣги и давленіемъ 6 тоннъ на каждое колесо выразится $\frac{2 \cdot 6}{3,5 \cdot 8} = 1,14$ тон. на кв. метръ, гдѣ 3,5 метра—ширина той площади, по которой распределится давленіе отъ 2-хъ колесъ.

Высота же p грузовой площади, приведенной къ вѣсу матеріала свода, опредѣлится:
для свода кирпичнаго

$$p = \frac{1,14}{1,8} = 0,64 \text{ метра,}$$

для бутового

$$p_1 = \frac{1,14}{2,3} = 0,50 \text{ метра.}$$

Наибольшая односторонняя нагрузка железнодорожных мостовъ пролетомъ 22 метра выразится при тѣхъ же данныхъ:

$$\frac{60}{3,5 \cdot 11} = 1,56 \text{ тон. на кв. метр. или}$$

$$p = \frac{1,56}{1,8} = 0,87 \text{ метра}$$

$$p_1 = \frac{1,56}{2,3} = 0,68 \text{ метра.}$$

Нагрузка отъ толпы людей принимается отъ 0,4 до 0,55 тон. на квадрат. метръ.

Въ прилагаемой таблицѣ № 10 вычислены значенія высоты p грузовой площади, приведенной къ вѣсу кирпичной и бутовой кладки для разныхъ мостовъ.

Таблица № 10.

Сводчатые мосты.	Пролетъ (въ метрахъ).	Высота p (въ метрахъ) для сводовъ.	
		Кирпичныхъ ($a = 1,8$).	Бутовыхъ ($a = 2,3$).
Железнодорожные . .	меньше 12 . . .	1,4	1,10
	отъ 12 до 24 . . .	1,20	0,94
	больше 24	0,90	0,70
Шоссейные	меньше 10. . . .	0,56	0,44
	отъ 10 до 20. . .	0,44	0,34
	больше 20. . . .	0,32	0,24
Пѣшеходные . . .	—	0,32	0,24

Примѣняются также слѣдующія формулы, предлагаемыя Engesser'омъ для расчета желѣзныхъ мостовъ:

Если обозначимъ длину пролета чрезъ l метр. и допустимъ, что при односторонней нагрузкѣ давленіе отъ одного пути

распредѣляется по площади шириною 3,5 метра, то получимъ слѣдующія выраженія для высоты p приведенной грузовой площади при вѣсѣ 1 куб. метра матеріала a тоннъ:

1) для желѣзнодорожныхъ мостовъ съ пролетами отъ 10 до 50 метр.

$$p = \frac{1}{a} \left(1,20 + \frac{13,1}{l} \right),$$

2) для тяжелыхъ нагузокъ городскихъ уличныхъ мостовъ

$$p = \frac{1}{a} \left(0,44 + \frac{2,8}{l} \right),$$

3) для обыкновенныхъ дорожныхъ мостовъ

$$p = \frac{1}{a} \left(0,36 + \frac{2,4}{l} \right).$$

Для опредѣленія толщины свода въ замкѣ при предварительныхъ расчетахъ примѣняютъ иногда опытные формулы, составленныя на основаніи сравненія существующихъ сводовъ. Недостатки ихъ заключаются въ томъ, что формулы различныхъ авторовъ даютъ при однихъ и тѣхъ же условіяхъ значительную разницу въ толщинѣ свода и при этомъ въ большинствѣ случаевъ не принимаютъ во вниманіе рода нагрузки и ея распредѣленія. Если обозначимъ чрезъ l (въ метрахъ) пролетъ, то толщина свода въ замкѣ d по Ронделе выразится:

I) Въ кирпичныхъ сводахъ полуциркульныхъ:

а) при горизонтальной забуткѣ, касающейся замка свода,

$$d = \frac{l}{48};$$

б) при забуткѣ до половины высоты свода $d = \frac{l}{36}$, если при этомъ забутка надъ ключемъ ограничена линіею параллельною внутренней производящей свода;

с) если при той же толщинѣ забутка ограничена наклонными касательными плоскостями, то $d = \frac{l}{32}$.

II) Толщина сводовъ изъ бута увеличивается въ 1,5—1,6 раза.

III) При правильной кладкѣ изъ тесанныхъ камней для

круговыхъ и эллиптическихъ сводовъ, толщина которыхъ въ пятахъ вдвое больше толщины въ замкѣ, зависимость между пролетомъ и толщиной свода въ замкѣ выражается:

1) для сильно нагруженныхъ мостовыхъ сводовъ

$$d = 0,04 l + 0,32 \text{ метра,}$$

2) для сводовъ нагруженныхъ средней прочности

$$d = 0,02 l + 0,16 \text{ метра,}$$

3) для ненагруженныхъ сводовъ

$$d = 0,01 l + 0,08 \text{ метра.}$$

По Perronet для мостовыхъ сводовъ

$$d = 0,035 l + 0,32 \text{ метра}$$

при $l < 24$ метр.; для большихъ пролетовъ $d = \frac{l}{24}$.

Наибольшія напряженія, допускаемыя въ кладкѣ сводовъ.

Допускаемыя напряженія въ сооруженіяхъ составляютъ нѣкоторую часть временнаго сопротивленія матеріала, которая можетъ быть выражена дробью $\frac{1}{n}$; знаменатель n выражаетъ какъ бы извѣстный запасъ прочности въ зависимости отъ свойствъ матеріала, его однородности, тѣхъ случайныхъ или не принятыхъ при разсчетѣ силъ и условій, дѣйствію которыхъ будетъ подвергаться сооруженіе, и, наконецъ, въ зависимости отъ точности разсчета и тщательности постройки и ея назначенія.

Обыкновенно коэффициентъ прочности для сводовъ $n=10$, т. е. допускаемыя напряженія составляютъ $\frac{1}{10}$ временнаго сопротивленія кладки раздробленію. Относительно этого вопроса можно замѣтить, что величина n зависитъ главнымъ образомъ отъ точности разсчета; чѣмъ ближе разсчетныя напряженія будутъ подходить къ тѣмъ, которые явятся въ дѣйствительности, тѣмъ меньше величина n . Принятый коэффициентъ прочности n долженъ относиться къ наиболѣе опаснымъ сѣченіямъ свода, которые являются главнымъ образомъ вслѣдствіе невыгодной формы сводовъ.

Временное сопротивленіе кладки свода меньше временнаго сопротивленія камней, входящихъ въ составъ кладки.

Опыты Neumann'a и Böhmе *) показали, что сопротивление раздробленію кирпичной кладки составляет 0,44 до 0,63 сопротивленія кирпича, въ зависимости отъ состава раствора.

Принимая запасъ прочности $n = 10$, получимъ (Böhmе Centralbl. d. Bauw. 1883 г. стр. 320) допускаемые напряженія: въ кирпичной кладкѣ на известковомъ растворѣ—9 килогр. на кв. сант., и для лучшей клинкерной кладки на цементномъ растворѣ—20 килогр. на кв. сант.

Временное сопротивление кладки изъ песчаника на цементномъ растворѣ по опытамъ Reinhard'a отъ 340 до 400 килогр. на кв. сант. и для гранитной—450 килогр. на кв. сантим.

По даннымъ строительной инспекціи въ Берлинѣ и строительнаго отдѣла министерства публичныхъ работъ (1890 г.) допускаются слѣдующія напряженія въ постройкахъ, подверженныхъ сжатію:

Обыкновенная кирпичная кладка	7 килогр. на кв. сант.
Кирпичная кладка на цементномъ растворѣ .	11—12 „
Лучшая кирпичная кладка изъ клинкера . .	12—14 „
Бетонъ обыкновенный	10 „
Песчаникъ въ зависимости отъ твердости .	15—30 „
Гранитъ	45 „

По опредѣленію Reinhard'a наибольшія дѣйствительныя напряженія въ существующихъ сводчатыхъ мостахъ слѣдующія:

Claixbrücke ($l = 50$ метр.) — 21 килогр. на кв. сант.

Dorabrücke ($l = 45$ метр.) — 25,0 килогр. на кв. сант.

Бетонный мостъ у Erbach'a ($l = 25$ метр.) — 29,0 килогр. на кв. сант.

Nagoldbrücke ($l = 33$ метра) — 29,3 килогр. на кв. сант.

*) Deutsche Bauzeitung 1867, ст. 1.
Zeitschr. f. Bauw. 1880, ст. 553.

Mungbrücke ($l = 30,4$ метра) — 45,0 килогр. на кв. сант.

Вообще напряжения въ большинствѣ существующихъ мостовъ меньше $\frac{1}{10}$ временнаго сопротивленія раздробленію матеріала.

Разсчетъ опоръ свода.

Опоры передаютъ давленіе свода основанію, составляя какъ бы продолженіе свода, и поэтому конструкція и разсчетъ ихъ зависятъ отъ тѣхъ условій, въ которыхъ находится проектируемый сводъ.

Наивыгоднѣйшая форма и размѣры опоръ опредѣляются въ каждомъ частномъ случаѣ, пользуясь слѣдующимъ общимъ пріемомъ.

Кривая давленій свода продолжается въ проектируемой опорѣ, для чего, задавшись извѣстными размѣрами опоры, суммируютъ графически всѣ силы, дѣйствующія на опору. Силы эти будутъ слѣдующія:

- 1) вѣсъ опоры и нагрузка, приложенная непосредственно къ опорѣ;
- 2) давленіе свода, и
- 3) давленіе земли.

Первыя силы и ихъ точки приложенія всегда легко опредѣлить. Давленіе свода вполне опредѣлится величиной крайняго луча, проходящаго черезъ шовъ пята; давленіе же земли обыкновенно не принимается въ разсчетъ, такъ какъ оно имѣетъ значительное вліяніе на форму и размѣры опоръ только въ подземныхъ сводахъ (тоннеляхъ). Въ обыкновенныхъ сводахъ, напримѣръ въ мостахъ, давленіе земли на береговой устой дѣйствуетъ обратно горизонтальному распору, и поэтому въ нѣкоторыхъ случаяхъ можно принять во вниманіе значительное давленіе земли и соотвѣтственно этому уменьшить размѣры опоръ.

При подвижной нагрузкѣ давленіе свода на опору будетъ величиною переменною, и поэтому въ разсчетъ принимается наиболѣе опасное изъ этихъ давленій. Если на промежуточный устой опираются два одинаковые свода съ рав-

ными нагрузками, то равнодѣйствующая всѣхъ силъ, приложенныхъ къ опорѣ, будетъ вертикальна и пройдетъ чрезъ средину опоры. Для расчета надо взять самое невыгодное распредѣленіе нагрузокъ, когда, напримѣръ, одинъ пролѣтъ нагруженъ возможно больше, другой смежный — возможно меньше. Если своды, лежащіе на одной опорѣ, несимметричны относительно ея оси, то полное давленіе на опору выразится какъ равнодѣйствующая всѣхъ силъ, приложенныхъ къ опорѣ.

Для примѣра, опредѣлимъ размѣры опоры свода, представленнаго въ фиг. 111.

Условіе равновѣсія опоры, вообще говоря, выразится слѣдующимъ образомъ, если пренебречь давленіемъ земли. Обозначимъ чрезъ V —вертикальную реакцію опоры, H —горизонтальный распоръ, фиг. 116, P —равнодѣйствующую вѣса опоры и соотвѣтствующей нагрузки $edgf$; чрезъ h —вертикальное разстояніе отъ наружнаго ребра (a) опоры до H ; чрезъ x —искомую толщину опоры; m —горизонтальное разстояніе отъ внутренняго ребра (b) опоры до силы V .

Для устойчивости необходимо, чтобы равнодѣйствующая всѣхъ этихъ силъ пересѣкла подошву опоры между точками a и b , или въ крайнемъ случаѣ прошла при наибольшомъ горизонтальномъ распорѣ чрезъ точку a , т. е. чтобы моментъ всѣхъ внѣшнихъ силъ относительно точки a равнялся нулю.

Моментъ горизонтальнаго распора H выразится $(+ H \cdot h)$; моментъ вѣса опоры и нагрузки $edgf = \{-P \cdot (x-n)\}$, гдѣ n —разстояніе отъ P до точки b ; моментъ силы V —чрезъ $\{-V \cdot (x-m)\}$.

Такимъ образомъ получимъ уравненіе

$$H \cdot h - P(x-n) - V \cdot (x-m) = 0, \quad . \quad . \quad . \quad (1)$$

изъ котораго опредѣлится величина x .

Переходя къ частному случаю, допустимъ, фиг. 111, что общій вѣсъ опоры и соотвѣтствующей нагрузки выразится площадью $abcd$, средняя высота которой равна по чертежу 5 8 метр.

Вѣсъ 1 куб. метра кладки и засыпки примемъ равнымъ 2 тоннамъ. Если обозначимъ толщину опоры чрезъ x , то вѣсъ ея и засыпки *gcdk* выразится

$$P = 2 \times 5,8 \cdot x;$$

моментъ же P относительно точки a —

$$P(x-n) = \frac{2 \times 5,8 \cdot x \cdot x}{2} = 5,8 \overline{x^2}$$

Изъ фиг. 111 получимъ:

$$h = 3,23 \text{ метра}$$

$$m = 0,14 \text{ метра,}$$

а изъ предыдущаго разсчета свода:

$$H = 29,69 \text{ тоннъ}$$

$$V = 24,25 \text{ тоннъ.}$$

Поэтому уравненіе (1) обратится въ

$$29,69 \times 3,23 - 5,8x^2 - 2 \times 455 (x - 0,14) = 0 \quad \text{или}$$

$$5,8x^2 + 24,55x - 99,34 = 0.$$

Отсюда:

$$x = \frac{-24,55 \pm \sqrt{24,55^2 + 4 \times 5,8 \times 99,34}}{2 \times 5,8} = 2,54 \text{ метра.}$$

Для повѣрки отложимъ $ba = 2,54$ метр., опредѣлимъ величину $P = 2 \times 5,8 \times 2,54 = 29,46$ тоннъ и выразимъ векторомъ P , проходящимъ чрезъ центръ тяжести площади $abcd$. Равнодѣйствующая P_n реакціи опоры $R = 38,35$ тоннъ должна пройти чрезъ точку a , если разсчетъ опоры сдѣланъ вѣрно. Но при такомъ положеніи равнодѣйствующей давленіе на единицу поверхности основанія и подошвы фундамента будетъ слишкомъ велико, и сама опора будетъ находиться въ равновѣсіи неустойчивомъ. Чтобы получить меньшія напряженія и извѣстный запасъ устойчивости, надо уширить опору такъ, чтобы кривая давленій $a'oa$ расположилась наивыгоднѣйшимъ образомъ и не вызывала въ кладкѣ опасныхъ напряженій. Въ данномъ случаѣ можно сдѣлать наружную поверхность опоры съ уступами шириною 0,21 метра, высо-

тою—0,60 метра; придавъ еще уширение фундаменту, получимъ общую ширину основанія $mn = 3,55$ метра. При такомъ устройствѣ можно считать, что вѣсъ опоры и ея нагрузки увеличится и выразится площадью трапеціи $adpn$, умноженной на вѣсъ 1 куб. метра кладки, т. е.

$$p = \frac{2(5,7 + 4,85) \cdot 0,85}{2} = 8,96 \text{ тоннъ.}$$

Новая равнодѣйствующая P вѣса опоры и соответствующей нагрузки выразится

$$P_1 = P + p = 29,46 \text{ тоннъ} + 8,96 \text{ тоннъ} = 38,42 \text{ тоннъ.}$$

Положеніе P_1 опредѣлится изъ уравненія моментовъ P и p относительно любой точки b :

$$x = \frac{29,46 \times 1,27 + 8,96 \times 2,97}{29,46 + 8,96} = 1,67 \text{ метра.}$$

Отложивъ $bt = 1,67$ метра, проведемъ вертикальную прямую to_1 до пересѣченія съ кривой давленій въ точкѣ o_1 и отложимъ $o_1r = P_1 = 32,42$ тоннъ и $o_1s = R = 38,35$ тоннъ.

Новая равнодѣйствующая всѣхъ силъ o_1q пересѣчетъ подошву опоры въ точкѣ a_1 , причемъ ширина подошвы $mn = 3,55$ метр., разстояніе отъ точки a_1 до центра подошвы t_1

$$t_1 a_1 = 1,05 \text{ метра;}$$

вертикальное давленіе въ точкѣ a_1 равно

$$V_1 = V + P_1 = 24,55 \text{ тоннъ} + 38,42 \text{ тоннъ} = 62,97 \text{ тоннъ}$$

на 1 погон. метръ длины свода.

Наибольшее напряженіе въ точкѣ n опредѣлится по формулѣ Навье

$$f = \frac{62970}{100.355} \left(1 + \frac{6.105}{355} \right) = 4,9 \text{ килогр. на кв. сант.}$$

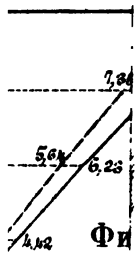
Если основаніе не можетъ выдержать такого давленія, то надо снова уширить опору, или укрѣпить основаніе *).

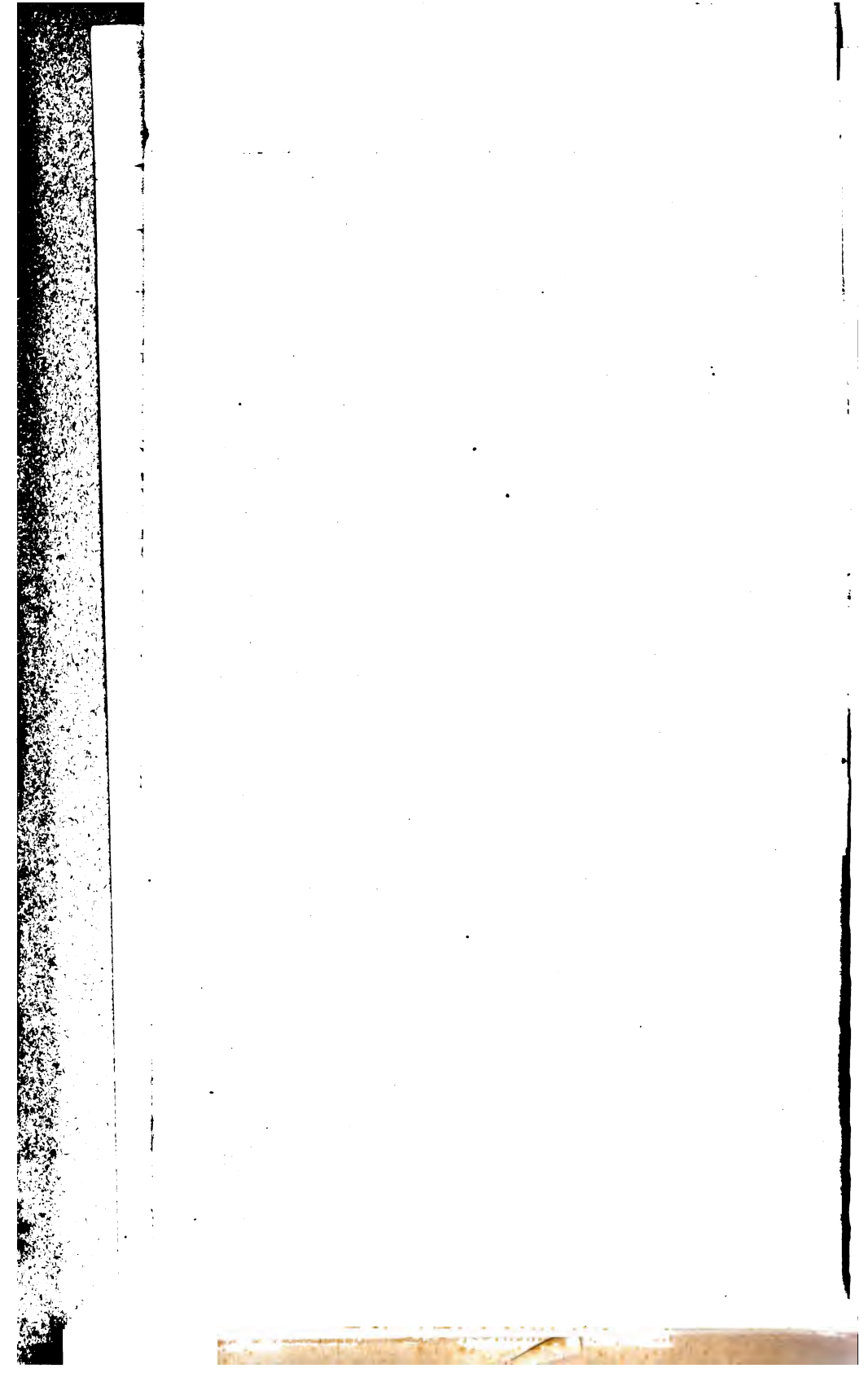
*) Источниками при составленіи этой статьи служили:

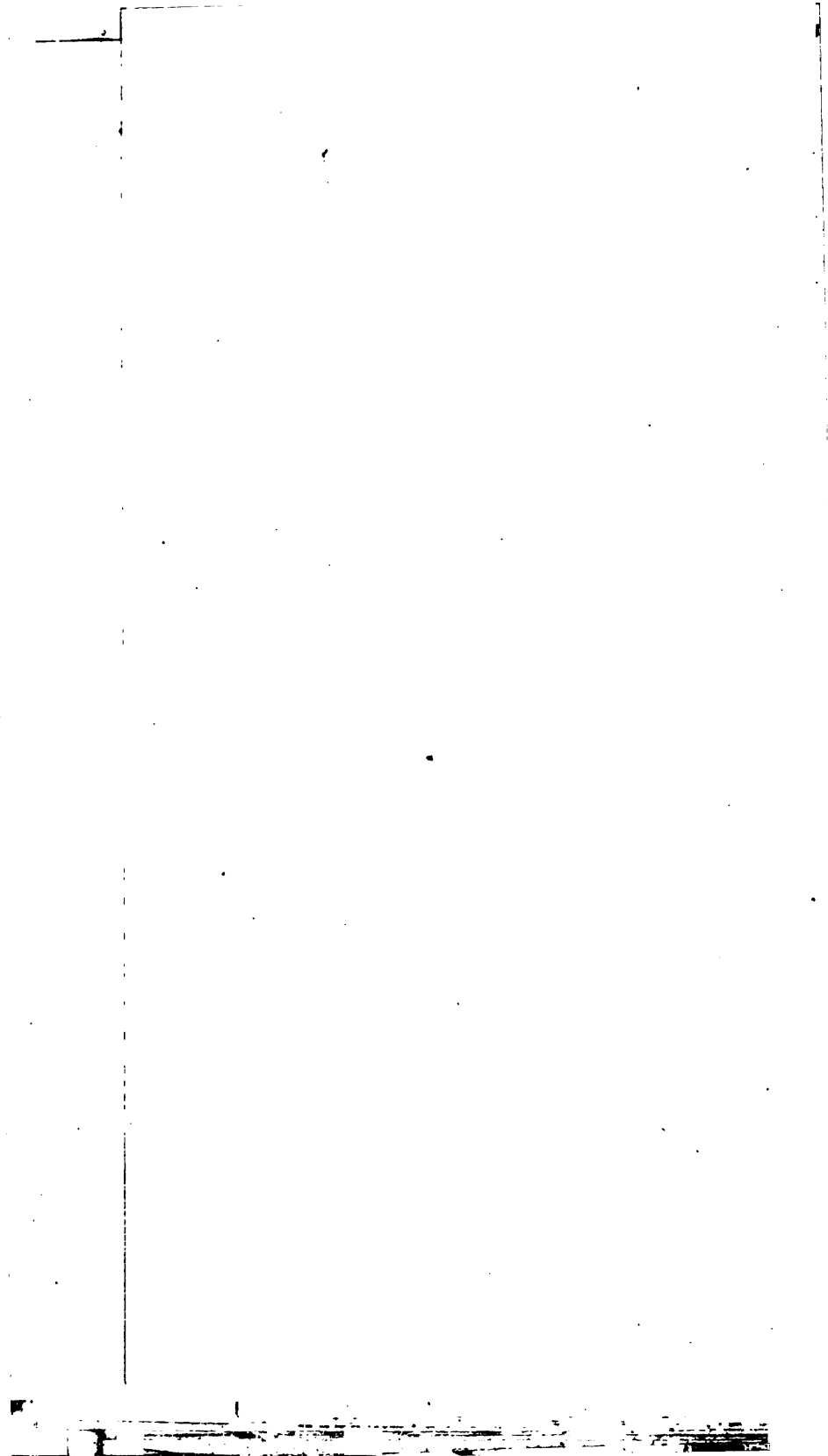
Х. С. Головинъ. Упругія арки.

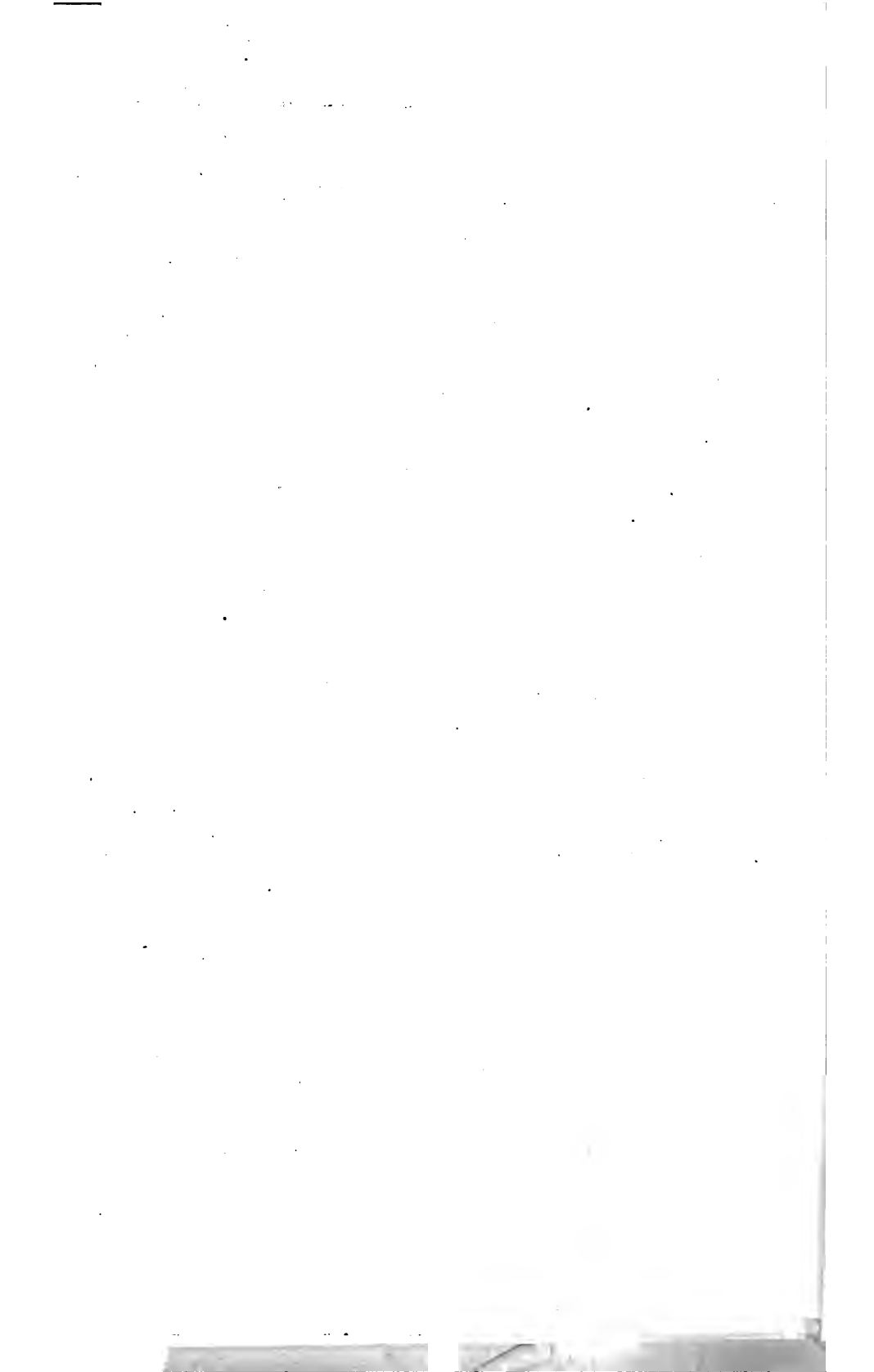
К. Бахъ. Упругость и крѣпость матеріаловъ.

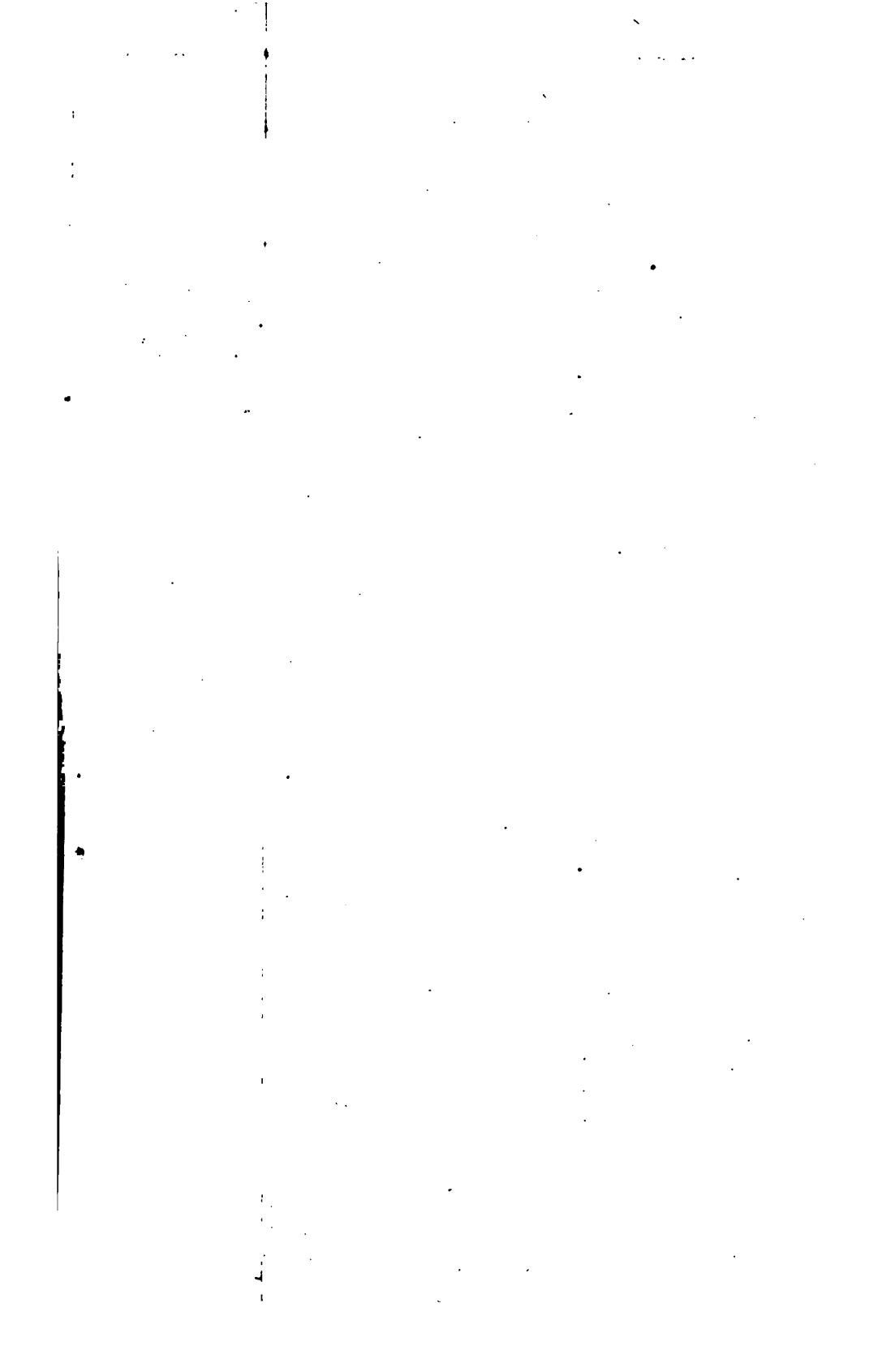
- Г. ПАУКЕРЪ. Строительная механика.
- В. КЕКЪ. Основы расчета строительныхъ сооружений по методамъ теории упругости.
- WINKLER. Beitrag zur Theorie des Bogenträger.
- A. FÖPPL. Theorie der Gewölbe.
- WEYRAUCH. Die elastischen Bogenträger.
- MÜLLER-BRESLAU. Elasticitätstheorie der Tonnengewölbe.
- Elasticitätstheorie nach der Stützlinie geformten Tonnengewölbe.
- Die graphische Statik der Bauconstructionen.
- G. TOLKMITT. Leitfaden für das Entwerfen und die Berechnung gewölbter Brücken.
- W. RITTER. Die Statik der Tunnelgewölbe.
- LUDWIG DEBO. Die Lage der neutralen Schichte bei gebogenen Körpern.
- GUNSCHKE. Die Theorie der gewöhnlichen Bogen.
- REHBEIN. Ausgewählte Monier und Beton Bauwerke.
- GASTNER. Der Cement und seine rationelle Verwerthung zu Bauzwecken. Bericht Gewölbe-Ausschusses.
- ALLAN. Theory of arches.
- CAIN. Voussoir arches applied to stone bridges, tunnels and groined arches.
- Theory of voussoir arches.
- Theory of solid and braced elastic arches.
- E. HYDE. Skew arches.
- J. NEWMAN. Notes on concrete and works in concrete.
- RANKINE. Applied mechanics.
- JEAN RESAL. Emplacement, debouchés, fondations, ponts en maçonnerie.
- ТЕДЕСКО. Tables et graphiques pour le calcul des arches surbaissées en maçonnerie.
- FOUUVIOLAUT. Mémoire sur la statique graphique des arcs élastiques.
- ОТДѢЛЬНЫЯ СТАТЬИ ЖУРНАЛОВЪ: Zeitschrift des Vereines Deutscher Ingenieure, Zeitschrift des Oester. Ingenieur-und-Architekten-Vereins, и др.
- Справочная книга «Hütte».

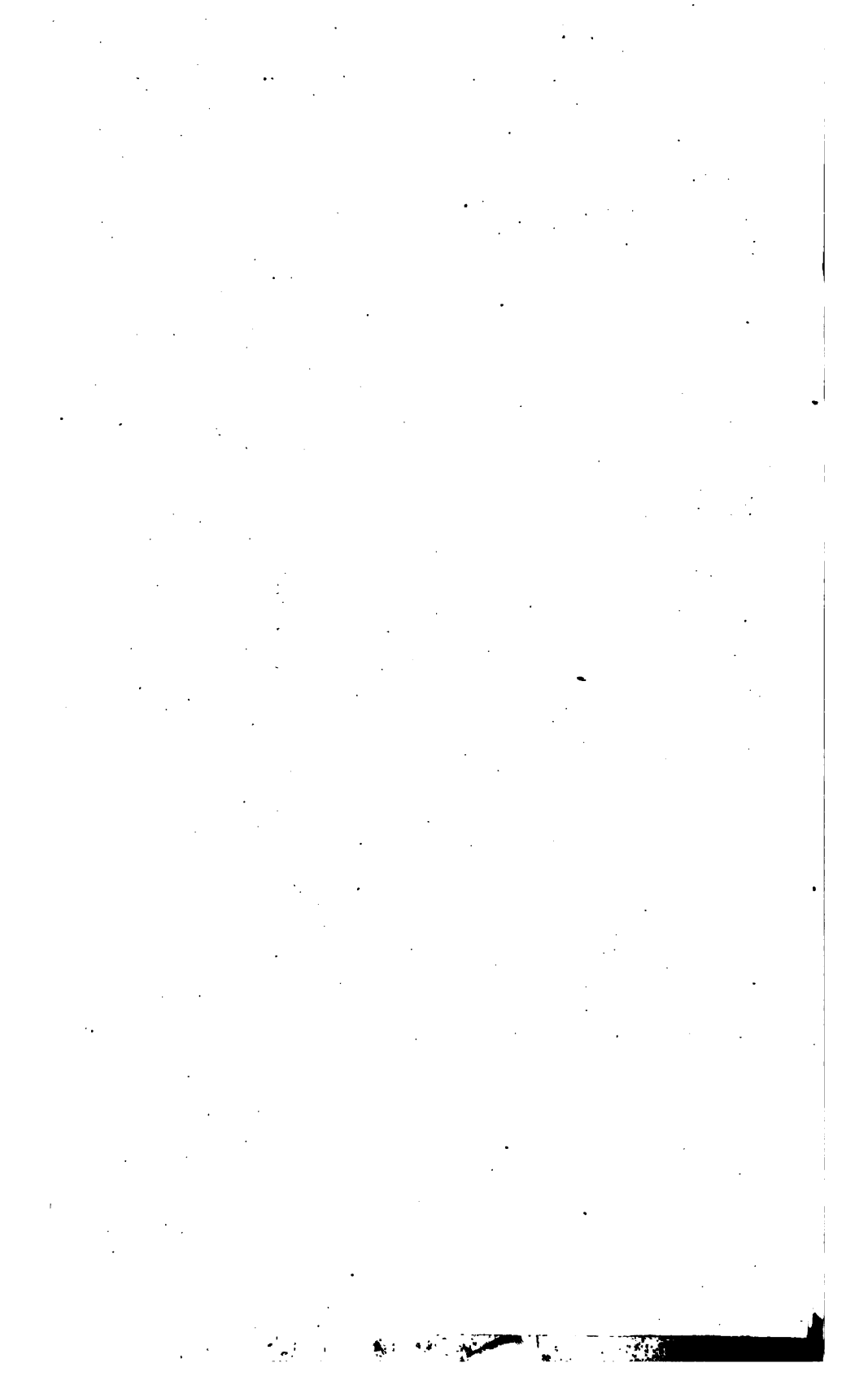






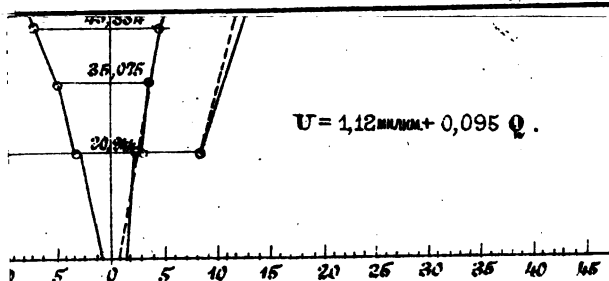




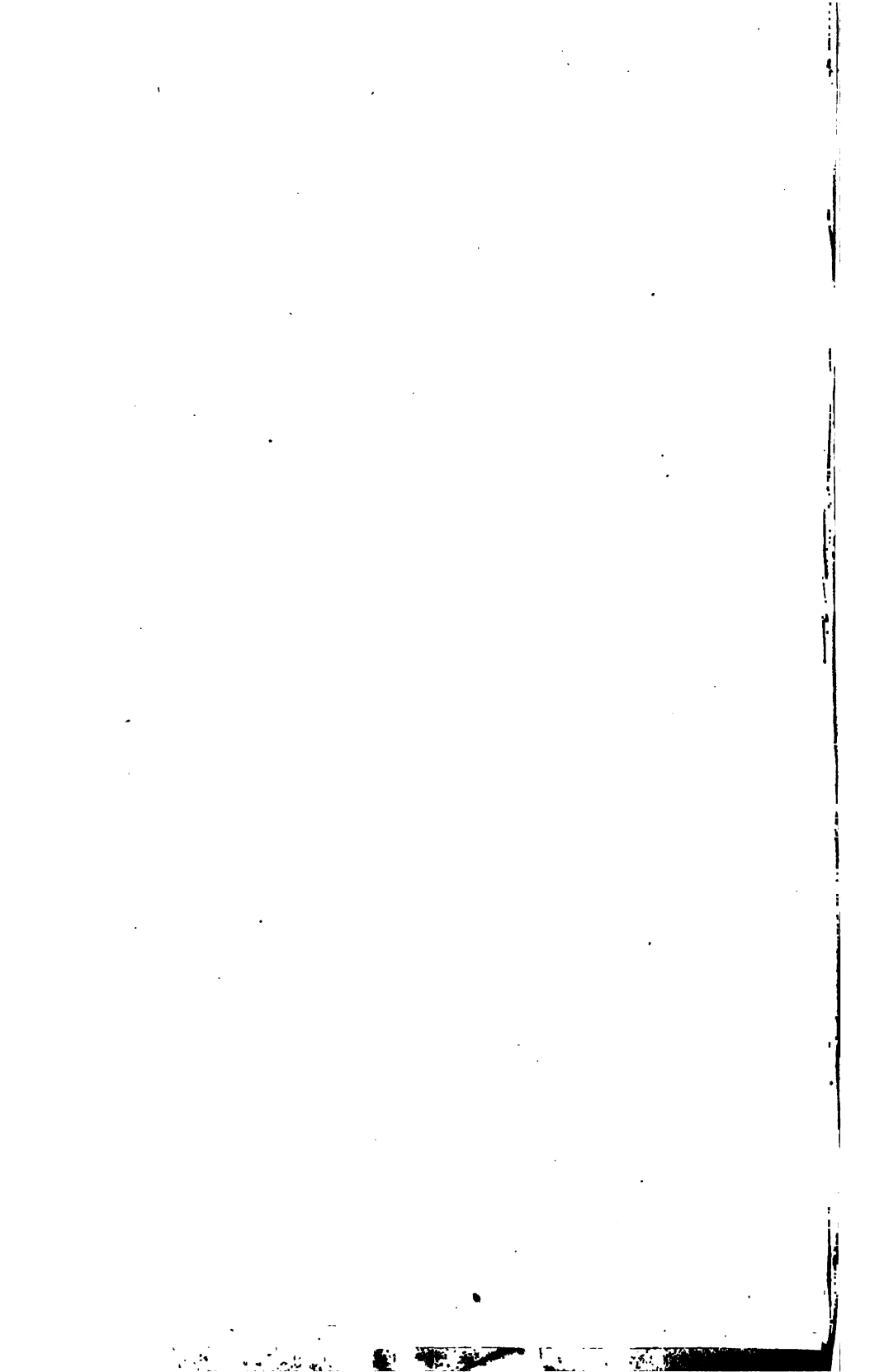


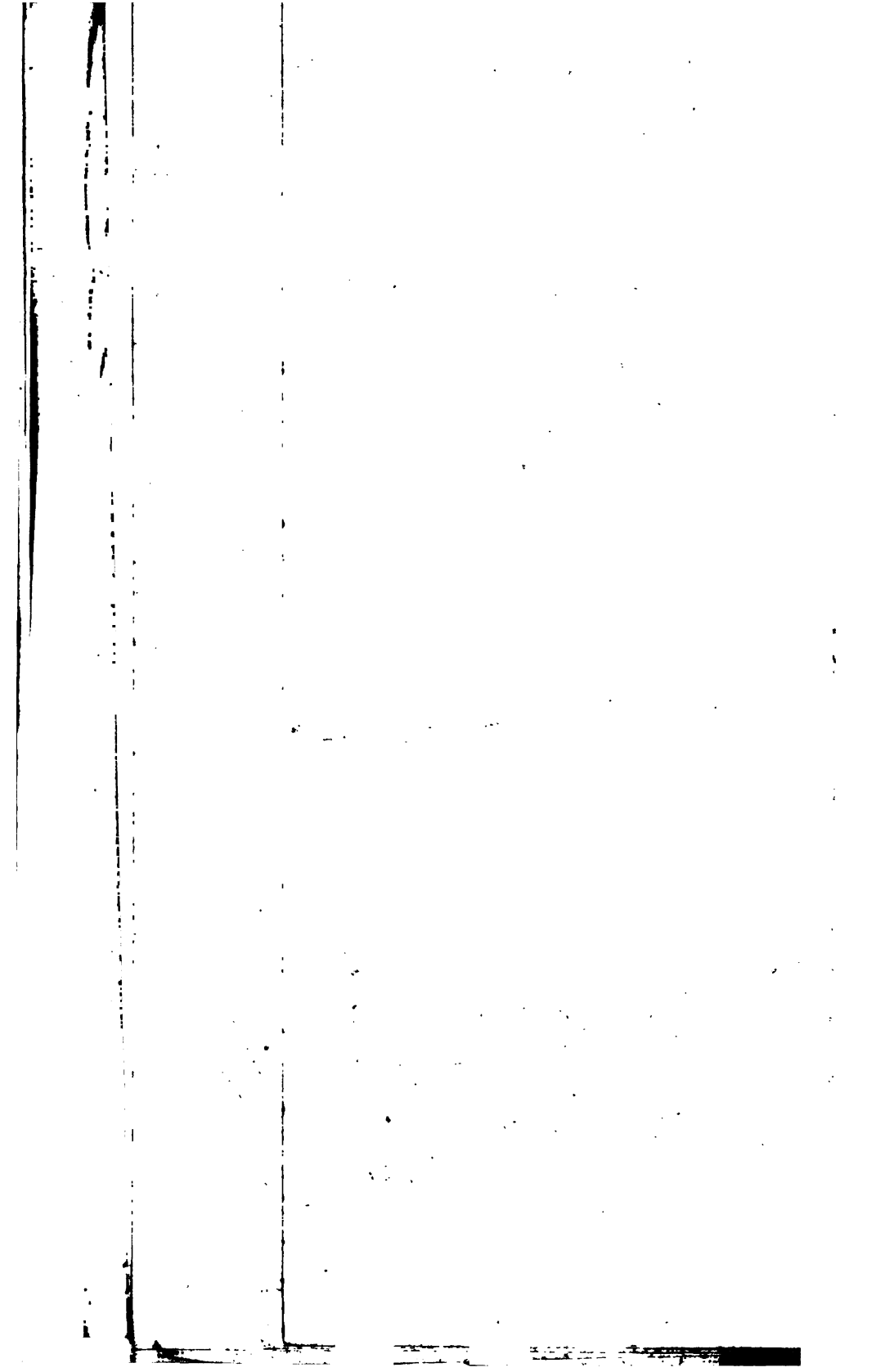
Черт IV.

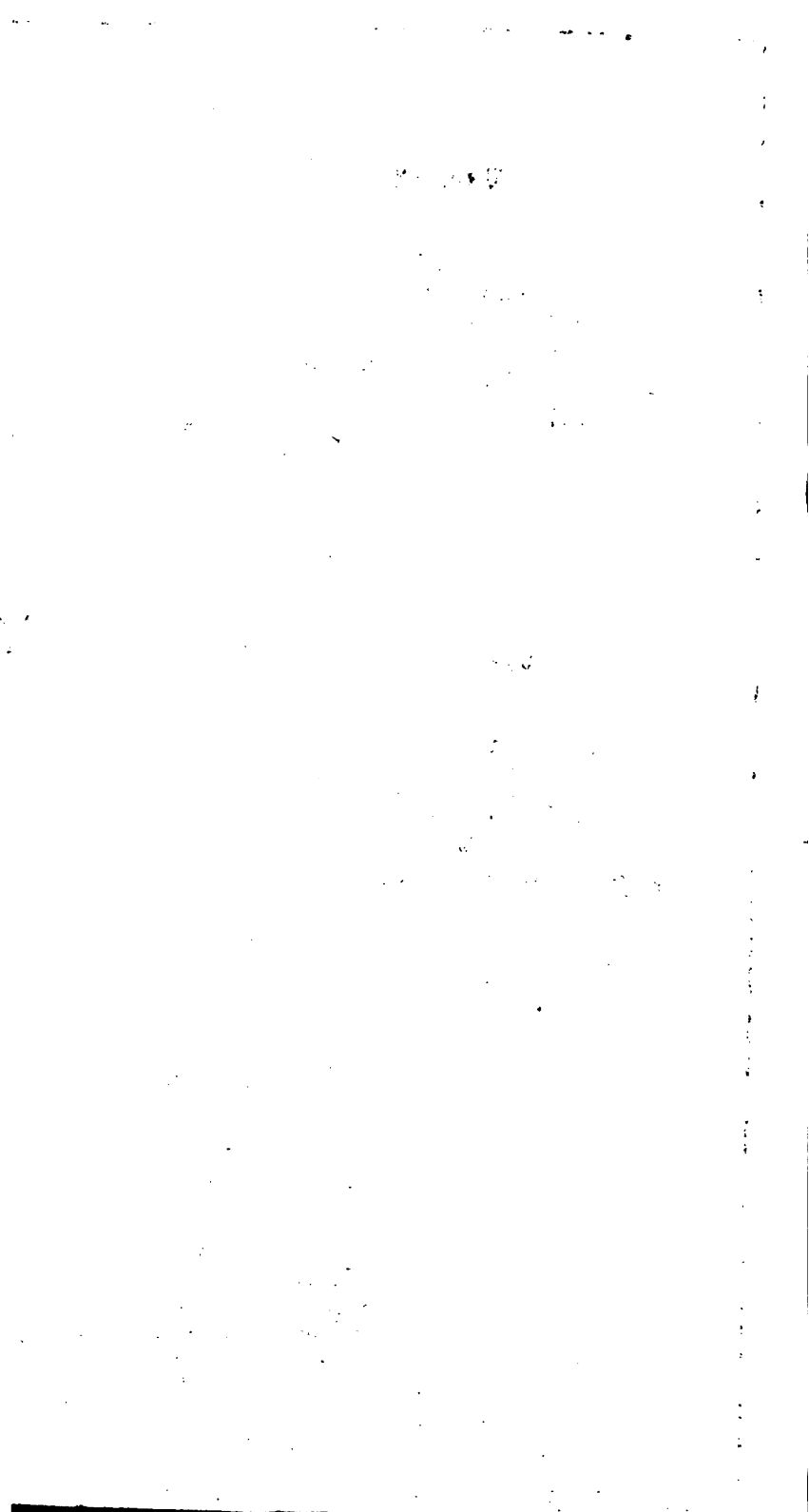
Средняя линия по высоте

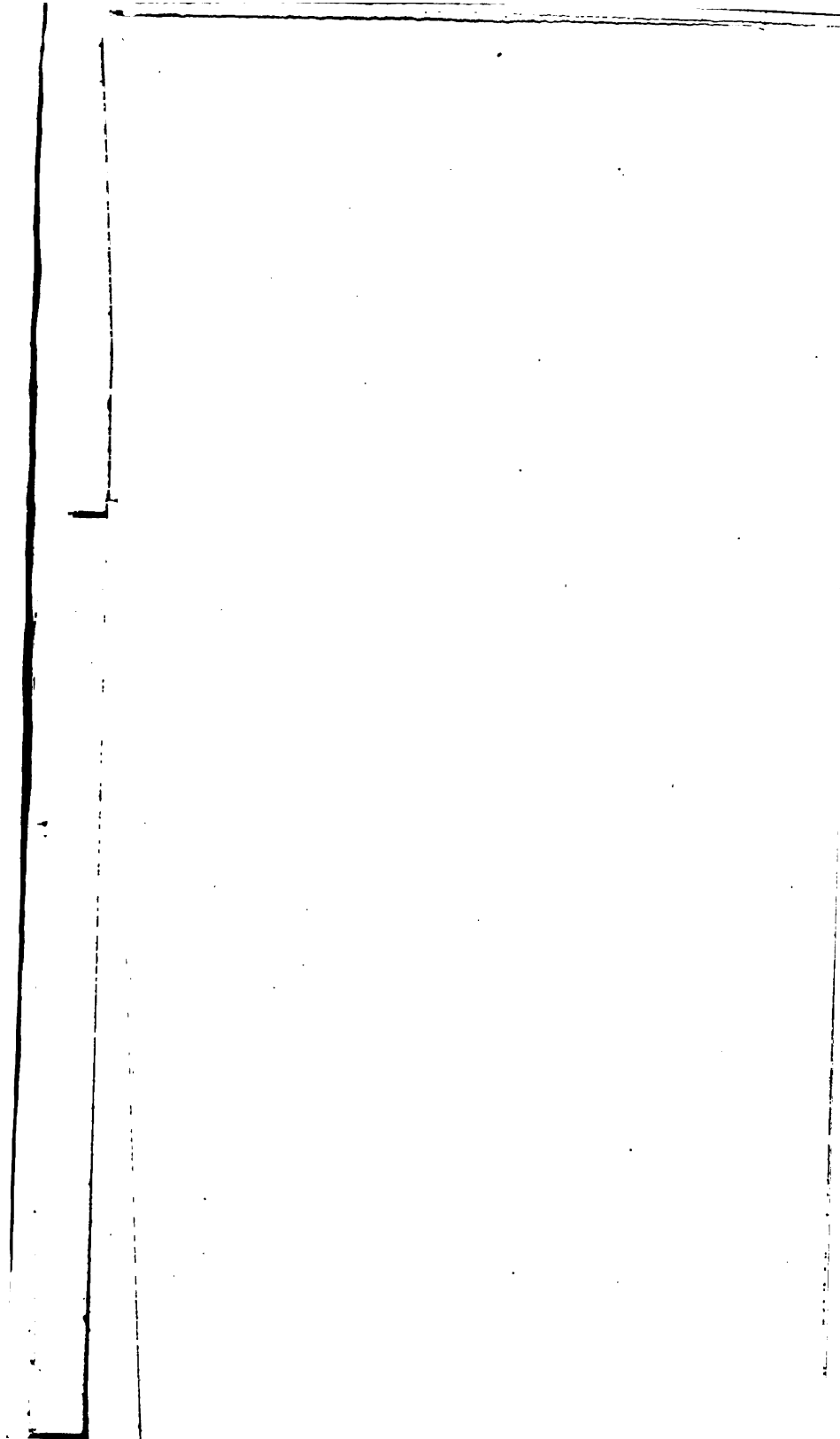


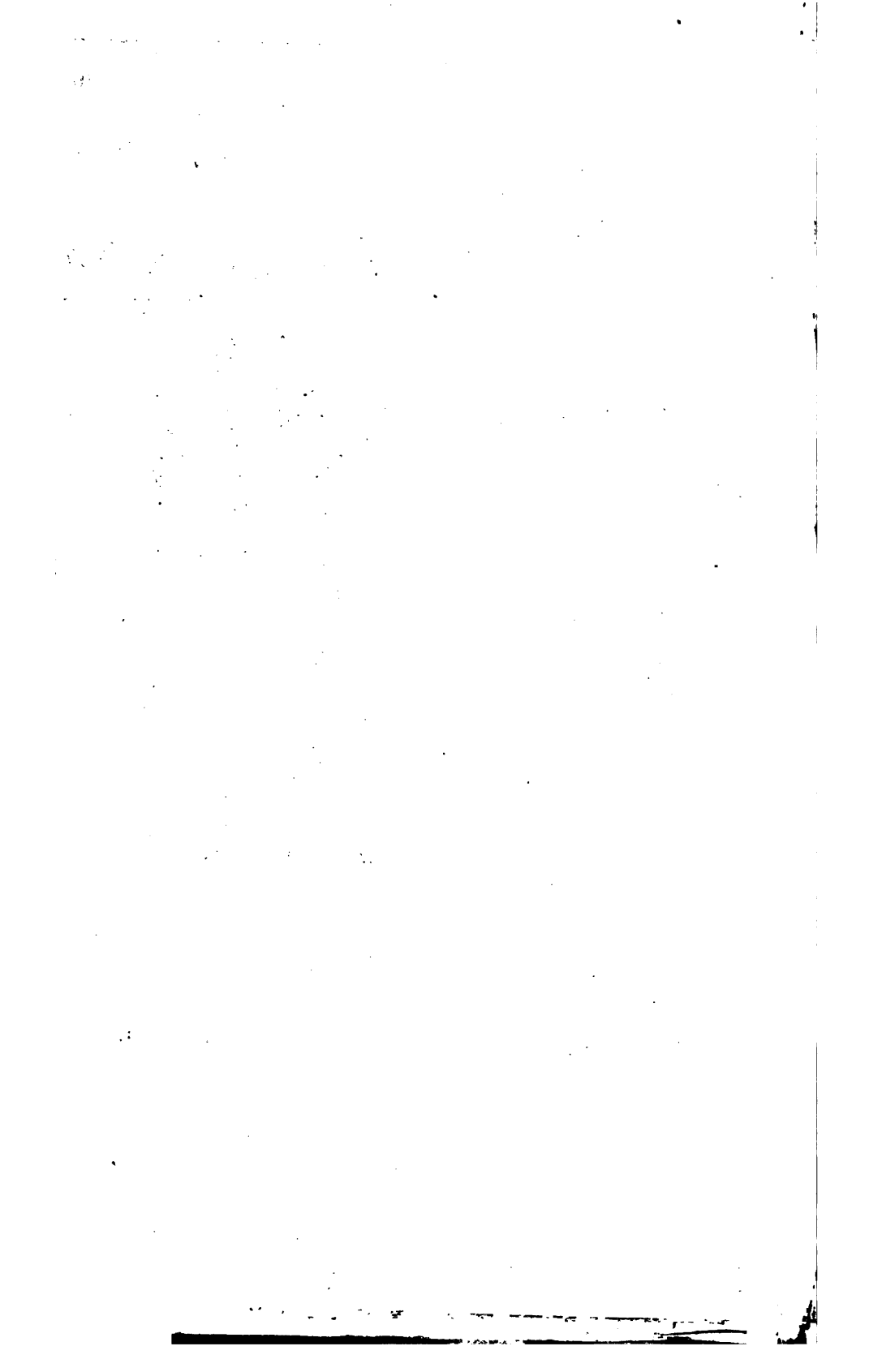
АВТОРИТ. Ф. КРЕМЕНА, СБ.









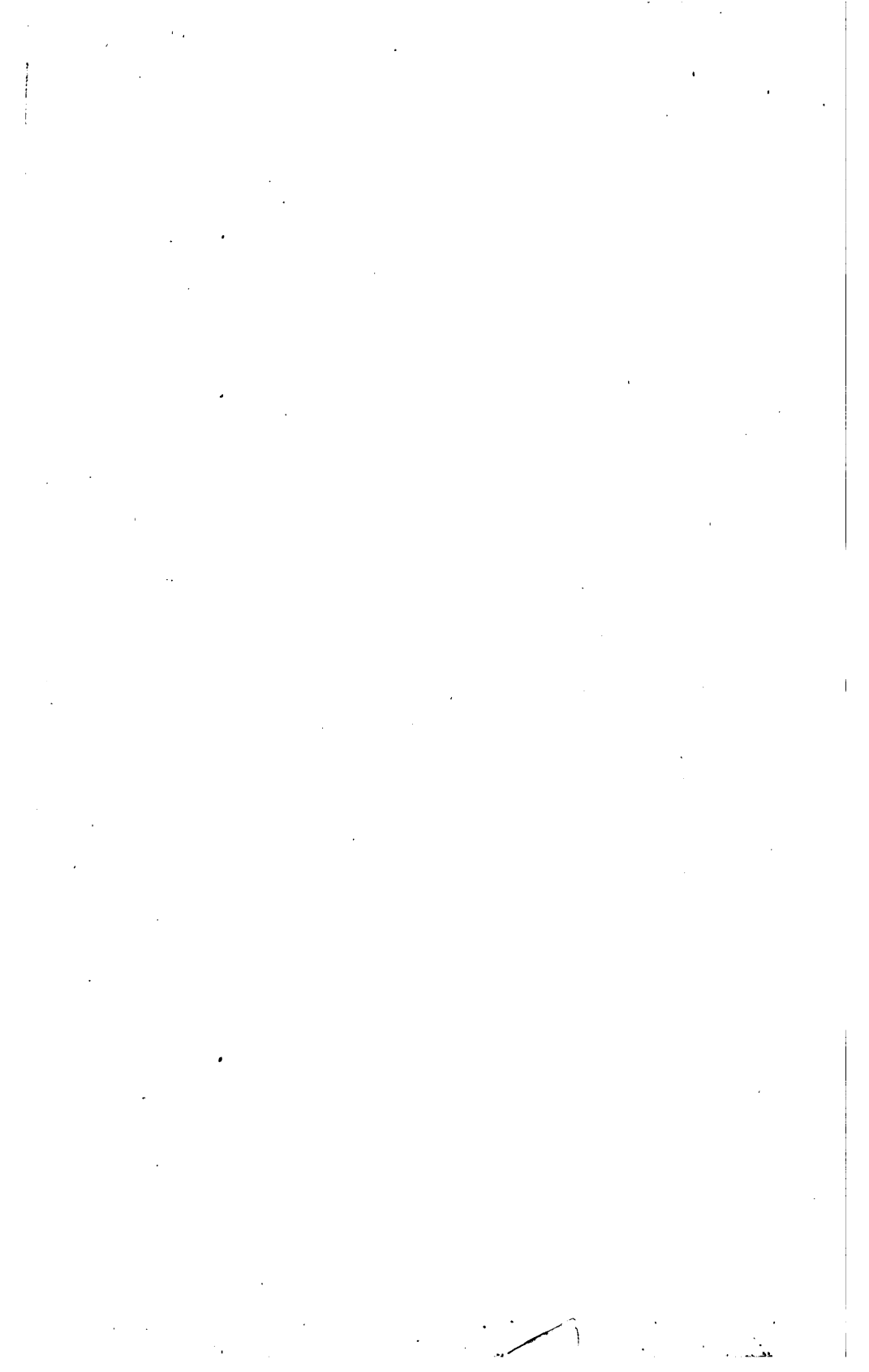


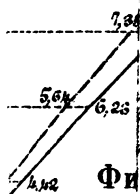
Черт. VII.

σ

Σ (cm)

1 2 3 4 5 6 7 8 9 10 11 12 13 14 15 Тон.





THE [illegible] OF [illegible]

BY [illegible]

[illegible]

[illegible]

[illegible]

[illegible]

[illegible]

[illegible]

[illegible]

[illegible]

[illegible]

[illegible]

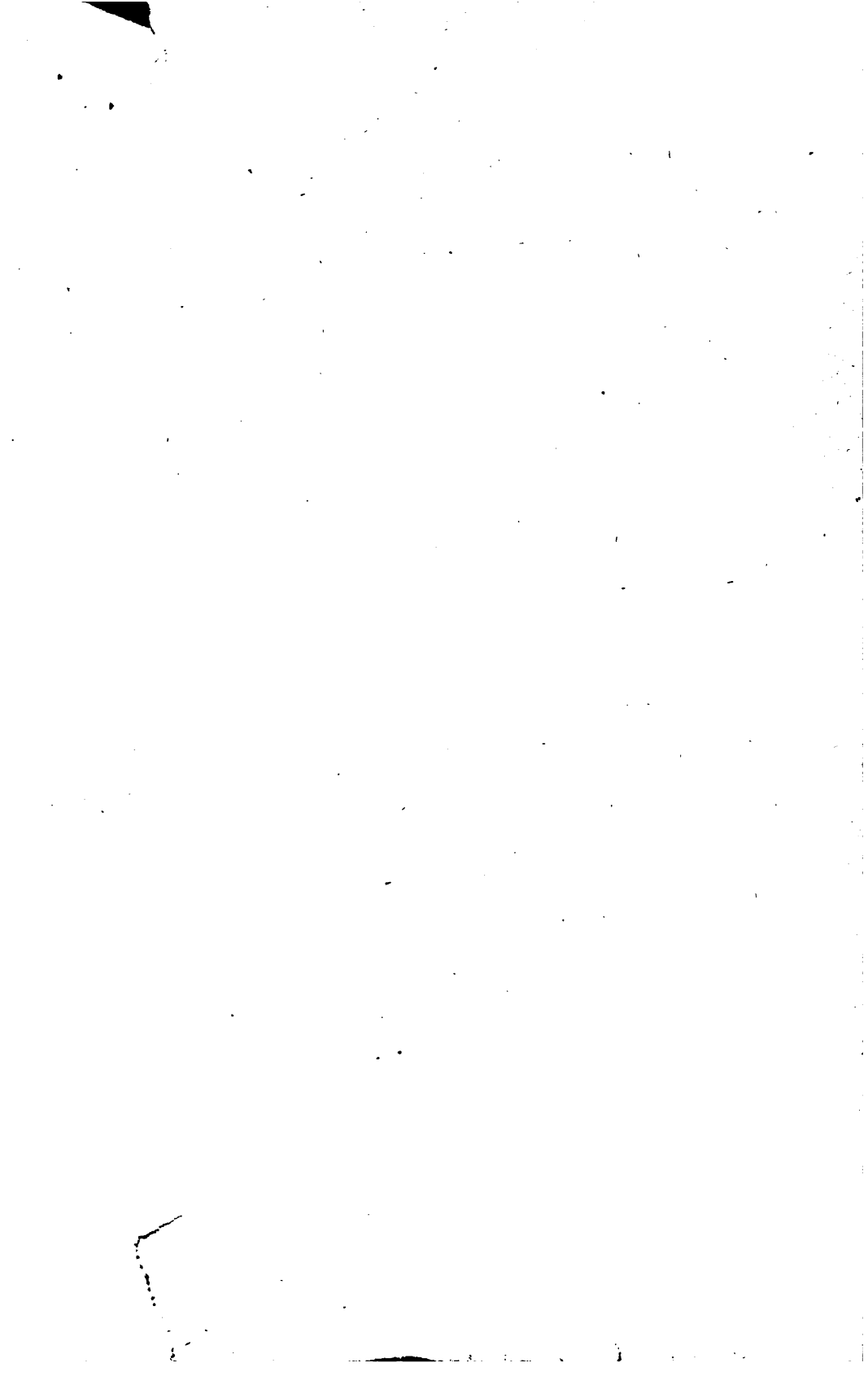
[illegible]

[illegible]

[illegible]

[illegible]

[illegible]





YC 69603

M330558

